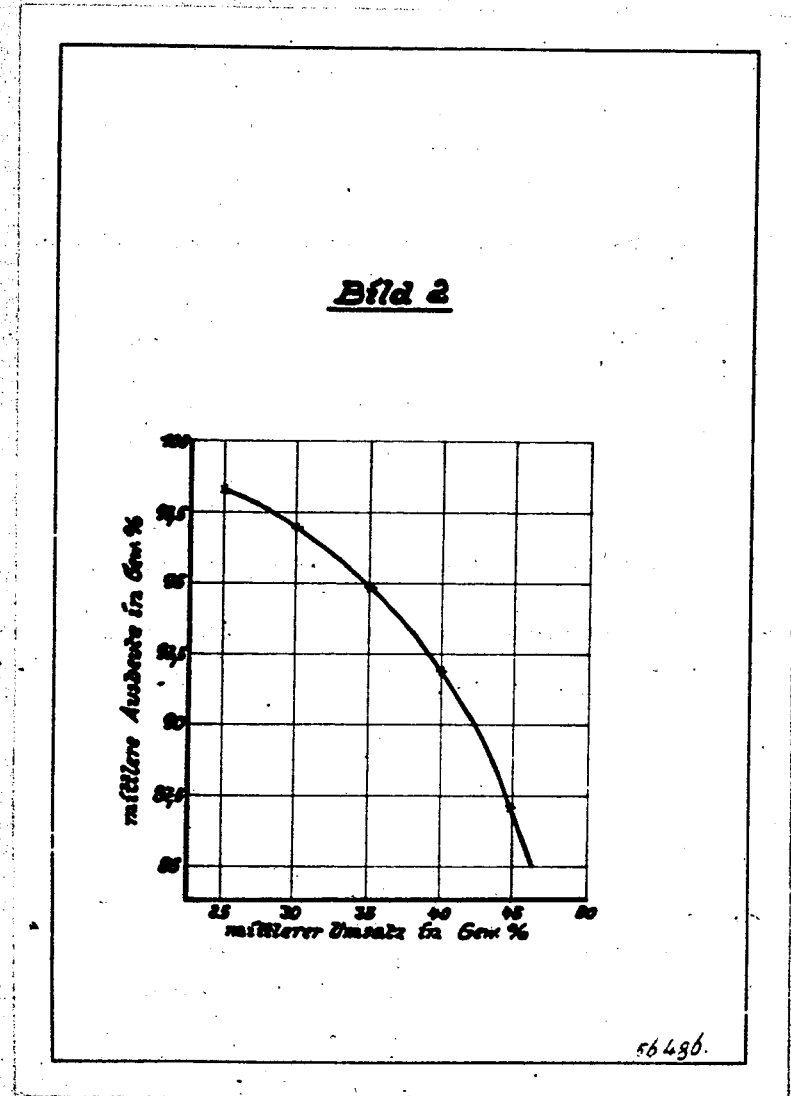
ser Verunreinigungen schnell ansteigt. Dagegen stören niedere gesättigte Kohlenwasserstoffe nicht, sondern werhalten sich praktisch wie Inerte. bis zu 0,4 % dagegen wirkt sich insofern Ein geringer Olefingehalt günstig aus, da der Kontakt schneller anspringt. Mit einem völlig olefinfreien Butan springt der Kontakt erst allmählich an. Wir folgerten daraus, daß die organischen AlCl3-Molekülverbindungen, die den Kontaktschlamm bilden, aktiver als AlCl3 als solches sind. (Diese Annahme fand im halbtechnischen Ofen eine sehr schöne Bestätigung, wo genaue Temperaturmessungen zeigten, daß die Hauptreaktion in der Grenzschicht zwischen Füllkörper und dem eingefüllten AlCl3 stattfindet.) Während der Reaktion werden dann laufend Olefine durch Spaltreaktionen gebildet. die durch Bildung weiterer Molekülverbindungen mit dem AlCl3 defür sorgen, daß der Kontakt aktiv bleibt, auch wenn das Butan jetzt völlig olefinfrei wäre. Da durch die Bildung dieser Molekülverbindungen jetzt dauernd AlCla verbraucht wird. besteht. wie schon betont. eine Hauptforderung darin, nur Spuren von Olefinen im Eingangsprodukt zuzulassen. Da höhere Kohlenwasserstoffe, der größeren Kettenlänge entsprechend, sehr viel leichter gespalten werden, so vermeidet man sie ebenfalls bis auf einen Gehalt von höchstens 1 % im Eingangsprodukt. Bezüglich des Wassergehaltes im Eingangsprodukt gilt ähnliches. 0,02 - 0,03 % Wasser im Eingangsbutan wirken sich nicht ungünstig aus. Bei höheren Wassergehalten nimmt auch hier der Kontaktverbrauch schnell zu. Mehrere Versuche mit durch P205 völlig vorgetrocknetem Butan zeigten dagegen eine deutliche Umsatzerniedrigung. Korrosion durch Wasser mit der HCl wurden in den kleinen Versuchsöfen nie beobachtet, da in reiner Gasphase gearbeitet wird. (Weiteres über die Korrosion folgt in der Beschreibung der halbtechnischen Anlage.)

Eine Hauptfrage, deren Lösung erst im halbtechnischen Ofen gelang, bestand darin, inwieweit sich die aus den Verbrennungswärmen errechnete Wärmetönung von 1,2 Cal/Mol, im praktischen Betrieb bei Verwendung technischer Aggregate auf den Wärmehaushalt im Ofen auswirkt. Auch diese Frage wird bei der unten folgenden Beschreibung der halbtechnischen Anlage eingehend erörtert.

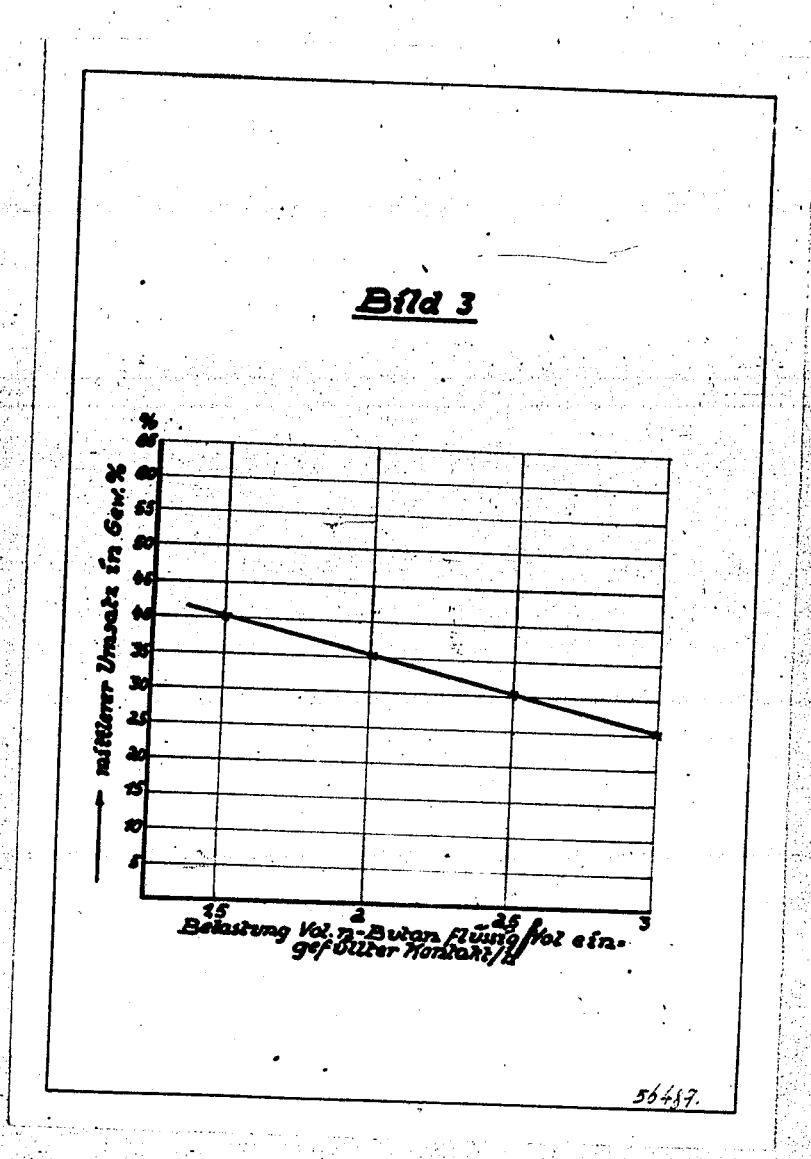
4) Ergebnisse der n-Butanisomerisierung mit AlCl3

a) Umsatz und Ausbeute

Wir erzielten unter den aufgezählten Bedingungen einen mittleren Umsatz von 25 - 30 % und eine mittlere Ausbeute von 95 - 98 %.



In Bild 2 ist die Abhängigkeit der mittleren Ausbeute vom mittleren Umsats aufgezeigt. Man erkennt, daß bei steigendem Umsatz infolge zunehmender Spaltreaktion die Isobutanausbeute fällt. Wir sprechen von einem mittleren Umsatz, de im Verlaufe einer Fahrperiode, durch allmähliches Verschwinden des Kontaktes bedingt, der Umsatz von seinem anfänglichen Höchstwert erst langsam und dann am Ende der Fahrperiode plötzlich schnell abklingt. Aus der Abhängigkeit der Ausbeute vom Umsatz ergibt sich die mittlere Ausbeute. Der Verlauf des wahren Umsatzes in Abhängigkeit von der Zeit ist in Bild 1 dargestellt. Wir sehen, daß der Umsatz in den ersten 17 - 18 Tagen von 35 % auf ca. 25 %, also um 10 % fällt, um dann schon innerhalb von 24 Stunden schnell um nochmals 10 % abzunehmen. Im - praktischen Betrieb wird nur bis zum Beginn der plötzlich schnellen Umsatzerniedrigung gearbeitet und der uren dann neu mit AlCl3 beschickt.

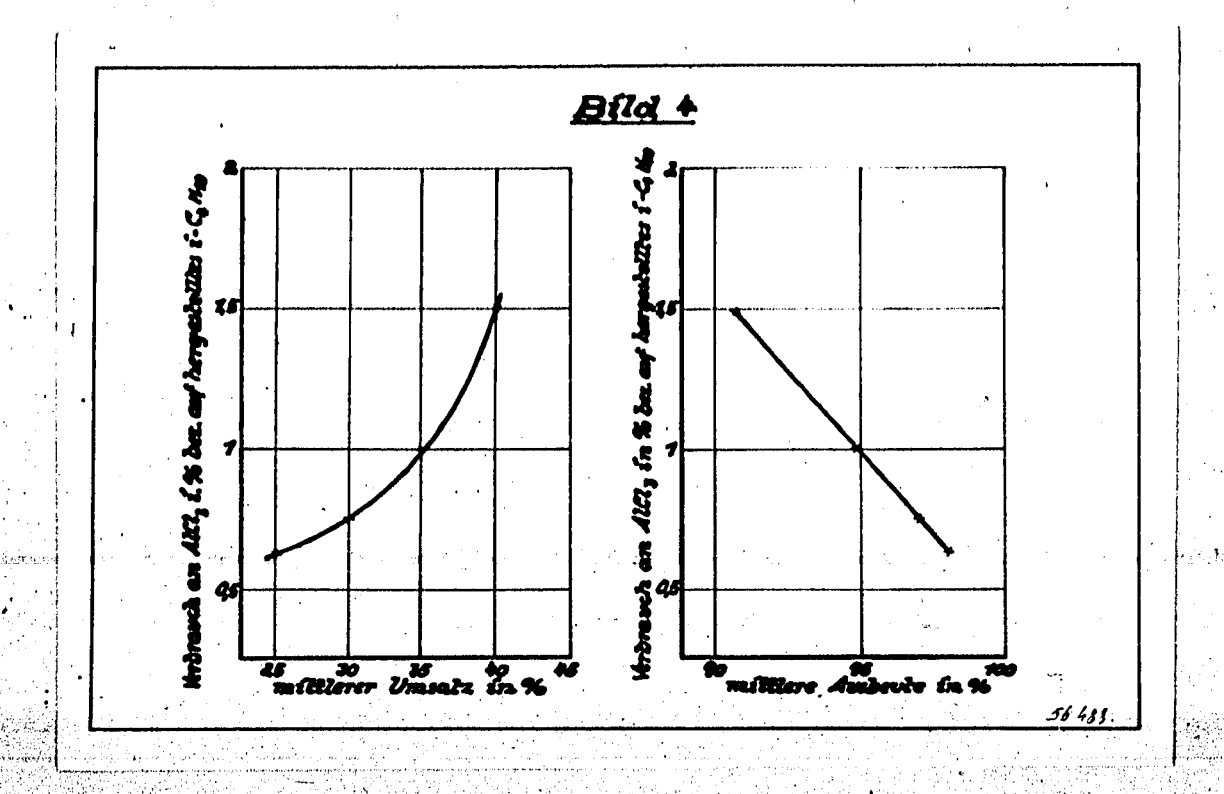


In Bild 3 ist die Abhängigkeit des mittleren Umsatzes von der Ofenbelastung graphisch dargestellt. Innerhalb des untersuchten Belastungsbereiches findet man, wie aus der Kurve hervorgeht, eine lineare Abhängigkeit. Als Nebenprodukt konnte im Ausgangsgas nur Propan nachgewiesen werden. Alle anderen Kohlenwasserstoffe werden durch das AlCl3 festgehalten.

b) Der Kontaktverbrauch

Der Verbrauch an AlCl3 liegt, falls obige Reaktionsbedingungen eingehalten werden, zwischen 0,65 und 1 %, bezogen auf hergestelltes i-Butan. In Bild 4 ist der AlCl3-Verbrauch in Abhängigkait vom mittleren Umsatz und von der mittleren Ausbeute graphisch dargestellt.

Bild 4 siehe Rückseite



Während die Zunahme des AlCl3-Verbrauches mit größer werdendem Umsatz ansteigt, ist die Zunahme des AlCl3-Verbrauches mit fallender Ausbeute linear.

c) Der HC1-Verbrauch

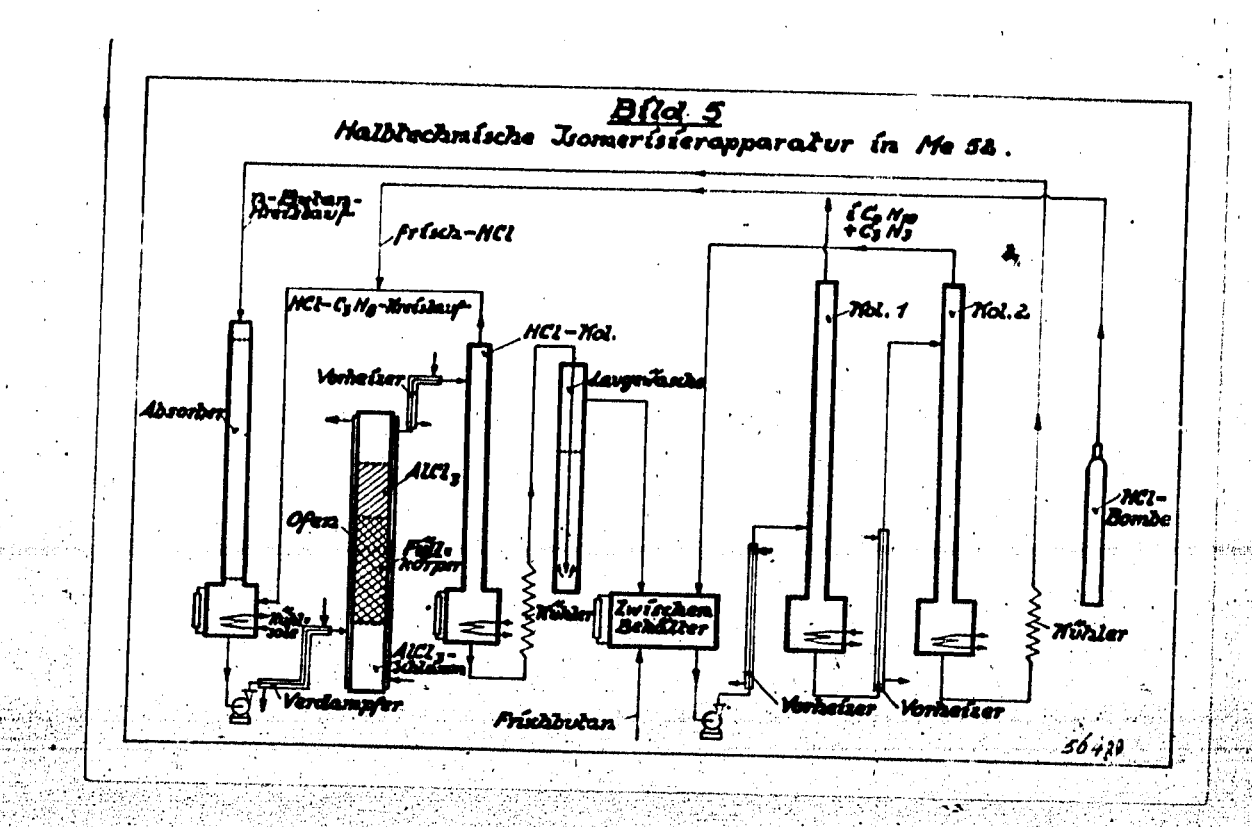
Der Verbrauch an HCl konnte erst in der halbtechnischen Anlage genau bestimmt werden, da die kleinen Versuchsöfen nur im geraden Durchgang arbeiteten und daher ein einwandfreie Bilanz nicht zuließen. Der besseren Übersicht wegen, soll dieser Punkt aber schon hier und nicht erst bei der Beschreibung der halbtechnischen Anlage erörtert werden.

Der durch die periodische Ofenentspannung, durch Undichten, sowie durch einen nicht völlig chlorwasserstofffreien Sumpf der HCl-Kolonne eintretende HCl-Verbrauch liegt bei 0,1 Gew. %, bezogen auf hergestelltes Isobutan. Undichten lassen sich des leichten HCl-Nachweises wegen sehr gut feststellen, so daß also größere Verluste hierdurch nicht eintreten werden.

5) Beschreibung der halbtechnischen Anlage in Me 52 und deren Fahrweise

Die in den kleinen Versuchsöfen erzielten günstigen Ergebnisse, sowie die geplanten AT-Projekte, veranlaßten uns Mitte 1940, eine halbtechnische Anlage in Me 52 zu errichten.

In Bild 5 (siehe Seite 9) ist die in Me 52 erstellte halbtechnische Anlage in ihrem letzten Entwicklungsstadium aufgezeigt. Sie gestattete einen stündlichen Durchsatz von 100 - 120 1 n-Butan (flüssig). Zeitweise wurden 200 - 240 1/h Butan durchgesetzt.



Die Anlage bestand

- a.) Der Absorber, in dem die gewünschte HCl-Konzentration im Ofeneingangsprodukt eingestellt wurde.
- b.) Der Isomerisierofen,
- c.) Die H01-Kolonne zum Abtrennen des HC1 aus dem Ofenprodukt, und
- d.) 2 Kolonnen, in denen Propan und Isobutan vom nicht umgesetzten n-Butan abgetrennt wurden.

a) Der Absorber

Im sogenannten Absorber wird ein aus dem Kopf der HCl-Kolonne kommender gasförmiger HCl-Propan-Kreislauf in flüssigem n-Butan, dem Sumpf der Kolonne 2 entnommen, bei 13 Atm. gelöst. Druck und Temperatur im Absorber bestimmen, konstanter i-Butan- und Propangehalt vorausgesetzt, das HCl-Kohlenwasserstoff-Verhältnis, da die HC1-Löslichkeit im Butan dem Druck direkt und der Temperatur indirekt proportional ist. Man kann also durch Änderung des Absorberdrückes oder durch Änderung der Absorbertemperatur jeden gewünschten HCl-Gehalt im Eingangsbutan einstellen. Die Regelung des Absorberdruckes erfolgt durch Zugabe von HCl, die Regelung der Temperatur durch Kühlung mit Sole. Meist wurde bei 13 Atm. und 25° Absorbersumpftemperatur gearbeitet, was einem HCl-Gehalt im flüssigen Kohlenwasserstoffgemisch von 10 - 13 % entspricht.

b) Der Isomerisierofen

Das den Absorber verlassende Gemisch mit der mittleren Zusammensetzung 80 Gew. % n-Butan, 5 Gew. % i-Butan, 5 Gew. % Propan und 10 Gew. % HCl wird mittels einer Pumpe über einen Verdampfer in den Isomerisierofen eingespritzt und dabei auf den Ofendruck von 16 Atm. gebracht. Im Verdampfer wird das Gemisch vollständig verdampft und auf eine Temperatur von 90 - 95°, der Ofeneingangstemperatur gebracht. Der Ofen hat eine Länge von 5,5 m und einen Durchmesser von 25 cm; der gesamte Ofen ist zur besseren Wärmeiso-lation ummantelt. Der Ofenmantel wurde mit 85 - 90° heißem Wasser beschickt. Der Ofenraum ist eingeteilt

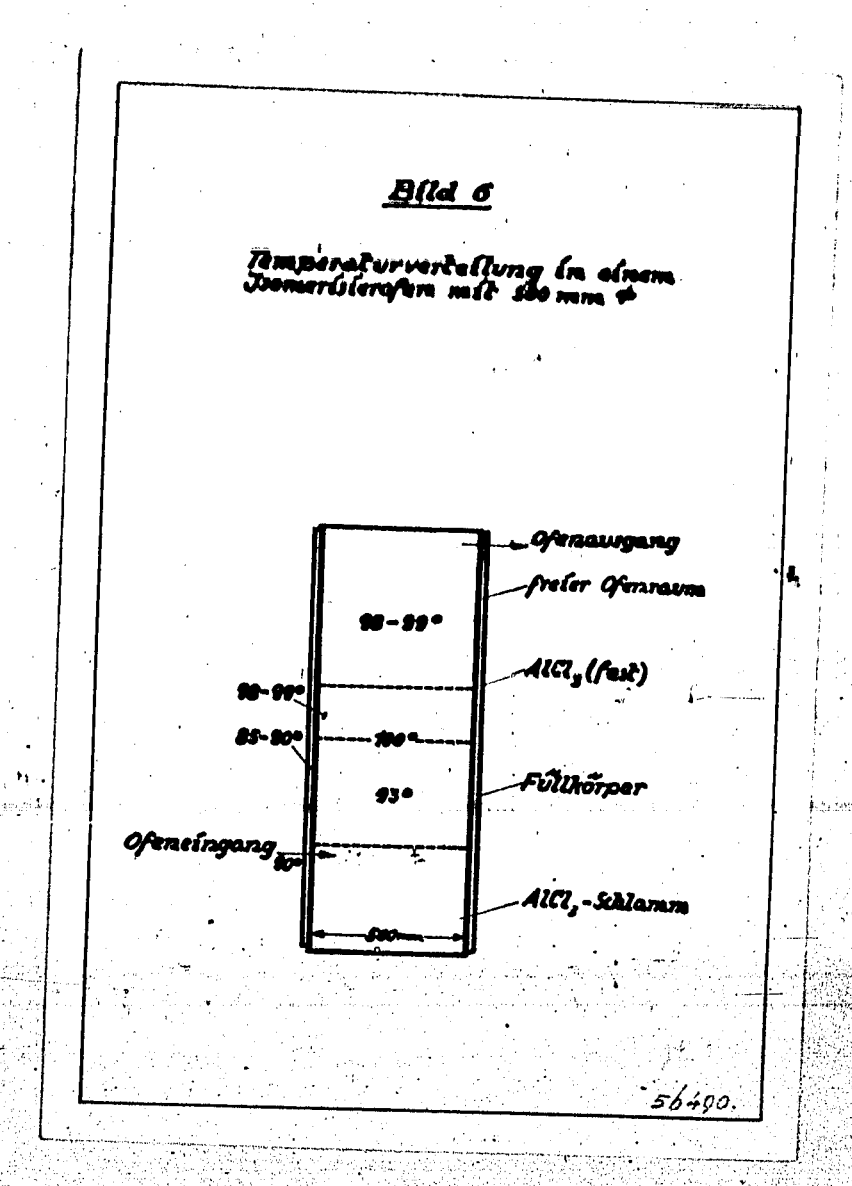
- 1.) in einen 1,5 m hohen Raum zur Aufnahme des AlCl3-Schlammes,
- 2.) in den 2 m hohen Füllkörperraum,
- 3.) in den 1 m hohen Kontaktraum zur Aufnahme des AlCl3 und

4.) in den 1 m hohen über dem Kontaktraum liegenden sogenannten freien Raum.

Das während der Reaktion durch Bildung von organischen Molekülverbindungen flüssig werdende, aber noch aktive AlCl3 fließt, wie in den Kleinversuchsöfen, über die Füllkörper dem Einspritzprodukt entgegen und sammelt sich im Raum für den AlCl3-Schlamm. Der AlCl3-Schlamm kann, nun völlig inaktiv geworden, laufend abgezogen (werden. Auch in der halbtechnischen Anlage wurden Versetzungen im Ofen selbst nie beobachtet. Da ein kontinuierliches Ersetzen des verbrauchten und abgezogenen AlCl3 wegen der erheblichen technischen Schwierigkeiten eines notwendigen Schleusverfahrens nicht vorgesehen ist, ist nach einer bestimmten Zeit (ca. 18 - 24 Tage) kein festes AlCl3 mehr vorhanden, welches Stadium am plötzlichen Absinken des Umsatzes zu erkennen ist. Der Ofen muß jetzt entspannt und neu mit AlCl3 gefüllt werden.

Wie aus Abbildung 5 zu ersehen, wird unterhalb der Füllkörper, die von einem Rost getragen werden, eingespritzt. Die Hauptreaktion findet, wie durch Temperaturmessung festgestellt wurde, in der Grenzschicht zwischen Füllkörper-und AlCl3-Zone statt. Hier stellt sich durch die schwach exotherme Isomerisierreaktion (1,2 Cal/Mol) eine Temperatur von 100° ein, die oberhalb und unterhalb der Grenzschicht bis auf 95° abklingt. Wie schon erwähnt, sollen 100° wegen der einsetzenden Spaltreaktion nicht überschritten werden. Die Ofentemperatur läßt sich allgemein durch Änderung des Umsatzes regeln. Diese wird bewirkt

- 1.) durch Änderung der Eingangstemperatur,
- 2.) durch Anderung der Belastung und
- 3.) durch Anderung des i-Butangehaltes des Eingangsproduktes, da zwischen n-Butan und i-Butan ein reversibles Gleichgewicht besteht. Eine weitere Möglichkeit zur Regelung der Ofentemperatur hat man in der Änderung des Propangehaltes im Ofeneingangsprodukt. Hinsichtlich der geringen Wärmetönung der Isomerisierreaktion war zu erwarten, daß der Wärmehaushalt in Öfen mit größerem Durchmesser, also in technischen Aggregaten, ebenso leicht durch die oben aufgezählten Maßnahmen zu regeln un zu beherrschen ist. Trotzdem wurde zur letzten Klärung der Frage, ob wir Röhren- oder einfache Schachtöfen für die Produktionsanlagen wählen sollten, ein Versuchsofen mit 50 cm Durchmesser gebaut und an Stelle des Ofens mit 25 cm Durchmesser eine Zeit lang betrieben. Es stellte sich die aus Abbildung 6 (siehe Seite 11) ersichtliche mittlere Temperaturverteilung ein. Zwischen Ofeneingang und Höchsttemperaturzone in der Füllkörper-AlCl3-Grenzschicht wurde ein Temperaturunterschied von 10° gemessen. Die Kontakttemperatur in der Ofenmitte liegt um 1 - 2 ° höher als an der Wand, wenn der Ofen mantel mit 85 - 90° heißem Wasser beschickt wird. Da die vor- und nachgeschalteten Apparate eine volle Ausnutzung des Ofenraumes nicht gestatteten, wurde nur mit einer 20 cm hohen Kontaktschicht und einer 40 cm hohen Füllkörperschicht gearbeitet. Auch mußten, dem Durchmesser des Ofens entsprechend, zu geringe Belastungen gewählt werden. Alle anderen Bedingungen wurden weitgehend der Fahrweise im Ofen mit 25 cm Durchmesser angeglichen.



Bezüglich der Temperaturverteilung konnten wir jedoch feststellen, daß mit Erhöhung der Belastung von 120 1 flüssig Butan + HCl pro Stunde auf 200 - 240 1, also mit Erhöhung der Strömungsgeschwindigkeit im Ofen eine bessere Temperaturverteilung eintrat. Die oben angeführten Temperaturdifferenzen wurden also kleiner. Da aber die in Abbildung 6 aufgezeigte Temperaturverteilung im praktischen Betrieb ohne Bedenken zulässig ist, kann jetzt der einwandfreie Schluß gezogen werden, daß für die Isomerisierung Schachtöfen beliebiger Durchmesser verwendet werden können. Dieses Urteil gilt aber nur für die Isomerisierung mit AlCl3 als solchem. Über die Temperaturempfindlichkeit z.B. von AlCl3-Trägerkontakten, wie sie in der Literatur zahlreich beschrieben werden und die auch bei unseren Versuchsarbeiten eine zeitlang im Vordergrund standen, kann, da diese Kontakte nur in kleinen Versuchsöfen geprüft wurden, nichts Sicheres ausgesagt werden.

Erhebliche Schwierigkeiten bereiteten uns, besonders im Hinblick auf die technische Durchführung der Isomerisierung, die häufigen Versetzungen der Ofenausgangsleitung und der nachgeschalteten Apparate durch wahrscheinlich sublimiertes und an kalten Stellen niedergeschlagenes AlCl3. Ein Mitreißen von AlCl3 ist bei der geringen Strömungsgeschwindigkeit der Ofengase von ca. 2 mm/sec. unwahrscheinlich. In den Produktweg eingeschaltete, gekühlte, engporige Filter oder Türme mit A-Kohle oder Bimsstein gefüllt oder sogar Wäschen mit hochsiedenden ungesättigten Kohlenwasserstoffen oder mit AlCl3-Schlamm aus der Isomerisierung, befriedigten nicht. Als einfachste und sicherste Lösung dieser Frage erwies sich endlich ein über dem AlCl3 gelassener, genügend großer Treier Ofenraum". Wir wählten einen 1 m hohen freien Ofenraum, der vollauf genügte. Versetzungen wurden nicht mehr beobachtet. Wahrscheinlich reagiert das AlCl3-Sublimat, also gasförmiges AlCl3, im freien

Ofenraum mit den Kohlenwasserstoffen und bildet flüssige AlCl3-Molekülverbindungen, die dann absinken.

Besüglich der Belastung ergaben sich auch in der halbtechnischen Anlage keine neuen Gesichtspunkte. Wie schon ausgeführt, wollen wir die Belastung ausdrücken in Volumen eingespritzten flüssigen n-Butans/Volumen eingefülltes AlCl3 pro Stunde. Eine Angabe, die bei den schon angeführten mittleren Konzentrationen der anderen Einspritzprodukte wahrscheinlich hinreichend genau für den eigentlichen Zweck der Planung von Isomerisieranlagen beliebiger Größe verwendet werden kann. Damit diese Belastungsangabe letzteres erfüllt, müssen in unserem Falle noch einige zusätzliche Feststellungen getroffen werden.

Vor allem aus Gründen des Kontaktverbrauches soll die Füllkörperhöhe 2 m und die frisch eingefüllte Aluminiumchloridschichthöhe 1 m betragen. Der freie Ofenraum soll mindestens 1 m hoch sein. Die Größe des Sammelraumes für Aluminiumchloridschlamm kann der jeweils anfallenden Menge an Aluminiumchloridschlamm sowie der Häufigkeit des Ablassens angepaßt werden.

Es wäre wünschenswert, wenn exaktere Beziehungen der aufgezählten Größen in der technischen acgenannten Isoanlage, die in Leuna im Rahmen des AT 244-Verfahrens errichtet wird und die, wie beschlossen, mehr den Charakter einer Versuchsanlage tragen soll, gefunden würde.

c) te HC1-Kolonne

Die den Ofen verlassenden Gase werden, nachdem sie auf eine Temperatur von 60 - 65°, der Einspritztemperatur der sogenannten HCl-Kolonne, gebracht sind, wobei ein Teil flüssig wird, in die HCl-Kolonne eingespritzt. Die Kolonne arbeitete in der Versuchsanlage bei 14 At. Da ein möglichst HCl-freier Sumpf gefordert wird, muß möglichst in dem oberen Teil der Austauschsäule, die aus einer 3 m hohen mit Raschigringen gefüllten Säule bestand, eingespritzt werden. Bei einer Sumpftemperatur von 92 - 94°, einer Übergangstemperatur von 40 - 50°, einem Rücklaufverhältnis von 1: 2, wurden folgende Durchschnittswerte erzielt:

. X				4.							4×1, =						1,7					รบ	ım	נס	2			** c =				V. 64	K	OT)T	in A.A. A.B.	
् श ::-																		gran A e				116		_	mark of the	_	There	da i			i esta La companya	100		Ge		100	40.00
					27								1				100					n							·	X					24.1		
	τ	17	17		Ge	h	_ ·	1 4	.								,:		£2		C	8	7451	Ω.	. 9			•					75) =	- 1	80)
	-			35, 35		1000			. 53334		eriesi .			-	-							-	,	7	7	-		· 4		4	• •	· .					
	I	"]	CO	p	ar	J	G	3Ľ	18	T.	t	**************************************									57)						P		1.37		=)) ' <i>=</i>		17	"
	0.00				特別的に				5 54 5		1.0	ah	0	٦ .	t			100				96	Ś.,	9							, f-		2	_	.	1	3,1
	1	7.		T	- 4		וע	4, 1	10	-	55	311	Ç	-	·	r iba,				1		/ ~	~ >	•											7.		34

Das den Kondensator der HC1-Kolonne gasförmig verlassende HC1-Propan-Gemisch geht in den Absorber zurück. Durch Zugabe von Frisch-HC1 aus einer HC1-Bombe kann der geringe HC1-Verlust – durch periodische Ofenentspannung, Undichten und nicht ganz chlorwasserstofffreiem Sumpf hervorgerufen – ersetzt werden.

Das im Kopfprodukt der HCl-Kolonne verbliebene Propan ergibt im kontinuierlichen Betrieb einen stationären Propanspiegel, der in erster Linie zur
Rücklaufbildung und damit zum Betrieb der HCl-Kolonne notwendig ist. In
der Isomerisierung neugebildetes Propan, sowie neugebildetes Isobutan,
bleibt im Sumpf der HCl-Kolonne. Der Kolonnensumpf wird gekühlt und restlicher Chlorwasserstoff in einer Natronlaugewäsche, die als einfache Waschflasche ausgebildet ist, entfernt.

Im folgenden Teil der Anlage, die im wesentlichen aus einem Zwischenbehälter und aus zwei Destillationskolonnen besteht, wird Isobutan und Propan vom Normalbutan durch Destillation getrennt. Im Zwischenbehälter vereinigt sich das chlorwasserstofffreie Ofenprodukt, Frischbutan sowie das Destillat aus der Kolonne 2. In der Kolonne 2, die mit dem noch isobutan propanhaltigen Sumpf der Kolonne 1 beschickt wird, wird auf reinen Sumpf

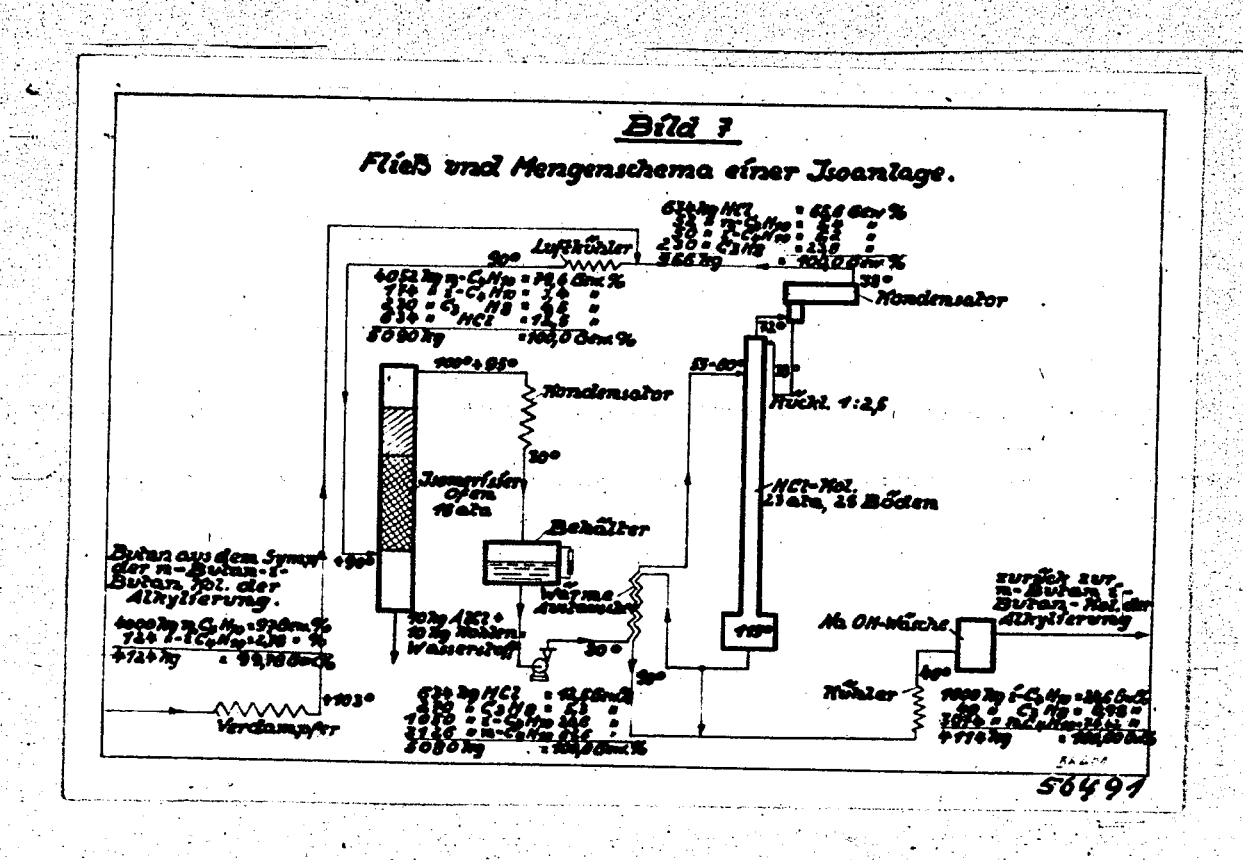
destilliert. Der unreine Kopf der Kolonne 2 geht, wie schon gesagt, in den Zwischenbehälter und damit in die Kolonne 1 zurück. Der Sumpf der Kolonne 2, also hochprozentiges Normalbutan, wird in den Absorber zurückgeführt. In der Kolonne 1 wird auf reinen Kopf destilliert. Hier wird das umgesetzte und das durch Frisch-Normalbutan mit eingeschleppte Isobutan und Propan abdestilliert.

d) Reinigung des Frischbutans

Um das Butan auf die erforderliche Reinheit zu bringen, mußte es vorher in einer Schwefelsäurewäsche weitgehend von Olefinen, in einer Laugewäsche von in der Schwefelsäurewäsche gebildetem SO2 und in einer anschließenden Destillation - beide in der Abbildung 2 nicht angeführt - vor allem von in der Schwefelsäurewäsche gebildeten höheren Kohlenwasserstoffen befreit werden. Da alle Teile der Isomerisieranlage aus gewöhnlichem Eisen hergestellt waren, ist durch die Anwesenheit von Chlorwasserstoff völlige Trockenheit zu fordern. Es ist jedoch bekannt, daß bei Vorliegen reiner Gasphase keine Korrosionen eintreten. Obige Forderung beschränkt sich also auf Apparateteile, die in Flüssigphase betrieben werden. Dieses sind der Absorber und die HCl-Kolonne. Das Ofenausgangsgas ist durch das im Ofen anwesende Aluminiumchlorid völlig trocken, so daß in der HCI-Kolonne ebenfalls keine Korrosionen zu befürchten waren und auch nie beobachtet wurden. Allgemein wurden Korrosionen nur im Absorber festgestellt. Trotz des geringen Wassergehaltes von ca. 0,02 Gew. % Wasser wurde hier verschiedentlich Lochfraß beobachtet. Es soll an dieser Stelle schon darauf bingewiesen werden, daß dieser Umstand bei der Planung technischer Isomerisieranlagen durch Verlegen des Absorbers - dort Kondensator genannt - hinter den Isomerisierofen, also in den völlig wasserfreien Teil, gelöst wurde. Wasser gelangt durch die oben beschriebene Laugewäsche entsprechend dem H20-Partialdruck der verwendeten Natronlauge in die Isomerisierung. Wie wir feststellten, entweicht aber ein Teil des H2O mit dem Destillat der Kolonne 1, wahrscheinlich durch Bildung eines Propan-Wasser- und eines i-Butan-Wasser-Azeotrops. Es konnte durchschnittlich von einem Wassergehalt von ca. 0,04 % im Kolonneneingang auf einen solchen von ungefähr 0,02 % im Kolonnensumpf getrocknet werden, so daß eine zusätzliche Trocknung unnötig wer.

6) Fließ- und Mengenschema einer Iscanlage im Rahmen des AT 244-Verfahrens

Wie einleitend schon besprochen, stellt die Isomerisierung neben der Dehydrier- und der Alkylierstufe die dritte Verfahrensstufe des AT 244-Verfahrens dar. Sie erfüllt die Aufgabe, das für die Alkylierung notwendige i-Butan-n-Butan-Verhältnis von 1,15: 1 herzustellen, um aus einer gegebenen Butanmenge die größtmögliche Menge an Alkylat herzustellen.



In Bild 7 ist das Fließ- und Mengenschema einer Isoanlage für die Herstellung von einer Tonne 1-Butan aufgezeigt. Ein 97 %iges n-Butan mit 2,78 % i-Butan, 0,2 % Olefinen und 0,02 Gew.% H20 aus dem Sumpf der n-Butan-i-Butan-Kolonne der Alkylierung (siehe Bericht Dr. Pohl II, Alkylierung von Paraffin-Kohlenwasserstoffen) kommend, wird in einem Verdampfer verdampft und gleichseitig auf 102 - 103° vorgewärmt. Man vereinigt dieses Gas mit dem ebenfalls gasförmigen Kopfprodukt der HCl-Kolonne. Nachdem dieses Produkt mit der Zusammensetzung von ca. 79,6 Gew. n-Butan, 3,4 Gew. 1-Butan, 4,5 Gew. % Propan und 12,5 Gew. % HCl (Olefin- und Wassergehalt jetzt nicht berücksichtigt) durch einen Luftkühler auf 90° der Ofeneingangstemperatur gebracht ist, wird es in parallel geschaltete Isomerisierofen eingepritzt. Je nach der zu isomerisierenden Menge n-Butans werden Isomerisieröfen mit Durchmessern von 1 - 1,7 m verwendet. (Fahrweise der Isomerisieröfen siehe oben.) Das Ofenausgangsgas hat eine Zusammensetzung von 61,2 Gew. % n-Butan, 20,6 Gew. % 1-Butan, 5,7 Gew. % Propan und 12,5 Gew. HCl. Dies entspricht einem Umsatz von 23,2 % und einer i-Butan-Ausbeute von 95 %. Der Ausbeuteverlust von 5 % setzt sich zusammen aus 4 % Verluste durch Propanbildung und 1 % Verluste durch periodisches Ofenentspannen und Bildung von Aluminiumchloridschlamm. Hinter dem Ofen wird mit Kaltwasser bei ca. 30° und Ofendruck verflüssigt. Dieses kann, ohne Korrosion befürchten zu müssen, jetzt durchgeführt werden, da das Produkt vollkommen wasserfrei ist. Der Ofendruck wird durch die Kondensationstemperatur des Kondensators geregelt. Das verflüssigte Ofenausgangsprodukt wird aus einem Zwischenbehälter nach Wärmeaustausch mit dem Sumpf der HCl-Kolonne in diese eingespritzt. Sie arbeitet bei 23 at mit 25 Böden und einem Rücklaufverhältnis von 1 1 2,5. Die so aufgezeigte Apparateschaltung hat gegenüber der Fahrweise in der beschriebenen Versuchsanlage neben der Vermeidung von Korrosionen den Vorteil, daß der Kolonnendruck vom Ofendruck völlig unabhängig ist. Durch diese Maßnahme kann z.B. infolge des hohen Kolonnendruckes der Kondensator der HCl-Kolonne mit gewöhnlich temperiertem Wasser gekühlt werden. Das den Kondensator der HCl-Kolonne verlassende Gas hat die Zusammensetzung 65,6 Gew. % HC1, 5,4 Gew. % n-Butan, 5,2 Gew. % i-Butan und 23,8 Gew. % Propan. Der Kolonnensumpf besteht aus 24,6 Gew. % i-Butan, 74,72 Gew. % n-Butan und 0,98 Gew. % Propan. Letzterer wird durch einen Kühler sowie durch eine Laugewäsche zur Entfernung restlicher HCl-Spuren geleitet und kehrt dann in die n-Butan-i-Butan-Trennkolonne der Alkylierung zurück. i-Butan + Propan wird über die i-Butan-Propan-Trennkolonne der Alkylierung zugeführt, während n-Butan erneut aus dem Sumpf der n-Butan-i-Butan-Trennkolonne in die Isomerisierung zurückgeht.

Die größte Isoanlage wird in Böhlen für 15 000 jato i-Butan errichtet.

7) Die Patentlage

In Anbetracht der zahlreichen Literaturveröffentlichungen und ausländischen Patente über die n-Butan-Isomerisierung, war es nicht möglich, ein grundsätzliches Schutzrecht für die Isomerisierung zu erhalten. Da sich unsere Arbeitsweise grundsätzlich von den üblichen unterscheidet, wie der Anordnung des AlCl3 auf einer Füllkörperschicht und der Verhinderung von Versetzungen in der Ofeneingangsleitung und der nachgeschalteten Apparateteile mit sublimiertem AlCl3, durch Belassung eines größeren freien Ofenraumes über dem Kontakt, reichten wir Anmeldungen über diese Durchführungsform der Isomerisierung ein. Diese beiden Anmeldungen laufen noch. Nach dem letzten Bescheld vom Reichspatentamt steht unserer Anmeldung über die Anordnung des AlCl3 auf einer Füllkörperschicht eine Geheimanmeldung gegenüber. Es muß erst die Bekanntmachung dieser Anmeldung abgewartet werden, um sich dann mit den betreffenden Stellen auseinandersetzen zu können. Unsere 2. Anmeldung, die die Belassung eines freien Raumes über dem AlCl3 zum Gegenstand hat, wurde erst kürzlich bei der Prüfungestelle eingereicht.

C) Zusammenfassung

Wie gezeigt, benötigt man zur Herstellung der größtmöglichen Menge Alkylat dies wird von den AT 244-Anlagen gefordert - eine n-Butanisomerisierung. Im Werk Leuna wurde neben der Hochdruckisomerisierung insbesondere die Isomerisierung mit AlCl3 als Katalysator bis zur technischen Reife entwickelt, deren Reaktionsbedingungen, apparative Ausgestaltung und Betriebsweise, sowie deren Ergebnisse eingehend beschrieben und durch Bilder anschaulich gezeigt wurden.

Die Entwicklungsarbeiten zur Isomerisierung von n-Butan wurden im hiesigen Versuchslaboratorium unter Dir Dr Heroll, Arbeitsgruppe Dr Kaufmann, ausgeführt. Sie wurden Mitte 1939 von Herrn Dr. Zerrweck begonnen und ab Ende 1940 von den Verfassern des Berichtes zu Ende geführt.

Literaturverzeichnis

- 1.) J.Amer.Phys.Chem.Soc. 13, 149 (1880)
- 2.) Compt.Rend. 127, 590 (1898)
- 3.) Ber. 66 B, 1892 (1933); Chem. Abs. 28, 1025 (1934) Brit. Chem. Abs. A 1934, 167
- 4.) J.Gen.Chem. (USSR) 5, 1790 7 (1935) Brit.Chem.Abs. B 1936, 701
- 5.) J.Amer. Chem. Soc. 58, 1944 (1936)
- 6.) Ind. Eng. Chem. 28, 461 (1936); Ber. 68 B. 1 (1935); J. Amer. Chem. Soc. 57, 956 (1936); Bull.Soc.Chem. (4), 35, 931 (1924)
- 7.) Ind. Eng. Chem. (4), 35, 931 (1924)
- 8.) E.P. 526 215 (Holl.Prior.), A.P. 2 898 867, E.P. 509 540 (Holl.Prior.), E.P. 530 259 (Holl.Prior.)

But Winter

Verteiler

Herr Dir.Dr.Bütefisch Dir.Dr.v.Staden

- Dr. Hanisch
- DI.Weidmann Dr.Strätz
- A.W.P. 2 x
 - HBS 3 x
- Dr.Ringer, Berlin
 - . Versuchslabor. 4 x

Leuna Werke, Juli 1942

Geheim!

- 1. Dies ist ein Staatsgeheimnis im Sinne des § 88 RStGB.
- 2. Weitergabe nur verschlossen, bei Postbeförderung als "Einschreiben".
- 3. Aufbewahrung unter Verantwortung des Empfängers unter gesichertem Verschluß.

Dr.Kaufmann

Flugbenzin durch katalytisches Kracken

3979-30/402-100

Inhaltsverzeichnis

	Seite
Einleitung	3
<u>Festbettverfahren</u>	3
Apparatur Kontakte	3 · · · · · · · · · · · · · · · · · · ·
"Produktverteilung" Qualität des KK-Benzins	
Kontaktregeneration	8
Schleuskontakt-Verfahren	8
Staubkontaktverfahren in der Gasphase	
Staubkontaktverfahren in der Flüssigphase	180. julius et en periodistribus et e
Ausblick	10

Einleitung

Der vorliegende Bericht soll einen zusammenfassenden Überblick über die Entwicklungsarbeiten auf dem Gebiete des katalytischen Krackens im Versuchslabor Leuna während der letzten 2 Jahre geben und stellt eine Ergänzung des Berichtes von Dr.Kaufmann und Dr.Woerner, "Über das katalytische Kracken von Kohlenwasserstoffölen" (März 1939), auf den heutigen Stand dar.x)

Zuvor soll kurz die Entwicklung des katalytischen Krackens in Amerika, wie sie uns bis jetzt bekannt geworden ist, skizziert werden.

In den USA wurde zunächst das Houdry-Verfahren, insbesondere zur Herstellung von Autobenzin aus Rohölen, entwickelt. Ein Arbeitscyclus von 30 - 36 Minuten teilt sich in eine Krack- und Kontaktregenerationsperiode von je 10 - 12 Minuten, dazwischen liegen zwei Spülperioden von je 5 - 6 Minuten. Ein technisches Charakteristikum ist die Art der Wärmeabfuhr bei der stark exothermen Kontaktwiederbelebung durch direkte Kühlung mit einer umlaufenden Salzschmelze. Bis 1941 waren ungefähr 15 Anlagen mit einem Jahresdurchsatz von rund 6 1/2 Mill. Tonnen Öl in Betrieb genommen worden.

Einen technisch anderen Weg geht die Standard Oil-Gruppe. Produktionsanlagen sind noch nicht in Betrieb, zumal ihre ursprünglichen Konstruktionen, die auf Festbettkontakt basierten, ad acta gelegt wurden. Wie 1942 bekannt wurde, planen sie jetzt technische Anlagen, die die Anwendung von staubförmigem Kontakt als Grundlage haben. Irgend welche Einzelheiten über die hierbei zugrunde liegende Arbeitsweise sind uns nicht bekannt geworden.

In Leuna wurden die Arbeiten über das KK-Verfahren 1938 aufgenommen, und kurz vor Kriegsbeginn wurde ein eingehender Erfahrungsaustausch mit der Standard Oil und Kellogg Co. gepflogen. Seit Kriegsausbruch ist die Zielsetzung unserer Arbeiten auf die Anwendung des katalytischen Krackens zur Herstellung von Flugbenzin abgestellt.

Bis heute wurden 4 verschiedene Ausführungsformen des katalytischen Krackens bearbeitet, die durch die Art der Katalysatoranwendung gekennzeichnet sind:

- 1. Festbettverfahren
- 2. Schleusverfahren
- 3. Staubkontaktverfahren in der Gasphase
- Flüssigphase

Die vier Verfahren, von denen das erste einen diskontinuierlichen Prozeß darstellt, die anderen drei kontinuierlich durchgeführt werden, werden im folgenden näher beschrieben.

Festbettverfahren

Apparatur

.

Zur Durchführung der Versuche benutzten wir zunächst die in dem bereits zitierten Bericht ausführlich beschriebenen Apparaturen, die nur unwesentlich abgeändert bzw. verbessert zu werden brauchten. Darüber hinaus dienen unbeheizte Ofen von 10,50 und 100 1 Kontaktinhalt zur weiteren Entwicklung der Arbeitsweise,

An der Durchführung der Arbeiten sind beteiligt: Dr. Welz, Dr. Müller, Dr. Kosterhon (Kontaktherstellung), Dr. Hartmann, Dr.Pobloth, Dr.Legutke

insbesondere zum Studium der wichtigen Kontaktwiederbelebung. Ein halbtechnisches l obm-Versuchsaggregat steht kurz vorm Anfahren.

Kontakte

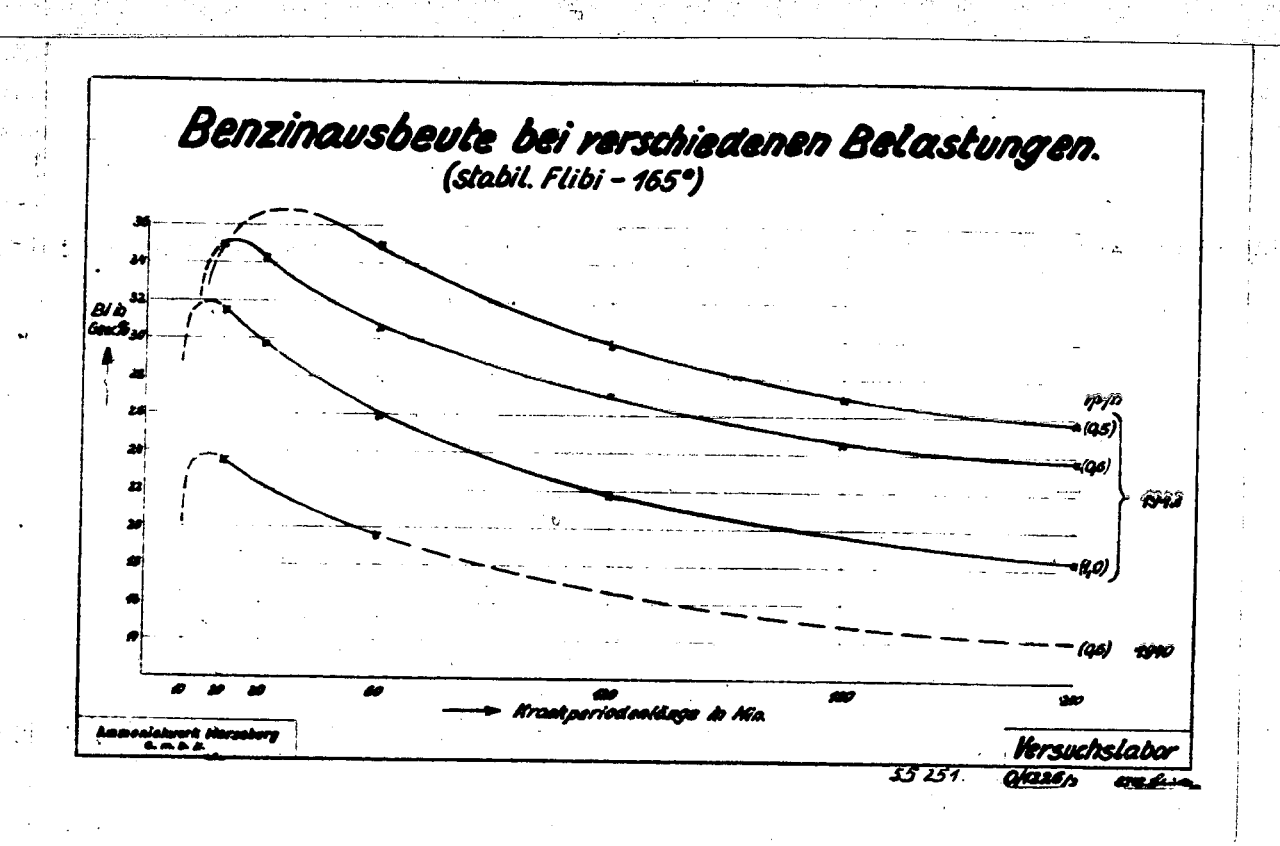
Das Festbett-Kracken ist bisher am eingehendsten bearbeitet worden. Das Ziel der Flugbenzinherstellung schloß eine Anwendung von natürlichen, aktivierten Erden und von synthetischen Kontakten auf Basis Magnesiumsilikat aus. Es erwiesen sich lediglich reine Al203-Si02-Kontakte ohne Zusätze anderer Metalle oder deren Oxyde als geeignet.

Die sehr umfangreichen Entwicklungsarbeiten auf diesem Gebiet sind zu einem gewissen Abschluß gekommen.

Der jetzt verwendete Krackkontakt liegt mit seinem Molverhältnis von Al203: Si02 wie 1: 9 außerhalb des von Houdry beanspruchten Bereiches und ist durch die Art seiner Herstellung besonders gekennzeichnet. Die Aktivität dieses Kontaktes konnte im Laufe des letzten Jahres ganz erheblich gesteigert werden. Im Gegensatz zu den natürlichen Erden sind die synthetischen Aluminiumsilikat-Kontakte empfindlich gegen Wasserdampf, worauf in dem eingangs erwähnten Bericht bereits hingewiesen wird und worauf hier im Zusammenhang mit der Regeneration noch näher eingegangen werden soll.

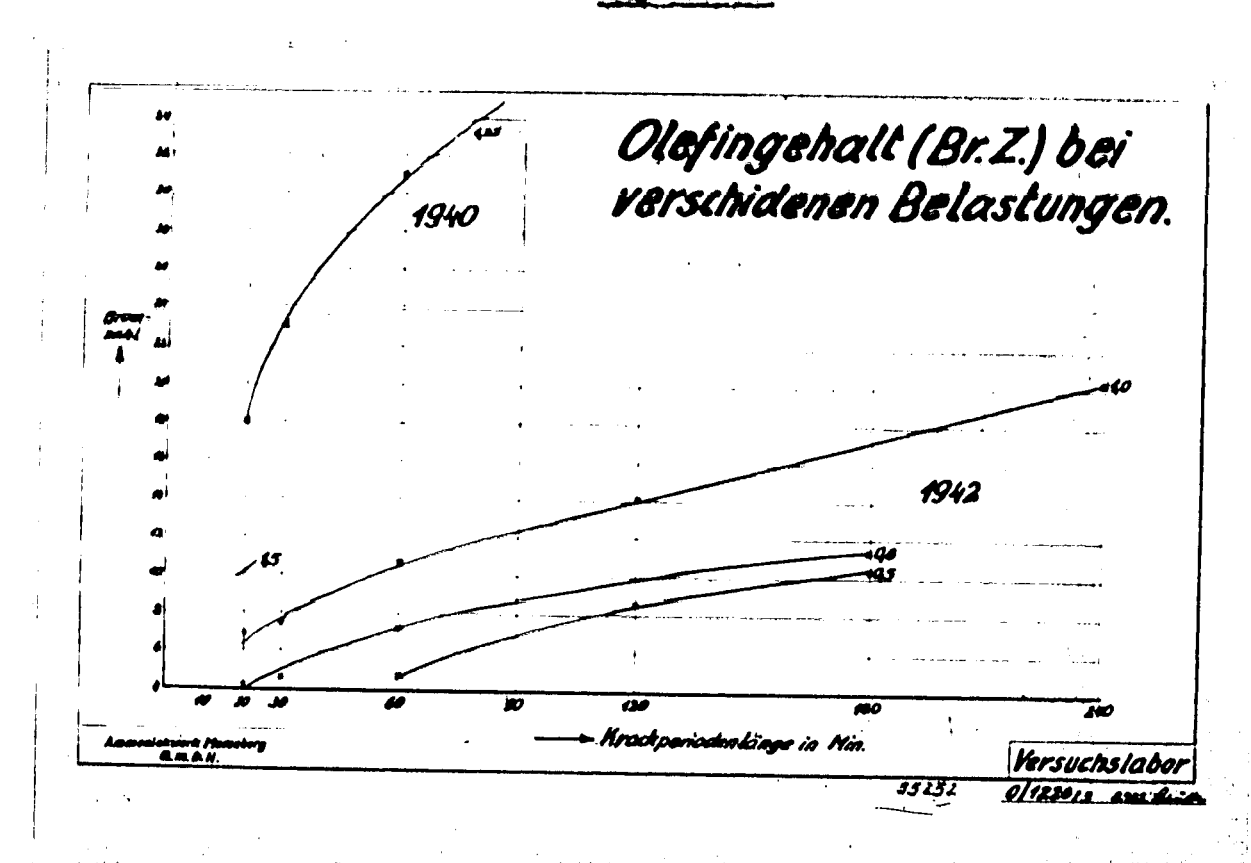
Den Fortschritt von 1940 auf den heutigen Stand durch die wesentliche Aktivitätssteigerung des Kontaktes zeigt Tafel 1.

Tafel 1



Fahrweisen von 1 - 3 Stunden jetzt gegenüber 20 - 30 Minuten früher ergeben immer noch höhere Benzinausbeuten als damals. Gleichzeitig mit der Steigerung der Aktivität ist eine Verbesserung der Qualität des entstandenen Benzins verbunden, was durch Tafel 2 veranschaulicht wird.

Tafel 2



Die Benzinqualität, die hier lediglich durch die Bromzahl, entsprechend dem vorhandenen Olefingehalt, ausgedrückt ist, wurde dadurch erheblich verbessert, daß die Bromzahl auf einen Bruchteil von früher herabgesetzt werden konnte.

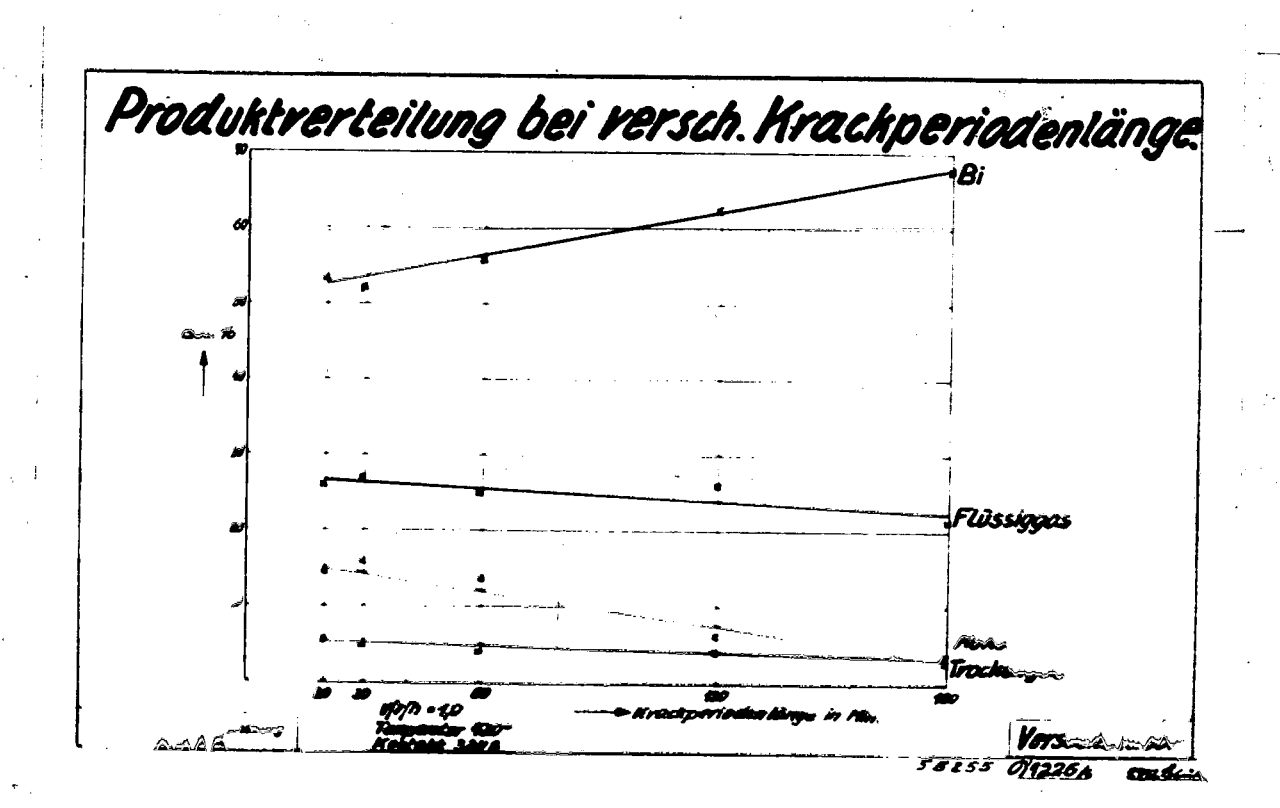
Die Kurven von Tafel 1 und 2 zeigen weiterhin deutlich den Einfluß der Periodenlänge und der Belastung sowohl auf Benzinbildung wie auf Qualität des Benzins: Verlängerung der Perioden und Erhöhung der Belastung wirken sich aus in Verminderung des Benzinumsatzes, Erhöhung des Olefingehaltes und selbstwerständlich auf Art und Menge der übrigen entstehenden Reaktionsprodukte.

"Produktverteilung"

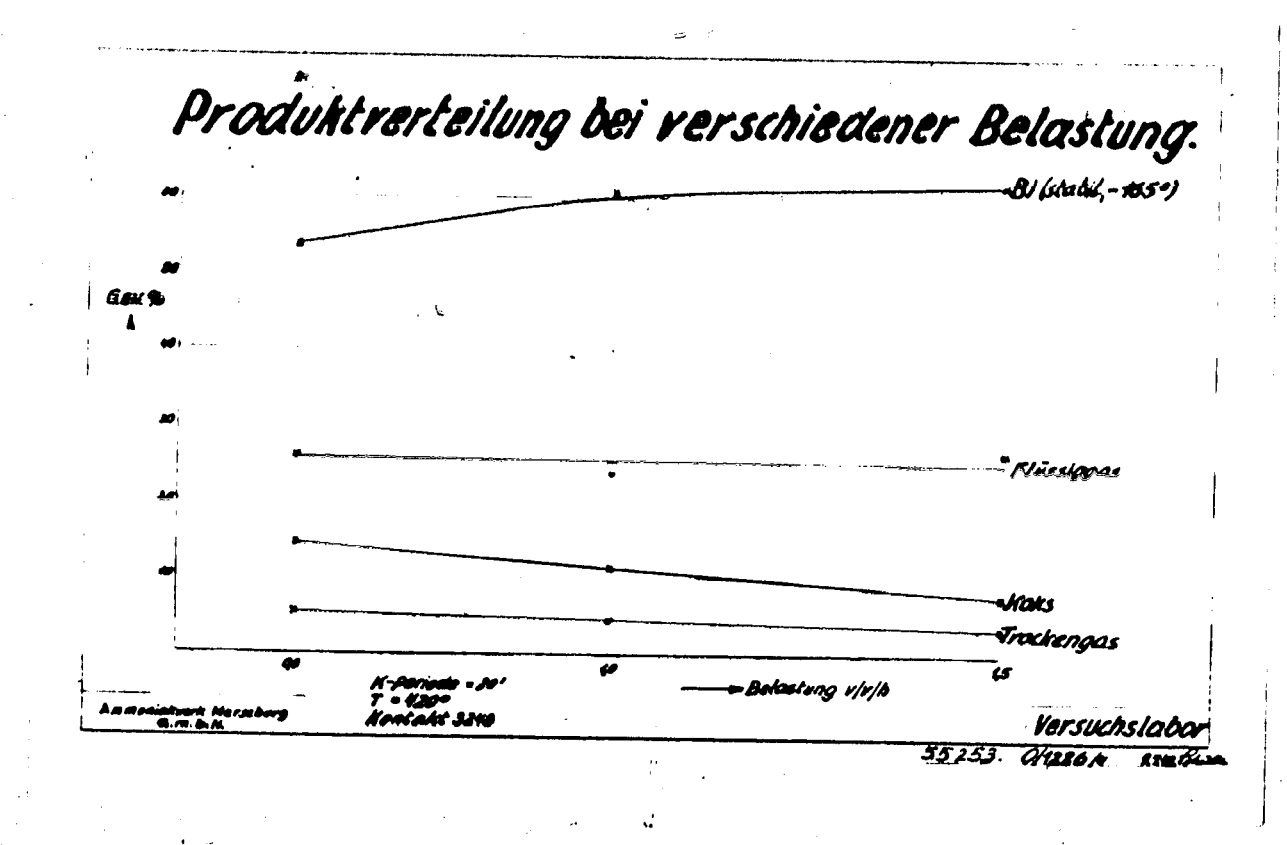
Die Krackreaktion ist schwach endotherm: etwa 20 - 30 Kalorien/kg Einsatzprodukt. Die niedrige Wärmetönung erlaubt eine leichte Durchführung in unbeheizten Ofeneinheiten. Maßgebend für die Art und Verteilung der insgesamt entstehenden Reaktionsprodukte ("Produktverteilung") ist die Wahl von Krackperiodenlänge (Tafel 3), Belastung (Tafel 4), Temperatur (Tafel 5) und Ausgangsöl.

Die entstehenden Reaktionsprodukte, wie stabilisiertes Bi (bis 165°), Flüssiggas, Trockengas und Koks, sind in den folgenden Tafeln 3 - 5 gleich 100 gesetzt.

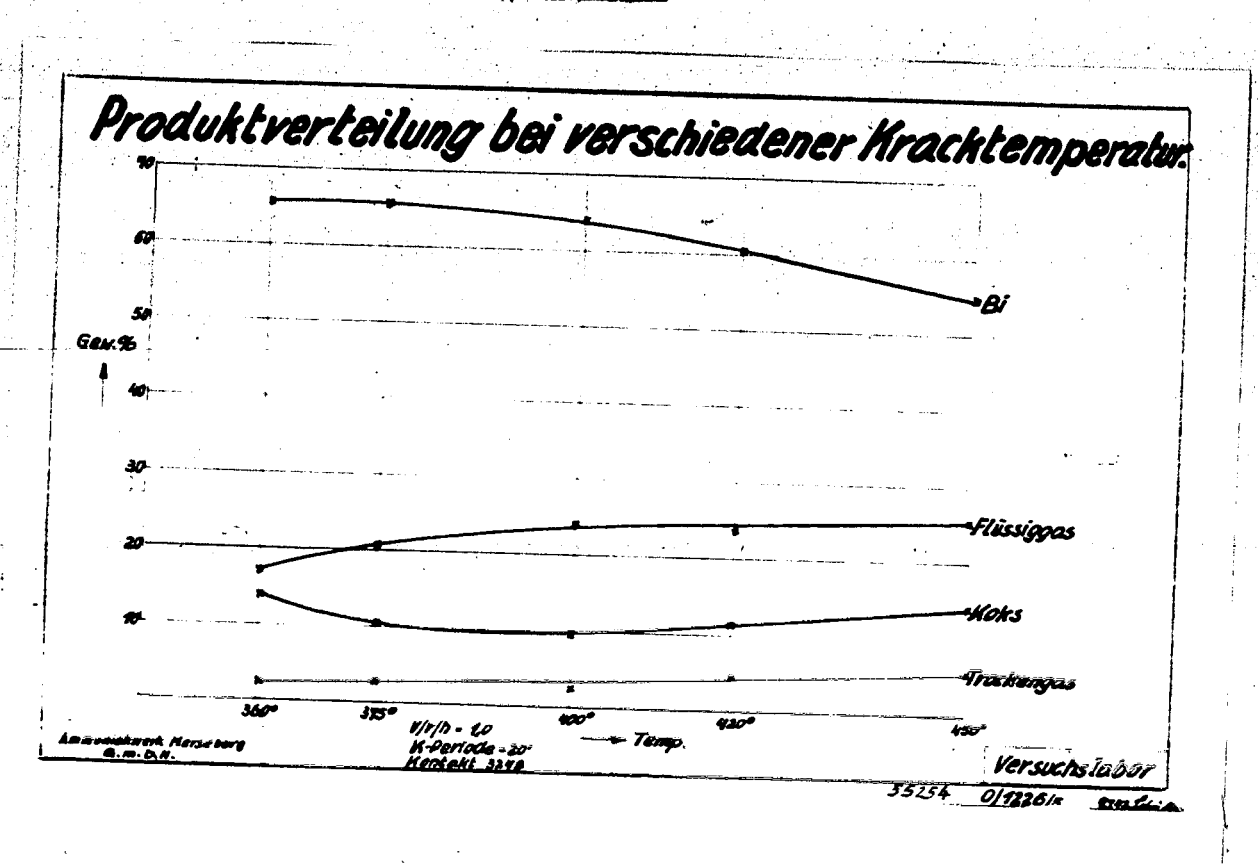
Tafel 3



Tafel 4



Tafel 5



Steigende Belastung und wachsende Krackperiodenlänge verbessern die Produktverteilung, während sie durch steigende Kracktemperatur verschlechtert wird. An dieser Stelle sei noch einmal darauf hingewiesen, daß, wie Tafel 1 zeigt, der absolute Umsatz mit steigender Belastung und wachsender Krackperiodenlänge fällt, bei steigender Temperatur sich jedoch erhöht.

Das Durchschreiten eines Minimums der Kokskurve in Tafel 5 läßt sich dadurch erklären, daß bei zu niedriger Temperatur noch nicht verdampfte Olanteile auf den Kontakt
gelangen und so zu einer höheren Koksabscheidung führen. Zwischen 380 und 420°, der
optimalen Spalttemperatur, durchläuft die Kurve ihren niedrigsten Stand.

Welche Krackbedingungen im einzelnen Falle gewählt werden, hängt außerdem noch von der Art des Ausgangsöles ab und muß durch Versuche bestimmt werden. Am besten lassen sich mehr naphthenische Öle spalten, rein paraffinische geben schlechte Benzinausbeuten mit ungünstiger Produktverteilung.

S.

		4	1 % % % % % % % % % % % % % % % % % % %	1	j
Town Towns		33.8 0,875 14,3-17,21 2-2,	34.0 0,877 20,6-83,2 2,86-3	0,682 (85,9-30,1) 3,6-4	
Ten.	Dichts	0,875	0,877	0,682	60
Restil-Centrathlen	Cetam Anilin Dichts	33,8	34.0	35,0	35.6
Resto	Catem	32,0	32,5	35,0	0,732 38,5
	Dichte cahl	0,721 32,0	0,724 32,5	0,729 35,0	0,732
11 To 14 3	Olefine usarone- ten(Yol.	24.54	25,3	26,9	26,8
Bi Kennzahlen	And- 1in Punkt	6,5 43,2	6,8	40,2	6,6 39,1
		59	869	8,2 40,2	9.8
	Okten- Bros- Ani- zehl zehl lin Punkt	78	70	78	
	. Kest- 31 >165°	48 - 50	48 - 50	3 - 3.5 49 - 50	50
	Koks- Absohet- dungen	9-5	4 - 4.5	3 - 3,5	2,7-3
0sw. A	Trocken- gas	12 - 14 1,5 - 2 5 - 6	13 - 14 2 - 2,5 4 - 4,5 48 - 50	2,5	2,7
Ausbeute in Gev. %	Fius- sig- gus	12 - 14	13 - 14	13,5-14,5 2,5	14 - 15 2°L
Au	Bi.bis 165 ⁰ (Despfdruok 0,4 ati)	30	30	30	30
ď	Belastung Kreckperic-Bi.bis 1650 */*/h denlänge (Denpfdruck in Minuten 0,4 att)	20	. 09	120	180
rbedingungen	Belastung v/v/h	0,1	960	5'0	0,4
Fahrbe	Тепр	4200	420°	42c°	450

Die nebenstehende Tabelle zeigt nochmals Produktverteilung und Qualitätsangaben der entstandenen flüssigen Reaktionsprodukte bei gleichhoher Benzinbildung/ Durchgang für verschiedene Belastungen und Periodenlängen. Man sieht z.B., daß eine Verlängerung der Krackperiode bei gleichzeitiger Senkung der Belastung ein Sinken der Koksbildung zur Folge hat, wodurch das wichtige Zeitenverhältnis Produktion: Nichtproduktion wesentlich günstiger wird. Auch sei noch auf das Ansteigen der Cetanzahl des Restöles hingewiesen, was für dessen Weiterverwendung als Dieselöl naturgemäß wichtig ist.

Die durchschnittliche Verteilung der einzelnen Kohlenwasserstoffe im Flüssig- + Trockengas zeigt die folgende Tabelle.

> n C4H10 i C4H10 100 Gew. %.

Danach beträgt der Anteil der C1-C2-Kohlenwasserstoffe einschließlich Wasser stoff nur rund 10 % vom Gesamtgas.

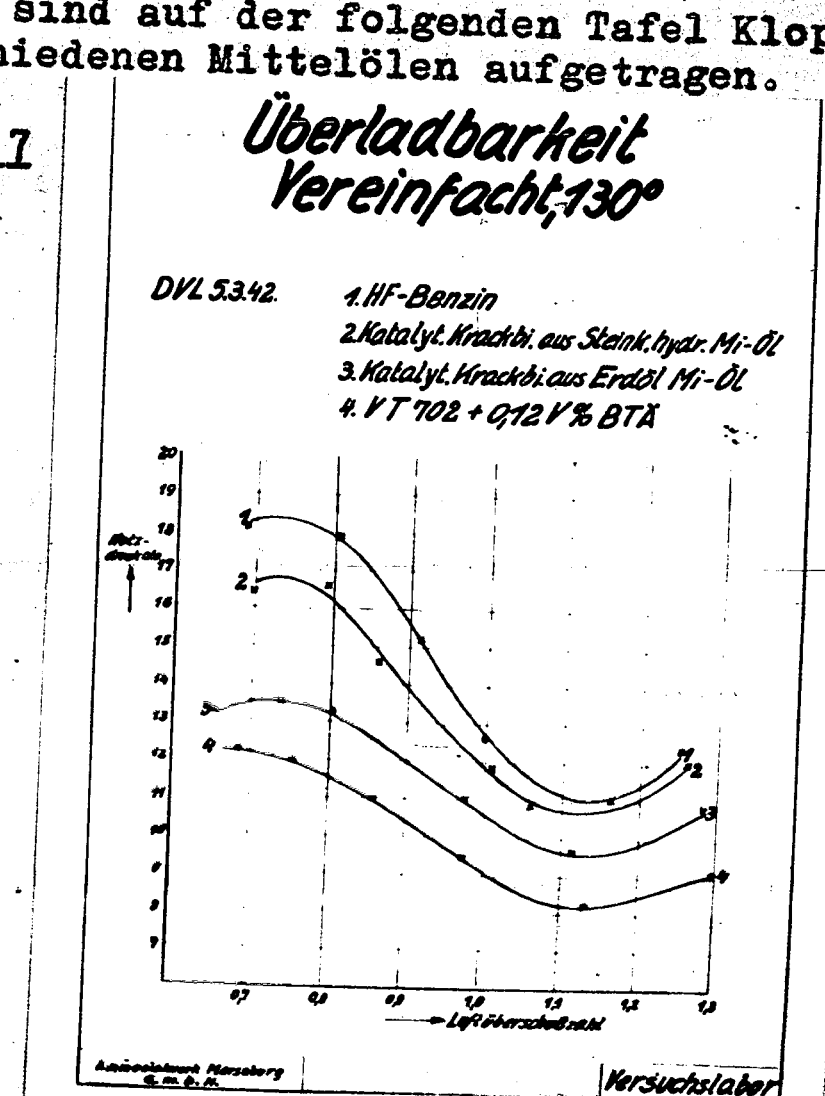
Im Hinblick auf die Herstellung von Alkylatbenzin ist wichtig, daß das i-Butan mit rund 50 % an der Zusammensetzung des Gesamtgases oder mit 77 % an der des Gesamtbutans beteiligt ist.

Qualität des KK-Benzins

Die Qualitätedes KK-Benzins wird, wie schon erwähnt, durch die Fahrbedingungen beeinflußt. Und zwar verschlechtern höherer Durchsatz, steigende Temperatur und längere Krackperiodendauer das Benzin. Für Benzin aus Erdöl liegt der Ölefingehalt etwa zwischen 5 = 10 %. Die Lagerbeständigkeit ist gut. Der Aromatengehalt beträgt etwa 20 = 25 Vol. % und die OZ MM. 76 = 78, mit 0,12 % Blei etwa 90.

Für Benzineaus Braun- und Steinkohlenhydriermittelölen liegen die Aromatengehalte höher, bei 30 %, und die Olefingehalte niedriger, zwischen 2 - 5 %. Die Lagerbeständigkeit ist ebenfalls gut. Die Oktanzahlen liegen bis 3 Einheiten höher.

Zu der wichtigen Frage der Überladbarkeit sind auf der folgenden Tafel Klopfgrenzkurven für KK-Benzine aus zwei verschiedenen Mittelölen aufgetragen.



Zum Vergleich dienen ein HF-Benzin als Vertreter eines Hochleistungsbenzins und ein B4-Flugbenzin. Die Aromatengehalte dieser 4 Benzine sind folgende:

Kurve	1	HF-B1		Arom	Geh.	50	8
₩	2	KK-Bi	aus Steinkohle- HydrMittelöl	*	11	30	%
· •	3	KK-Bi	aus rum. Erdöl- Mittelöl	11	Ħ	22	%
11	4	VT70		11	19	~10	%

Die Kurven zeigen, daß der Aromatengehalt von ausschlaggebendem Einfluß auf die Lage der Klopfgrenzkurven ist, und daß man bei KK-Benzinen aus Steinkohlenhydr.—Mittelöl Qualitäten erreicht, die denen von HF-Benzinen nahe kommen. Trotzdem das KK-Benzin aus rum. Erdöl einen doppelt so hohen Aromatengehalt hat wie das B4, ist die Lage der Kurve 3 doch nur um wenig mehr als 1 Atm. besser. Zahlreiche weitere überlademäßig geprüfte KK-Benzine der verschiedensten Herkunft haben uns zu der Ansicht gebracht, daß beim katalytischen Kracken für das im Verhältnis zu seinem gesättigten Charakter immerhin gute Klopfverhalten des Benzins im Überlademotor weniger eine etwa besonders starke Verzweigung der paraffinischen Kohlenwasserstoffe, die zwar stattfindet, die Hauptsache bildet, als vielmehr die Menge der neugebildeten Aromaten. Hierfür ist die Art des Ausgangsproduktes von ausschlaggebender Bedeutung. Auch die Qualität des nicht aromatischen Anteiles des Krackbensins ist weniger durch den Krackvorgang selbst als durch den chemischen Aufbau des Ausgangsöles bedingt.

Kontaktregeneration

Das wichtige Verhältnis von Reaktionszeit: Regenerations- einschließlich Spülzeit wird bestimmt durch die Höhe der Koksabscheidungen auf dem Kontakt (s.a.Tab., Blatt 6) und die für die Regeneration selbst gewählten Bedingungen. Die Verbrennungswärme des Kokses wird bei unserer Arbeitsweise allein durch das Regenerationsgas abgeführt. Hierzu sind Gasmengen von 3000 - 5000 l Gas/l Kontakt erforderlich. Die Höchsttemperatur des Kontaktes darf 550° nicht übersteigen, da sonst die Aketivität geschädigt wird. Konstruktiv führt die Anwendung so hoher Regenerationsgasmengen zu Mehrschichtenöfen. Die Kontaktschichten werden bei der Reaktion hintereinander und bei der Regeneration parallel geschaltet, um den Widerstand für das Gas zu erniedrigen. Nach Vorversuchen in einem 100 l Ofen liegt das Verhältnis von Reaktions-: Wiederbelebungszeit zwischen l: l bis l: 3, je nach den Fahrbedingungen, die ihrerseits nach wirtschaftlichen Gesichtspunkten zu ermitteln sind.

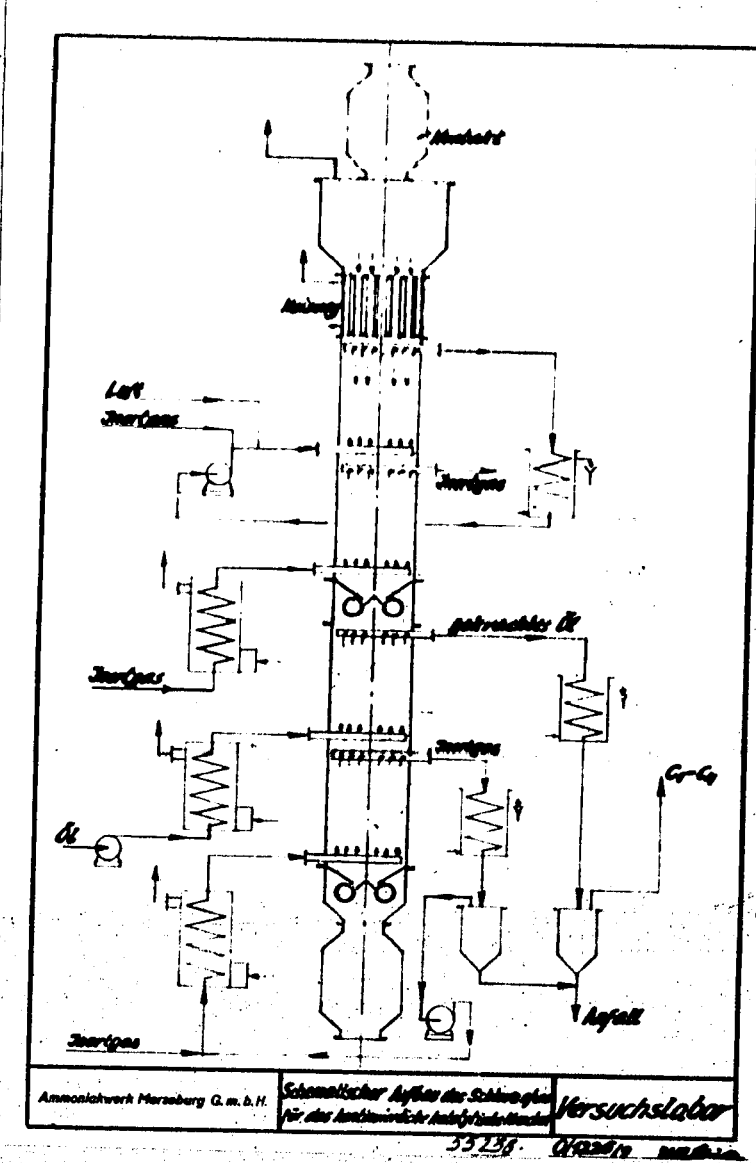
Ein wichtiger Gesichtspunkt für die Regeneration ergibt sich aus der Wasserdampfempfindlichkeit des Kontaktes. Nach der ungefähren Zusammensetzung ClHi der koksartigen Abscheidungen entsteht bei der Regeneration Wasserdampf. Da andererseits
die hohen Regenerationsgasmengen eine Regeneration im Kreislauf erfordern, kann
ohne zwischengeschaltete Kondensation der Wassergehalt im Kreislaufgas bis rund
15 % ansteigen und die Aktivität des Kontaktes schädigen. Aus diesem Grunde ist
eine Abscheidung des Wasserdampfes durch Kühlung erforderlich, was die Regeneration
wirtschaftlich stark belastet.

Schleuskontakt-Verfahren

Wie bereits erwähnt, war es gelungen, die Aktivität des Katalysators wesentlich zu steigern. Durch eine besondere Maßnahme bei seiner Herstellung wurde vor über einem Jahr eine unerwartet hohe mechanische Festigkeit dieser Katalysatoren erreicht. Außerdem konnten die Erfahrungen in der Verformung zu Kugeln von dem T 52-Verfahren her auf diese Katalysatormasse angewendet und so kleine regelmäßige Kontaktkugeln von außergewöhnlicher Abriebfestigkeit erhalten werden. Diese beiden notwendigen Voraussetzungen gaben uns Veranlassung, das schon immer interessierende kontinuierliche Kracken mit wanderndem Kontakt ernstlich ins Auge zu fassen. Für Versuche

nach diesem Prinzip wurde ein halbtechnischer Ofen entwickelt, den die folgende Zeichnung zeigt.

Tafel 8



Die Kontaktkugeln durchlaufen nacheinander eine Regenerations-, Spül- und Reaktionszone. Der Regenerationszone ist ein Röhrenaufheizer vorgeschaltet, in dem der vom Ofenausgang kommende, inzwischen etwas abgekühlte Kontakt wieder auf Zündtemperatur aufgeheizt wird und in dem ein Teil der Verbrennung des Kokses mit Regenerationsgas stattfindet, das aus dem Kreislauf der eigentlichen Regeneration heraus nach oben geleitet wird. Da die wasserstoffhaltigen Anteile des Kokses zu allererst abbrennen, würde somit eine Schädigung des Kontaktes durch wasserdampf auch bei heißem Kreislaufgebläse nicht stattfinden. Nach durchlaufener Spülzone werden die Kontaktkugeln durch eine Doppelschleuse in den Reaktiund Benzinreste in einer Spülzone entfernt und der Kontakt durch eine zweite Doppelschleuse aus dem Ofen ausgetragen. Durch Einstellung bestimmter Drucke in den fahren werden. Der Versuchsofen ist seit über vier Monaten in Betrieb. Während Lander zeit haben sich Störungen an den Schleusen nicht gezeigt.

In zahlreichen Versuchen wurde bestimmt, daß der Kontaktabrieb nur 2 - 3 kg Kontakt/to erzeugten Benzins beträgt.

Bei ungefähr gleichen Benzinausbeuten und gleicher Benzinqualität wie beim Festbettverfahren zeigt auch diese Arbeitsweise genügende Anpassungsfähigkeit an die verschiedenen Ausgangsöle. Durch Veränderung der Dauer der Reaktionsperiode, d.h. hier durch schnelleres oder langsameres Durchschleusen des Kontaktes, sowie durch verschieden hohe Belastung ist es möglich, die auf dem Kontakt abgeschiedene Koksmenge ungefähr gleichhoch zu halten, sodaß bei einer bestehenden Anlage stets die gleichen Betriebsverhältnisse, namentlich hinsichtlich der Regeneration, aufrecht erhalten werden können. Das Schleusverfahren zeigt gegenüber dem Festbettverfahren den Vorteil der kontinuierlichen Fahrweise, sowie des Wegfallens sämtlicher heißen Umschaltventile und der zusätzlichen Apparatur zu deren automatischen Betätigung.

Staubkontaktverfahren in der Gasphase

In letzter Zeit wurden die Arbeiten zur Durchführung des katalytischen Krackens mit staubförmigem Kontakt in der Dampfphase wieder aufgenommen, nachdem es ge-

lungen war, die Arbeitsweise so zu gestalten, daß auch auf diesem Wege ein gutes Flugbenzin herstellbar ist, wenn eine genügend hohe Kontaktstaub-Konzentration im Reaktionsraum aufrecht erhalten wird. Der Anreiz zur intensiven Weiterbearbeitung des Staubverfahrens ist unbedingt gegeben durch die sicher erreichbare Vereinfachung einer technischen Anlage. In letzter Zeit angestellte Versuche geben recht günstige Ergebnisse hinsichtlich Ausbeute, Qualität, Produkt-Verteilung und dgl. Jedoch sind wir apparativ noch zu weit entfernt von einer Übertragung in den großtechnischen Maßstab, so daß es verfrüht wäre, zur Zeit schon eingehende Angaben über diese Arbeitsweise zu machen.

Staubkontaktverfahren in der Flüssigphase

Über dieses Verfahren liegt ein abgeschlossener Bericht von Dr. Kaufmann und Dr. Welz vor X). Der Vollständigkeit halber sei hierzu nur zusammenfassend folgendes angeführt.

Bei diesem kontinuierlichen Verfahren wurde zum Aufheizen und als Reaktionsraum lediglich eine Druckschlange benutzt, deren Volumen infolge sehr hoher möglicher Durchsätze klein gehalten werden konnte. Das Öl wurde mit 3 - 10 % Kontakt angeteigt, bei etwa 450 - 500° und 40 - 100 Atm. Druck und einer Belastung von 20 - 30 kg pro Schlangenvol. und Stunde verarbeitet. Als Kontakt wurden damals natürliche Erden verwendet. Gegenüber dem rein thermischen Krackverfahren findet hier kaum eine höhere Aufspaltung statt, wohl aber demgegenüber eine wesentliche Qualitätsverbesserung des erhaltenen Spaltbenzins. Diese Arbeitsweise ist besonders geeignet für reine Paraffinmittelöle, z.B. Fischer-Kogasin. Gegenüber dem katalytischen Festbettkracken zeigt sich bei solchen Ausgangsprodukten eine sehr große Verbesserung der Produktverteilung. Als hochwertige Flugbenzine kommen auf diese Weise hergestellte Produkte allerdings nicht in Frage, und deshalb ist auch das Interesse für diese Arbeitsweise zur Zeit zurückgedrängt.

Ausblick

Nachdem bisher eine Zusammenstellung der Versuchsergebnisse über das katalytische Kracken gegeben wurde, sollen im folgenden einige Möglichkeiten aufgezeigt werden, die sich z.B. für eine Erdölaufarbeitung bei Anwendung des katalytischen Krackens ergeben, wenn es gilt, ein möglichst hochwertiges Flugbenzin zu erzeugen. Die in den nebenstehenden 4 Schematas gebrachten Zahlen erheben keinen Anspruch auf absolute Genauigkeit, da sie zum Teil auf Schätzungen beruhen, zu denen jedoch umfangereiches Material aus zahlreichen Einzelversuchen herangezogen werden konnte.

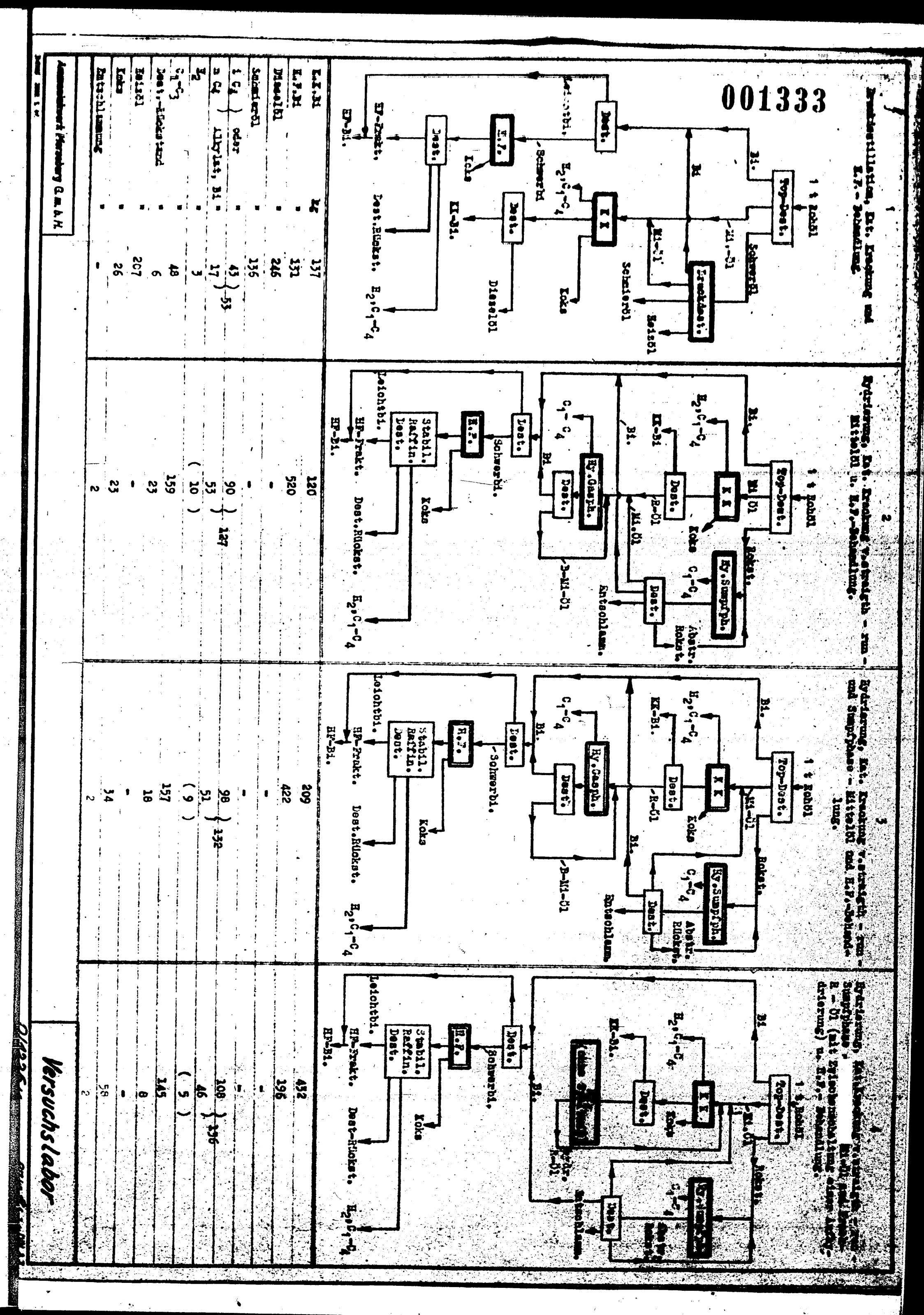
- 1. Rohölaufarbeitung durch Druckdestillation, katalytisches Kracken und HF-Behandlung. Neben Flugbenzin wird hierbei viel Dieselöl, Schmieröl und Heizöl erzeugt.
- 2. Rohölaufarbeitung durch Hydrierung, katalytisches Kracken von straight run-Mittelöl und HF-Behandlung. Als Hauptprodukt entsteht HF-Benzin.
- 3. Rohölaufarbeitung durch Hydrierung, katalytisches Kracken von straight run-, und Sumpfphase Mittelöl und HF-Behandlung.

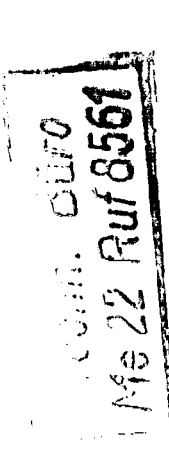
Es wird wesentlich mehr katalytisches Krackbenzin bei noch reichlichen Mengen HF-Benzin erhalten.

4. Rohölaufarbeitung durch Hydrierung, katalytisches Kracken von straight run-Sumpfphase-Mittelöl- und Krack-R-Öl (mit Zwischenschaltung einer Aufhydrierung) und HF-Behandlung.

Diese Fahrweise erzeugt die größte Menge katalytisches Krackbenzin.

Dr.Kaufmann und Dr.Welz. Katalytisches Kracken mit staubförmigem Katalysator in flüssiger Phase (Juli 1939)





Welche der 4 möglichen Kombinationen zur Anwendung kommen kann, hängt weitgehend von der gewünschten Menge und Art der Endprodukte und von wirtschaftlichen Erwägungen ab, auf die hier nicht näher eingegangen werden soll.

Die Frage, welche der drei möglichen Arbeitsmethoden für das Kracken selbst zur Herstellung von Flugbenzin gewählt werden soll, - ob mit festangeordnetem, wanderndem oder staubförmigem Katalysator - müssen wir zur Zeit so beantworten: Für großtechnische Planungen haben wir für das Festbettverfahren genügende Unterlagen. Das uns vorteilhafter erscheinende Schleusverfahren konnten wir in der viel kürzeren Versuchszeit noch nicht bis zur Betriebsreife durchentwickeln. Wir glauben aber, daß wir in mehreren Monaten soweit sein werden, wenn wir in einem größeren Schleusofen-Aggregat (1 cbm-Krackraum) Versuche durchführen können. Die sehr aussichtsreiche Arbeitsweise mit staubförmigem Kontakt bedarf sicher noch längerer Zeit bis zur Durchentwicklung auf großetechnischen Stand.

Mayers

Herrn Dir. Dr. Bütefisch

Dir.Dr.v.Staden
Dir.Dr.Strombeck

" Dr. Langheinrich

" Dr.Ringer Versuchslabor. 7 x

Reserve 3 x

Versuchagruppe No 219
B. Nr. 458/44

Leuna Werke, Junt 1944

Dr. Veise

Katalytisches Kracken reiner Kohlenwasserstoffe

3979--30/4.02-101

Inhaltsverzeichnis

	Seite
Einleitung, Problemstellung	3
1) Präparativer Teil (Herstellung der Ausgangsstoffe)	4,
B) Analytischer Teil	6
1. Untersuchung der gasförmigen Spaltprodukte	6
2. Identifizierung der im Benzin-Siedebereich siedenden Kohlenwasserstoffe	7
3. Untersuchung der über dem Bensinsiedebereich siedenden Spaltprodukte und Koksbestimmung	9
C) Ausführung und Beschreibung der Versuche	10
1. Apparatur und Reaktionsbestägungen	10
II. Spaltversuche	10
a) Paraffine	10
b) Olefine	
e) Aromaten	12
d) Naphthene	15
D) Diskussion der Versuchsergebnisse	15
B) Zusamenfassung	16
Tabellen (1 - 15)	
Destillationskurven der Krackbenzine (Bild 1 - 11)	

Einleitung

Problemstellung

Die Herstellung von Benzinen aus Mittelölen nach dem katalytischen Krackverfahren beruht bekanntlich auf einem recht komplexen Reaktionsmechanismus. Neben dem Bruch von C-C-Bindungen treten Dehydrierungen der im Ausgangsöl vorhandenen cyclischen Verbindungen zu Aromaten auf; ferner können primär gebildete Spaltstükke auf Olefine alkylierend wirken, oder aber die Olefine polymerisieren sich su höhermolekularen Kohlenwasserstoffen. Schließlich ist neben der Isomerisierungsnoch die Cyclisierungsreaktion zu nennen. Welche von den angeführten Mebenreaktionen überwiegt, hängt bei gleichbleibenden Reaktionsbedingungen von der Zusammensetzung des Ausgangsöles ab. Die Mineral- und Syntheseöle stellen ein Gemisch unendlich vieler Kohlenwasserstoffe dar, sodaß auch bei vollständiger Erfassung der Krackprodukte eine Aussage über den Reaktionsmechanismus ausgeschlossen ist. Einen Einblick in den Reaktionswerlauf gewinnt man nur dann, wenn man von reinen Kohlenwasserstoffen ausgeht.

Der vorliegenden Arbeit liegt daher die Aufgabe zugrunde, eine Reihe reiner Kohlenwasserstoffe auf ihre Spaltbarkeit su untersuchen und dadurch einen Beitrag zur Klärung des katalytischen Krackprozesses zu liefern. Bei der Auswahl der Krackbedingungen und des Katalysators sollen frühere Versuchsergebnisse der katalytischen Mittelölspaltung berücksichtigt werden. Es wird auf eine Fahrweise Wert gelegt, bei der die bisher günstigsten Krackergebnisse erzielt worden sind. Unter diesen optimalen Bedingungen sollen sämtliche Spaltversuche durchgeführt werden. Dadurch ist ein direkter Vergleich der Krackergebnisse möglich, und es lassen sich Rückschlüsse auf die Spaltbarkeit von Ölen machen, deren Zusammensetzung annähernd bekannt ist. Reaktionskinetische und thermodynamische Betrachtungen sollen weniger in den Vordergrund der Untersuchungen gestellt werden, sondern es interessiert hauptsächlich das Spaltverhalten reiner Kohlenwasserstoffe im Hinblick auf den technischen Prozeß mit dem besonderen Ziel, durch weitgehende Analyse der Reaktionsprodukte Aussagen über die Hauptspaltrichtung und über die dabei auftretenden Neben- und Sekundärreaktionen, wie Dehydrierung, Cyclisierung, Alkylierung und Polymerisation machen zu können.

Bei der Auswahl der Ausgangsstoffe werden solche Verbindungen ausgeschlossen, deren Herstellung mit allsu zeitraubenden präparativen Arbeiten verbunden ist. Da ca. I Liter Produkt zur Durchführung eines Versuches erforderlich ist, ist die Produktbeschaffung teilweise mit Schwierigkeiten verbunden. Es werden fast nur solche Stoffe untersucht, die im Mittelölsiedebereich liegen und Bestandteile der Mineral- oder Syntheseöle sein könnten und die als charakteristische Vertreter bestimmter Kohlenwasserstoffklassen anzusprechen sind. Liegen einmal die Versuchsergebnisse einer Reihe derartiger Verbindungen vor, lassen sich dann Schlüsse auf das Spaltverhalten ähnlich gebauter Verbindungen ziehen.

A) Preparativer Teil

Herstellung der Ausgangsstoffe

Gans allgemein ist zu sagen, daß die rektifizierende Destillation der Ausgangsstoffe in 1 1/2 m hohen mit Füllkörpern versehenen Kolonnen unter Atmosphärendruck erfolgte. Über 210° siedende Stoffe wurden in Widmer- oder in 30 cm hohen Füllkörperkolonnen im Vakuum destilliert. Die in den Klammern stehenden analytischen Daten sind entnommen: Egloff (x) (Phys.Const. of Hydrocarbons), Ward (xx) (Ind. Eng. Chem. Analyt. Edit. Vol. 10, Nr. 10), Beilstein (xxx).

n-Dekan

Aus einer im Siedebereich des n-Dekans liegenden Kogasinfraktion wurde eine 1-Grad-Fraktion herausgeschnitten, welche folgende physikalische Konstanten auf-Wiess

$$n_0^{20} = 1,4130 (1,4120)^{-3}$$

n-Heptadekan

Der Kohlenwasserstoff wurde durch fraktionierte Destillation aus technischem Cetan erhalten.

iso-Dodekan

Aus dem bei der Herstellung von iso-Oktan durch Polymerisation von Butylen entstehenden höhersiedenden Rückstand wurde ein verzweigter Kohlenwasserstoff mit 12 Kohlenstoffatomen herausgeschnitten.

n-Decen

Als Ausgangsprodukt diente ein im C10-Bereich liegender Synol-Alkohol, der durch Dehydratisation über Tonerde bei 300°C in das entsprechende Olefin übergeführt wurde. Die nachfolgende Rektifikation ergab einen in Bezug auf die Lage der Doppelbindung nicht ganz einheitlichen Kohlenwasserstoff, mit folgenden Daten:

$$d_{20} = 0,745 (0,743)^{x}$$

Br.Z. = 115 (theor. 114)
$$n_D^{20} = 1,4260 (1,4217)^{\pm}$$

1) Die Hauptmenge siedete bei 169 - 172°C.

n-Ceten

Die Herstellung erfolgte analog der des n-Decens aus Cetylalkohol.

$$Sdp. = 280 - 2810 (2740)^{XX}$$

$$n_D^{20} = 1,4445 (1,4419)^{XX}$$

<u>Xylol</u>

Als Ausgangsmaterial diente der bei der Toluolherstellung anfallende höhersiedende Witolrückstand, aus dem eine zwischen 136 - 145° siedende Xylolfraktion herausgeschnitten wurde. Dem Siedeverlauf zufolge dürfte ein Gemisch der 3 isomeren Lylolverbindungen vorliegen.

Durol

Es wurde das Mandelstiliche Produkt verwendet.

Smp. =
$$79^{\circ} (79^{\circ})^{XXX}$$

sec. Amylbenzol (B-Phenylpentan)

Der Kohlenwasserstoff wurde aus dem bei der Alkylierung von Benzol mit tsobutylöl erhaltenen über 165° siedenden Rückstand durch fraktionierte Destillation isoliert

$$d_{20} = 0.865 (0.862)^{xx}$$

Diphenyl

Als Einspritzprodukt diente das übliche Handelsprodukt.

<u>Diphenylmethan</u>

Die Herstellung des Ausgangsstoffes erfolgte nach Friedel-Crafts aus Benzylchlorid und Benzol in Gegenwart von Aluminiumchlorid (Das Molverhältnis Benzylchlorid zu wasserfreiem Aluminiumchlorid betrug 3 : 1). Das im Überschuß angewandte Benzol diente gleichzeitig als Lösungsmittel, die Reaktionstemperatur lag zwischen + 5 und + 10°C. Die Ausbeute an Diphenylmethan betrug ca. 70 % der Theorie.

Methylnaphthalin Das Handelsprodukt enthielt außer der isomeren B-Verbindung noch Verunreinigungen in Form von Schwefel-, Sauerstoff- und Stickstoffverbindungen. Durch Ausschütteln mit verdünnter Natronlauge und Schwefelsäure und einer rektifizierenden Destillation über Natrium wurde es weitgehend gereinigt.

Sdp. =
$$240 = 243^{\circ} (241^{\circ})^{XXX}$$

Sdp. = 260/262° (261°)***

Tetralin

Nach der Rektifikation wies das Tetralin des Handels folgende physikalische Daten auf:

$$d_{20} = 0,973 (0,971)^{XXX}$$

Sdp. =
$$205 - 207^{\circ} (206^{\circ})^{***}$$

 $n_{0}^{20} = 1,5438 (1,545/17,8^{\circ})^{***}$

iso-Amylcyclohexan

Das vorher erwähnte sec. Amylbenzol wurde über einen Nickel-Wolframsulfid-Kontakt (3076) bei einem Wasserstoffdruck von 200 atu und 300°C in die hydroaromatische Verbindung übergeführt. Nach der Rektifikation wies das aromatenfreie Produkt folgende physikalische Konstanten auf.

Tierslohery!

Die Herstellung erfolgte durch Hydrierung von Dipheryl über Kontekt 58/2 (Wolfram-Nickelaulfid) bei 200 att und 500°C. Als Lisungsmittel diente ein Gemisch wen Bensol und Cycloheman. Der durch Destillation gereinigte Kohlenwasserstoff wurde sur Abtrennung geringer Mengen Aromaten mit conc. Schwefelsäure unter Eiskühlung ausgeschüttelt und redestilliert.

$$n_{n}^{20} = 1,4800 (1,4796)^{x}$$

Dicyclohexylmethan

Als Ausgangsstoff diente das Diphenylmethan. Die Hydrierung und Reindarstellung erfolgte wie beim Dicyclohexyl.

$$n_{D}^{20} = 1,4763 (1,4755)^{x}$$

Dekalin

Es wurde das handelsübliche Produkt verwendet.

$$d_{20} = 0.880 (0.877)^{XXX}$$

B) Analytischer Teil

Eine Aussage über den Hauptreaktionsverlauf und die spezifische Wirkung des Kontaktes beim katalytischen Krackprozeß ist nur dann möglich, wenn auf eine weitgehende Identifizierung der Krackprodukte Wert gelegt wird. Würde man sich bei der Aufarbeitung der Spaltprodukte nur auf die sonst übliche Trennung in gasförmige Anteile, Benzin und nicht umgesetztes Mittelöl beschränken, und die flüssigen Aggregate durch Bestimmung der Kohlenwasserstoffklassen charakterisieren, dann wäre auf Grund dieser Ergebnisse ein tieferer Einblick in den Reaktionsmechanismus ummöglich. Diese Erkenntnis war auch bestimmend für die angewandten Untersuchungsmethoden, die zum Ziel hatten, nach Möglichkeit sämtliche Kohlenwasserstoffe zu erfassen. Bis zu welchem Grad diese Aufgabe gelöst werden kann, und welche Fehlerquellen die Analysenmethoden einschließen, soll an späterer Stelle dargelegt werden.

1. Untersuchung der gasförmigen Spaltprodukte

Aus den bei Raumtemperatur gasförmigen Spaltprodukten werden durch Kühlung mit flüssigem Stickstoff die schwerer flüchtigen Kohlenwasserstoffe verflüssigt und vom unkondensierbaren Gas abgetrennt. Das aus Wasserstoff, Methan, Äthan und Inertgas bestehende Gemisch wirde nach Drehschmidt analysiert. Die Bestimmung des Ithylens erfolgt durch Bromabsorption.

Das kondensierbare Krackgas und die bei der Stabilisation des flüssigen Anfalls anfallende Tiefkühlung werden vereinigt und durch Destillation an einer Leunakolonne in eine G2-, G3-, nC4- und iC4-Fraktion zerlegt, deren Olefingehalt jeweils durch Bromabsorption bestimmt wird. Das Verhältnis von n-Butylen su iso-Butylen kann hierbei nicht ermittelt werden. Der sum größten Teil aus Pentanen bestehende Destillationsrückstand wird mit der Bensinfraktjon vereinigt.

2. Identifisierung der im Bensim-Biedebereich siedenden Kohlenwasserstoffe

Es ist voraussuschicken, daß nach der Stabilisation des flüssigen Anfalls das Bensin an einer 1 1/2 m hohen Füllkörperkolonne bis sum Siedebegirin des Ausgangsstoffes herausgeschnitten wird. Im allgemeinen lassen sich in dieser Kolonne bei Destillation unter Normaldruck Übergangstemperaturen von nur ea. 200°C erreichen. Liegen die Siedepunkte der Ausgangsstoffe höher, dann muß die Fraktionierung des höhersiedenden Rückstandes in geeigneteren Kolonnen erfolgen.

Voraussetzung für die Erfassung der Kohlenwasserstoffe im Benzin ist eine weitgehende Fraktionierung in einer gut trennenden analytischen Kolonne. Es wird die von Jantsen entwickelte Spiralrohrkolonne (12 m_Rohrlänge und 1 42 m Kolonnanhöhe) verwendet. Der Ansats beträgt 300 - 400 cm3, die Destillatabnahme 3 - 4 cm pro Stunde bei einem Rücklauf von einem Tropfen pro Sekunde. Die Wahl der Schnittpunkte richtet sich nach den im Gemisch vorhandenen Kohlenwasserstoffen. Durchschnittlich werden bis 185°C 50 Fraktionen abgenommen. Da vor der Destillation von einer Abtrennung der Olefine und Aromaten abgesehen wird, enthalten die abgenommenen Fraktionen gewöhnlich noch Olefine: und die höhersiedenden auch noch Aromaten. Bine Ausnahme bildet der Spaltversuch mit Dekalin, bei dem die Aromaten und Olefine durch eine SO2-Extraktion entfornt worden. Bei den Spaltverauchen mit naphthenischen Kohlenwasserstoffen gestaltet sich die Auswertung der über 70°C siedenden Fraktionen ingofern schwierig, als mit der Ahwesenheit von Verbindungen sämtlicher 4 Kohlenwasserstoffklassen gerechnet werden mußte. Die Bestimmung des Verzweigungsgrades ist dann meistens nicht mehr möglich. Es soll nun im einzelnen auf die Identifizierung der Fraktionen eingegangen werden.

Olefinbestimmung

Da in den meisten Fällen mit der Anwesenheit von Olefinen zu rechnen ist, wird von jeder Fraktien die Bromzahl nach Winkler bestimmt und hieraus mit Hilfe des Molgewichtes der Prozentgehalt an Olefinen nach folgender Formel berechnet:

Gew.% Olefine = Br.Z. x Molgew.

Identifizierung eines aus zwei Komponenten bestehenden Gemisches

Die Bestimmung des Reinheitsgrades einer Fraktion erfolgt durch den Siedepunkt und den Brechungsindex. Zeigt der letztere eine geringe Abweichung von dem Refraktienswert des zu erwartenden reinen Stoffes, ist mindestens mit der Anwesen heit einer sweiten Komponente zu rechnen. Liegt ein solches 2-Stoffgemisch vor, dann kann aus den Refraktionen der beiden zu erwartenden reinen Kohlenwasserstoffe und der experimentell bestimmten Refraktion des Gemisches mit Hilfe der Nischungsregel der Prozentgehalt ausgerechnet werden. Hierbei wird vorausgesetst, daß sich die Refraktionen additiv verhalten. Diese Voraussetzung ist nur bei Gemischen von Paraffinen und Naphthenen streng erfüllt.

Beispiels

$$x \cdot n_{D}^{1} + (100 - x) n_{D}^{2} = 100 \cdot n_{D}^{2}$$
 Gemisch

Identifisierung eines aus 3 Komponenten bestehenden Gemisches

Sind neben dem Olefin noch 2 andere Kohlenwasserstoffe zu erwarten, dann wird sunkchst aus der Bromsahl der Olefingehalt errechnet und die Refraktion des Gemisches bestimmt. Nach der Mischungsregel berechnet man unter Verwendung des bekannten Glefinwertes die Refraktion des olefinfreien Gemisches, worsus sich unter nochmaliger Anwendung der Mischungsregel der Prozentgehalt der reinen Komponenten ergibt.

Beispiel: x = \$ Olefine (aus der Bromzahl berechnet)

nD Olefin = Refraktion des reinen Olefins

nD Gemisch = " clefinfreien Gemisches

nD Fraktion = " der olefinhaltigen Fraktion

Die Refraktion des olefinfreien Gemisches ergibt sich aus folgender Gleichung:

x . nD Olefin + (100 - x) . nD Gemisch = 100 . nD Fraktion

Aus der Siedekurve ermittelt man unter Berücksichtigung der errechneten Refraktion die Komponenten des olefinfreien Gemisches und berechnet ihren Prozentgehalt wie folgt:

Prozentgehalt der Komponente 1

D1 • Refraktion der reinen Komponente 1

D2 • • • 2

y • n + (100 - y) n = 100 · n Gemisch

Rierbei ist zu entscheiden, ob das olefinfreie Gemisch nur aus Paraffinen oder aus einem Paraffin-Naphthen-Gemisch bzw. Paraffin-Aromaten-Gemisch besteht. Bis sum Siedebeginn des Methylcyclopentans wird die Identifizierung der Fraktionen dadurch erleichtert, daß bis auf eventuell vorhandenes Cyclopentan nur int der Anwesenheit von Paraffinen und Olefinen zu rechnen ist. Hohe Brechungsindices weisen auf die Anwesenheit von Naphthenen oder Aromaten hin. Enthält der Auswertung nach vorherstehendem Beispiel verfahren. In solchen Fällen, wo eine Entscheidung über die Anwesenheit von Naphthenen bzw. Aromaten zweifelnas erscheint, wird das Gemisch mit 98 Siger Schwefelsäure ausgeschüttelt und hauf erscheint, werd des Gemisch mit 98 Siger Schwefelsäure ausgeschüttelt und hauf geringen auch die Aromaten nach der Ultraviolett-Absorptions-Methode betinnt und swar besonders dann, wenn es sich um geringe Prozentsätze handelt. Diese Ferte stimmen gut mit denen aus den Brechungsindices errechneten über-

Identifisierung eines aus vier und mehr Komponenten bestehenden Gemisches

Mit steigendem Siedepunkt und der dadurch bedingten Zunahme des Isomerisierungsgrades wird auch die Bestimmung der in den einzelnen Fraktionen vorhandenen
Kohlenwasserstoffe schwieriger. Bei den über 100° siedenden Gemischen ist meistens die Angabe des Verzweigungsgrades ausgeschlossen und zwar besonders dann,
wenn as sich um die gleichzeitige Anwesenheit von Vertretern sämtlicher vier
Kohlenwasserstoffklassen handelt. Mit dieser Möglichkeit ist jedoch nur dann
su rechnen, wenn Krackbenzine aus naphthenischen Kohlenwasserstoffen vorliegen. Bei der Spaltung von Olefinen, Paraffinen und Aromaten werden

Maphthene in mennemewerten Mengen nicht gebildet. In welcher Weise ein aus mehreren Kohlenwasserstoffen susammengesetztes Gemisch identifisiert wird, soll im Folgenden kurs erläutert werden.

Mach der Berechnung des Olefingehaltes aus der Bromsahl und Bestimmung der Aromaten mit Hilfe der Ultraviolettabsorption wird unter zweimaliger Anwendung der Mischungeregel der Brechungsindex des olefin- und aromatenfreien Gemisches ausgerechnet. Aus dem ermittelten Wert ergibt sich die Zusammensetsung des Gemisches. In Zweifelsfällen wird ein Teil der Fraktion mit 98 Kiger Schwefelsäure ausgeschüttelt und vom Raffinat der Brechungsindex experimentell bestimmt.

Es sei darauf hingewiesen, daß gelegentlich für die Auswertung kleiner Zwischenfraktionen nur die Bromzahl und Refraktion zugrunde gelegt wurde, da infolge Produktmangel weitere Analysen nicht möglich waren. In diesem Fall ist die Bestimmung geringer Paraffinmengen neben Naphthenen und umgekehrt nur annäherungsweise
möglich. Da die in Frage kommenden Fraktionen nur etwa 0,5 % vom Gesamtansats
ausmachen, ist derevil. gemachte Fehler sehr gering. Er fällt umso weniger ins Gewicht,
wenn man berücksichtigt, daß die Werte auf Einspritzung bezogen werden.

3. Untersuchung der über dem Benzinsiedebereich siedenden Spaltprodukte

Zur fraktionierten Destillation der bis ca. 200° siedenden Anteile wird die 1 1/2 m Kolonne verwendet. Die Wahl der Schnittpunkte richtet sich nach den zu erwartenden Kohlenwasserstoffen. Treten keine ausgeprägten Haltepunkte auf, werden gewöhnlich 100-Praktionen abgenommen, von denen die Dichte, Refraktion, Anilinpunkt, Bromsahl und die mit 98 Siger B2SO4 bei 0°C absorbierbaren Anteile bestimmt werden Wenn es sich als notwendig herausstellt, wird auch noch von dem olefin- und aromatenfreien Restbenzin der Brechungsindex bestimmt. Aus den vorliegenden analytisches Daten kann die Zusammensetzung der Fraktionen ermittelt werden. Daß hierbei zum größten Teil nur eine Trennung nach Kohlenwasserstoffklassen möglich ist. braucht nicht näher betont zu werden. Die Fraktionierung der höhersiedenden Anteile erfolgt unter den gleichen Gesichtspunkten in Widmer- oder Füllkörperkolonnen im Vakuum. Die Identifizierung geschieht im allgemeinen nach dem soeben beschriebenen Verfahren. Bei den hochsiedenden Fraktionen gelingt oftmals eine Trennung in flüssige und feste Bestandteile. Durch Umkristallisation werden reine Verbindungen isoliert, deren Identifizierung durch den Schmelzpunkt erfolgt. Mitunter werden auch aromatische Kohlenwasserstoffe aus dem flässigen Gemisch in Form ihrer Pikrinsäureverbindungen abgeschieden und nach dem Unkristallisieren durch den Schmelzpunkt identifiziert.

Koksbestimmung

Der auf dem Kontakt abgeschiedene Koks wird bei der Regeneration mit Luft zu Kohlensäure und Wasser verbrannt. Die vollständige Oxydation zu CO2 wird dadurch erreicht, daß das Gasgemisch über erhitztes Kupferoxyd geleitet wird. Der CO2-Gehalt ergibt sich aus dem Verbrauch einer eingestellten Barytwasserlösung. Die Koksmenge läßt sich dann leicht berechnen. Der geringe Wasserstoffgehalt des Kokses findet hierbei keine Berücksichtigung.

C) Ausführung und Beschreibung der Versuche

I. Apparatur und Reaktionsbedingungen

Zur Durchführung der Versuche wird ein elektrisch beheizter Ofen mit 1,7 l Kontaktinhalt verwendet. Eine Zahnradpumpe fördert das Produkt aus einem graduierten Vorratsgefäß über eine Heizschlange in den Ofen. Kohlenwasserstoffe, die infolge ihres hohen Schmelzpunktes bei Raumtemperatur fest sind, werden aus mit Wasserdampf beheizten Vorratsgefäßen eingespritzt. Die auf Ocheruntergekühlten flüssigen Krackprodukte werden in einem Rundkolben gesammelt. Die gasförmigen Anteile (H2, C1 - C5) strömen über eine Fangflasche in einen Gasometer. Durch fraktionierte Kondensation werden sie in Trockengas, welches Wasserstoff, Methan und wenig Athan enthält, und in kondensierbares Gas (C2 - C5) zerlegt. Nach jeder Krackperiode erfolgt vor der Regeneration eine längere Spülung (60 Min.) mit Stickstoff. Das Spülgas durchströmt sur Abscheidung mitgeführter Kohlenwasserstoffe 2 tiefgekühlte Vorlamn und einen Kohleturm. Die Wiederbelebung des Kontaktes geschieht durch allmählichen Luftzusatz sum Inertgas, wobei die Temperatur 55036 nicht übergeteigen dam?

Die Krackbedingungen werden aus den in der Einleitung bereits erwähnten Gründen bei allen Versuchen konstant gehalten. Die Temperatur beträgt 420°G, die Belastung 0.6 v/v/h und die Dauer der Krackperiode 60°. Als Kontakt wirdein synthetischer Krackkontakt (Nr. 3248) verwendet, dessen Aktivität laufend überprüft wird.

II. Spaltversuche

a) Paraffine

n-Dekan

Der Kohlenwasserstoff zeigt unter den normalen Krackbedingungen nur eine geringe Zerfallsneigung. Trotz Verkürzung der Krackperiodenlänge auf 30° beträgt die Gesamtaufspaltung nur 26 % der eingespritzten Menge. Die Hälfte der Krackprodukte ist gasförmig. Bemerkenswert ist die bevorzugte i-Butanbildung und der starke Isomerisierungsgrad der Spaltprodukte. Neben der eigentlichen Spaltreaktion und der dadurch bedingten Olefinbildung von 3,5 % (bez. auf Einspritzung) tritt auch eine geringe Aromatisierung ein. Die Aromatenbildung nimmt in der Reihenfolge Benzol - Toluol - Kylol zu. Naphthene sind in nennenswerten Kengen nicht nachweisbar. Neben der Aufspaltung des Dekans zu Kohlenwasserstoffen mit kleinerer Kohlenstoffzahl entstehen auch durch Alkylierungs- oder Polymerisationsreaktionen Paraffine mit größerer Kettenlänge. Die auf dem Kontakt abgeschiedene Koksmenge bewegt sich in Übereinstimmung mit dem geringen Spaltungsgrad in mäßigen Grenzen (Tabelle 1, Bild 1).

n-Heptadekan

Der Kohlenwasserstoff ist etwa doppelt so gut spaltbar wie das n-Dekan. Dieses experimentell gefundene Ergebnis zeigt deutlich, daß bei Paraffinen mit zunehmender Kettenlänge die thermische Beständigkeit der Verbindung abnimmt, die Abnahme der thermischen Beständigkeit ist gleichbedeutend mit einer Zunahme der "Freien Energie."1)

1) Über die Temperaturabhängigkeit der "Freien Energie" einiger Kohlenwasserstoff
M. Marder, Motorkraftstoffe Bd. I, S. 239

Unter den Spaltprodukten sind nur die unterhalb des Ausgangsstoffes siedenden Kohlenwasserstoffe su verstehen. Die aus primer gebildeten Spaltstücken entstandenen höhersiedenden Produkte sind hierbei nicht berücksichtigt. Der Anteil der gasförmigen Kohlenwasserstoffe an der Gesamtspaltung tritt beim Heptadekan im Vergleich sum Dekan etwas surück, da infolge der größeren Kettenlänge die Tendens sur Bildung flüssiger Spaltprodukte ausgeprägter ist Mit der größeren-Aufspaltung nimmt auch die Olefin- und Aromatenbildung zu. Unter den Spaltstücken überwiegen in Analogie sur Dekanspaltung die versweigten Kohlenwasserstoffe. Der Anteil der verzweigten Paraffine an den Gesamtparaffinen beträgt ca. 80 %. Naphthenische Kohlenwasserstoffe werden in nennenswerten Mengen nicht gebildet. Infolge der größeren Aufspaltung ist die Koksbildung auch stärker als beim n-Dekan. Die mit der Molekülgröße abnehmende thermische Stabilität der Paraffine konnte auch Egloff1) nachweisen, der die Spaltbarkeit von n-Oktan und Cetan über Krackkontakten untersuchte. Infolge der anders gewählten Krackbedingungen lag bei Egloff die absolute Ausbeute an Spaltprodukten tiefer, jedoch kam auch hier deutlich zum Ausdruck. daß mit wachsender Kettenlänge die thermische Stabilität der Paraffine abnimmt. Die Ergebnisse der Heptedekanspaltung sind in der Tabelle 2 zusammengestellt (B11a 2):

1so-Dodekan

Der Kohlenwasserstoff liegt in seiner Spaltbarkeit nur wenig unter dem Heptadekan, dagegen neigt er viel leichter sum Zerfall als das n-Dekan. Die relativ starke Zerfallsneigung des iso-Dodekans ist sicherlich in dem hohen Verzweigungsgrad der Verbindung zu suchen. Unter den Spaltprodukten überragt die
Butanfraktion mit 17,3 % (bez. auf Einspr.) die übrigen Fraktionen bei weitem.
Diese bevorzugte Spaltrichtung findet ihre Erklärung in der Konstitution des
Ausgangsstoffes (Tabelle 3, Bild 3).

b) Olefine

Decen

Der Kohlenwasserstoff ist im Vergleich zum n-Dekan unter den gleichen Krackbedingungen thermisch viel unbeständiger. Hinsichtlich seiner Spaltbarkeit übertrifft er das Paraffin gleicher Kettenlänge bei weitem. Mit einer 80 Sigen Ausbeute an tiefersiedenden Spaltprodukten ist er etwa 3 x so gut spaltbar wie das entsprechende Paraffin. Dieses experimentell gefundene Ergebnis stimmt auch mit den von Francis²) ermittelten Werten für die Temperaturabhängigkeit der Freien Bildungsenergie überein, wonach bei tieferen Temperaturen: (katalytische Kracktemperaturen) die Olefine die größere Freie Energie und damit die geringere thermische Beständigkeit aufweisen.

Auch Egloff konnte am Beispiel des Oktens zeigen, daß das Olefin leichter spaltet als das Paraffin gleicher Kettenlänge. Berücksichtigt man die Tatsache, daß von dem eingesetzten Decen keine nennenswerten Mengen zurückerhalten wurden, dann erscheint die Aufspaltung noch größer. Denn die hochsiedenden Krackprodukte dürften zum Teil aus primär gebildeten Spaltstücken entstanden sein. Die bevorzugte Bildung von C4-, C5 und C6-Kohlenwasserstoffen weist darauf hin, daß die Hauptspaltung in der Mitte des Moleküls erfolgt ist. Bemerkenswert ist der starke Olefingehalt der Spaltprodukte und die ziemlich beträchtliche Bildung an höhersiedenden Polymerisationsprodukten. Die überwiegende Bildung verzweigter

¹⁾ J. Amer. Chem. Soc. 61 3571 (1939)

^{2) 1.} c. Seite 10

- 15 -

Kohlenwasserstoffe light auch hier wieder die starke isomerisierende Wirkung des Kontaktes erkennen. Im Vergleich zur Dekanspaltung ist die Aromaten- und Koksbildung größer (Tabelle 4), Bild 4).

Coton

Das Ceten übertrifft hinsichtlich seines Spaltungsgrades das Heptadekan bei weitem und spaltet noch etwas besser als das Decen. Es wird praktisch voll-kommen umgesetzt und unterscheidet sich hinsichtlich der gebildeten Reaktionsprodukte und der Produktverteilung vom Decen nicht sehr wesentlich (Tabelle 5, Bild 5). Auch Eglofft konnte die bessere Spaltbarkeit des Cetens gegenüber Cetan nachweisen.

c) Aromaten

igo-Amylbensol

Wie zu erwarten, tritt beim isc-Amylbenzol im wesentlichen eine Abspaltung der paraffinischen Seitenkette ein. Die Hauptspaltstücke sind demnach Benzol (31,5 % bes. auf Einspr.) und Pentane (21,7 % einschl. Pentene). Unter den gasförmigen Anteilen überwiegt das i-Butan. Die Toluol- und Xylol- bzw. Athylbenzolbildung tritt hinterder Benzolbildung sehr stark zurück. Nicht umgesetzt oder isomerisiert werden ca. 9 %. Die Ausbeute an höhersiedenden Produkten, welche vorwiegend aus alkylierten Naphthalinen bestehen, beträgt etwa 12 %. Die Bildung der alkylsubstituierten Naphthaline dürfte unter Ringschluß über das Tetrahydromaphthalin und anschließender Dehydrierung erfolgt sein. Die geringen Paraffinmengen im C6- bis C9-Bereich weisen darauf hin, daß neben der Spaltreaktion auch eine sehr geringfügige Polymerisation kleinerer Spaltstücke zu paraffinischen Kohlenwasserstoffen erfolgt. (Tabelle 6, Bild 6)

4-Methylnaphthalin

Das Methylnaphthalin bildet nur sehr wenig tiefer siedende Spaltprodukte; der größte Teil bleibt unverändert oder wird zur ßeVerbindung isomerisiert. Bemerkenswert ist die Bildung von 15 % höhersiedenden Aromaten, welche zum Teil aus Dimethylnaphthalinen und ßß'-Dinaphtyl bestehen. Wahrscheinlich lagert sich zunächst das A-Methylnaphthalin in die thermisch stabilere ß-Verbindung um und erleidet dann eine Entmethylierung. Die beiden Naphthalinreste vereinigen sich dann, während die abgespaltenen Methylgruppen alkylierend wirken. Es ist anzunehmen, daß die für den Spaltungsgrad ziemlich beträchtliche Koksbildung auf Polymerisations- bzw. Kondensationsreaktionen des Naphthalinrestes zurückzuführen ist. Einen Hinweis auf diese Annahme gibt der Siedeverlauf des hochsiedenden Rückstandes, der ein Siedeende von > 400° aufweist. (Tabelle 7)

Diphenyl

Der Kohlenwasserstoff erleidet unter Krackbedingungen keinerlei Zerfall.

Diphonylmethan

Wie zu erwarten, ist das Diphenylmethan gegemüber dem Diphenyl thermisch viel unbeständiger, es wird nahesu vollkommen aufgespalten. Der Bruch tritt hauptsächlich an der Methylenbrücke auf. Aus den großen Benzolmengen könnte man schließen, daß vorwiegend eine Abspaltung der beiden Phenylgruppen erfolgt, wobei die Methylengruppe den zur Benzolbildung notwendigen Wasserstoff liefert und ihrerseits zu Kohlenstoff dehydriert wird. Auch die hohe Koksbildung (11 % der Einspr.) läßt diese Reaktionsrichtung durchaus wahrscheinlich

deuten darauf hin, daß neben dieser bereits erwähnten Spaltrichtung auch ein Zerfall des Moleküls in Bensol und Toluol eintritt. Als Nebenreaktionen sind Alkylierungs- und Polymerisationsvorgänge su nennen. Hierfür sprechen die alkylierten Bensol- und Naphthalinderivate. Die Entstehung der geringen Anthracenmengen dürfte so su erklären sein, daß swei Bensylreste su 9-10-1 hydroanthracen kondensiert und anschließend dehydriert werden (Tabelle 8).

Durol (1,2,4,5-Tetremethylbenzol)

Das Durol erleidet im wesentlichen eine Disproportionierung zu Trimethylbenzol und Penta- bzw. Hexamethylbenzol. Etwa 50 % der eingespritzten Menge bleiben unverändert oder werden isomerisiert. Die Koksbildung beträgt 3 %; gasförmige Kohlenwasserstoffe werden nur in Spuren gebildet (Tabelle 9).

<u>Xylol</u>

Die beim Durol beobachtete Disproportionierung tritt auch beim Kylol ein. Hier entstehen neben nicht umgesetztem Ausgangsstoff vorwiegend Toluch und Trimethylbenzole. Die gebildete Benzolmenge einschließlich der gasförmigen Spaltprodukte beläuft sich auf ca. 3 % (bez. auf Einspr.). Die geringe Bildung von höhersiedenden Aromaten dürfte so zu erklären sein, daß ein Teil des primär entstandenen Trimethylbenzols nochmals disproportioniert. Es ist auch nicht ausgeschlossen, daß abgespaltene Methylgruppen auf die Benzolringe alkylierend wirken und dadurch zur Bildung höhersiedender Aromaten beitragen. Zu erwähnen sind noch die Spuren an Olefinen und Paraffinen, die während des Reaktionsverlaufes gebildet werden (Tabelle 10).

Tetralin

Das Tetralin steht in Bezug auf seine Spaltbarkeit zwischen dem OL-Methylnaphthalin und dem Dekalin. Einen Angriffspunkt für die Spaltreaktion bietet haupteächlich der aufhydrierte Ring. Der eigentliche Krackvorgang wird von einer Dehydrierungsreaktion übertroffen, durch welche mindestens 27 % des Ausgangsstoffes in Naphthalin übergeführt werden. Das Dehydriergleichgewicht des Systems Naphthalin - Tetrahydronaphthalin liegt unter den Reaktionsbedingungen wahrscheinlich stark auf der Seite des Naphthalins. Die Krackreaktion scheint im wesentlichen so zu verlaufen, daß aus dem hydrierten Ringsystem kurskettige Bruchstücke herausgespalten werden; die in ziemlichen Mengen nachgewiesenen monocyclischen Aromaten, unter denen das Benzol bei weitem überwiegt, bestätigen diese Annahme. Die ziemlich beträchtlichen Mengen an höheralkylierten Benzolen (im Siedebereich von 180 = 190°) weisen darauf hin, daß der hydroaromatische Ring in starkem Maße nur an einer einzigen Stelle aufgesprengt wird. Unter den Spaltstücken finden sich neben ganz geringen Olefinmengen (ca. 0,5 % bez. auf Einspr.) auch naphthenische Kohlenwasserstoffe und zwar vorwiegend Methylcyclopentan mit 1,4 % der Einspritzung. Der Anteil der Paraffine erstreckt sich im wesentlichen auf die gasförmigen Produkte (Tabelle 11, Bild 7).

d) Naphthene

iso-Amylcyclohexan

Der hydroaromatische Kohlenwasserstoff ist gegenüber dem Paraffin gleicher Kohlenstoffzahl leichter spaltbar. Nur 17 % des eingesetzten Produktes bleiben bis auf eine geringfügige Isomerisierung unverändert, etwa 65 % werden in tiefersiedende Kohlenwasserstoffe aufgespalten, der Rest ist höhersiedend. Die beträchtliche Butan- und Pentanbildung weist darauf hin, daß in bevorzugtem Maße die Spaltreaktion an der Seitenkette eintritt; der naphthenische 6-Ring wird größtenteils zu Methyl- bsw. Dimethylcyclopentan isomerisiert oder dehydriert. Die nachgewiesenen Mengen an Paraffinen und Olefinen mit 6 und mehr Kohlenstoffatomen sprechen dafür, daß — wenn auch nur in untergeordnetem Maße — eine Sprengung des Ringes erfolgt ist. Während beim aromatischen Kohlenwasserstoff gleicher Konstitution im wesentlichen eine Absprengung der gesamten paraffinischen Seitenkette erfolgt, wobei der aromatische Ring erhalten bleibt, tritt beim iso-Amylcyclohexan die Pentanbildung zugunsten der Butanbildung

¹⁾ l. c. Seite 11 1)

Eurück. Beim iso-Amylbensol bietet das die Seitenkette tragende quaternäre Kohlenstoffatom einen bevorsugten Angriffspunkt für lie Spaltreaktion; das energetisch ausgeglichenere Naphthen ist sur Pentancildung nicht so praedestiniert. Erwähnenswert ist schließlich noch die geringe Koks- und Olefinbildung (Tabelle 12, Bild 8).

Dicyclohexyl

Im Vergleich zum Diphenyl, welches sich durch seine hohe thermische Beständigkeit ausseichnete, neigt das Naphthen gleicher Konstitution sehr leicht zum Zerfall. Der Ausgangsstoff wird praktisch vollkommen umgesetzt. Die Hauptspaltung tritt an der Verknüpfungsstelle der beiden Ringe ein, wobei gleichzeitig in ziemlich beträchtlichem Umfange eine Ringsprengung eintritt. Die gebildeten gasförmigen Kohlenwasserstoffe und die monocyclischen Naphtheme sind ein Beweis für diesen Reaktionsverlauf. Ebenso wie beim iso-Amyl... cyclohexan erleiden die 6-Ring-Naphthene eine starke Isomerisierung zu den entsprechenden 5-Ring-Naphthenen. Hinsichtlich der Vergasung ist zu sagen, daß sie geringer ist als bei dem Naphthen mit Seitenkette. Zieht man das etwa ebenso gut spaltbare Ceten zum Vergleich heran, so liegt bei dem Olefin die Gasbildung doppelt so hoch wie beim Dicyclohexyl. Die Produktverteilung ist beim bicyclischen Naphthen in Bezug auf Benzinbildung eine besonders günstige. Zu erwähnen ist noch die starke Aromatisierung, welche in dem Dicyclischen 6-Ring-System des Ausgangsstoffes begründet ist (Tabelle 13, Bild 9).

<u>Dicyclohexylmethan</u>

In Bezug auf Spaltbarkeit und Produktverteilung unterscheidet sich der Kohlenwasserstoff vom Dicyclohexyl nur unwesentlich. Die Methylenbrücke beeinflußt die Hauptspaltrichtung nur wenig. Zu erwähnen ist vielleicht noch die stärkere Bildung an Dimethylcyclopentan, welche auf das die beiden Ringe verbindende Kohlenstoffatom zurückzuführen ist. Es ist anzunehmen, daß sich primär unter Abspaltung eines Cyclohexanringes Methylcyclohexan bildet, welches anschließend isomerisiert wird. Infolge des rein naphthenischen Charakters des Dicyclohexyls ist die Aromatenbildung etwas höher als beim Dieyclohexylmethan. (Tabelle 14, Bild 10)

Dekalin

Die Krackergebnisse bestätigen erneut die gute Spaltbarkeit der Naphthenes Die Verbindung ist thermisch etwas stabiler als die bereits untersuchten hicyclischen Naphthene, denn 24 % (bez. auf Einspr.) werden nach dem Krackprozes unverändert zurückerhalten. Der Grund für die größere Beständigkeit ist in der unterschiedlichen Art der Ringverknüpfung zu suchen. Der Spaltvorgang besteht hauptsächlich in einer Sprengung des Ringsystems unter Abspaltung von i-Butan. Der unversehrt gebliebene naphthenische 6-Ring erleiste gleichzeitig eine Isomerisierung oder wird dehydriert. Desgleichen findet auch eine geringe Dehydrierung des Dekalins zu Naphthalin statt. (Tabelle 15, Bild 11)

D) Diskussion der Versuchsergebnisse

Die Untersuchungen haben ergeben, daß der Spaltungsgrad und die jeweils entstehenden Krackprodukte stark von der Konstitution des Ausgangsstoffes abhängen. Die Olefine sind thermisch am unbeständigsten und somit am leichtesten spaltbar, während sich die Aromaten durch eine verhältnismäßig große thermische Beständigkeit auszeichnen. Von dem eingesetzten Decen und Ceten konnten keine sennenswerten Mengen unverändert zurückerhalten werden. Die olefinischen Kohlenwasserstoffe werden praktisch völlig umgesetzt, wobei zum allergrößten Teil tiefersiedende Spaltprodukte gebildet werden.

Die Paraffine sind schwerer spaltbar als die Olefine, mit zunehmender Kettenlänge nimmt die thermische Beständigkeit ab. Die verzweigten Paraffine neigen leichter zum Zerfall als die geradkettigen mit gleicher Kohlenstoffzahl.

Gut spaltbar sind die naphthenischen Kohlenwasserstoffe. Die bicyclischen Naphthene werden zum größten Teil aufgespalten, während sich die monocyclischen 6-Ringe zu den entsprechenden 5-Ringnaphthenen isomerisieren. Gleichzeitig tritt auch eine Ringsprengung ein. Der Spaltungsgrad wird bei bicyclischen Naphthenen durch die Art der Ringverknüpfung beeinflußt. So spaltet das Dicyclohexyl praktisch vollständig, während das Dekalin nur zu 75 % umgesetzt wird.

Die aromatischen Kohlenwasserstoffe sind im allgemeinen schlecht spaltbar. Methylsubstituierte Verbindungen neigen leicht zu Polymerisationsreaktionen, wobei die primär abgespaltenen Methylgruppen alkylierend wirken. Sehr häufig tritt auch eine starke Disproportionierung ein. So entstehen z. B. aus Durol (1,2,4,5-Tetramethylbensol) hauptsächlich Tri- und Pentamethylbensol. Die Gasbildung ist beim Spalten methylsubstituierter Aromaten nur unwesentlich, dagegen ist der Anteil an höhersiedenden Polymerisationsprodukten ziemlich beträchtlich. Wird aber der aromatische Charakter eines Kohlenwasserstoffes durch die Einführung einer paraffinischen Seitenkette gestört, verliert die Verbindung zum Teil ihre thermische Beständigkeit und neigt leichter zum Zerfall. So erweist sich das iso-Amylbenzol als äußerst leicht spaltbar, da die Verknüpfung der Seitenkette mit dem aromatischen Kern nur eine sehr lockere ist. Auch beim Tetralin ist die Tendenz zum Zerfall viel ausgeprägter als beim & -Methylnaphthalin. Besonders stark ist der Unterschied in der Spaltbarkeit zwischen dem Diphenyl und dem Diphenylmethan. Das Diphenyl ist thermisch äußerst beständig, während schon durch die Anwesenheit einer Methylenbrücke eine praktisch vollständige Aufspaltung erreicht wird. Hinsichtlich der "Produktverteilung" ist zu sagen, daß die olefinischen Kohlenwasserstoffe eine hohe Gasbildung aufweisen; die leicht spaltbaren naphthenischen Verbindungen zeichnen sich dagegen durch eine mäßige Vergasung aus . Eine Erklärung für die Tatsache ist in der Beständigkeit des Ringes gegen eine direkte Aufsprengung zu suchen. Infolgedessen wird die Bildung kurzkettiger Spaltstücke nicht so begünstigt.

Betrachtet man den Aromatengehalt der einselnen Krackbenzine, dann ergibt sich, daß die naphthenischen Kohlenwasserstoffe etwa doppelt so viel Aromaten im Bensinsiedebereich bilden wie die paraffinischen und olefinischen. Bei den letzteren erfolgt die Aromatenbildung nur durch Cyclisierungsreaktionen, welche energetisch nicht so begünstigt werden wie die Dehydrierung der Hydroaromaten, die unter den gewählten Versuchsbedingungen ziemlich leicht verläuft. Die leicht spaltbaren aromatischen Kohlenwasserstoffe, wie z. B. das iso-Amylbenzol, liefern ebenfalls aromatenreiche Benzine infolge der schon erwähnten thermischen Beständigkeit des Benzolringes.

Der Clefingehalt der Krackbenzine hängt ebenfalls stark von der Konstitution des eingesetzten Kohlenwasserstoffs ab; er nimmt in folgender Reihenfolge zu: Aromaten, Naphthene, Paraffine, Clefine. Die Aromaten ergeben den geringsten Clefingehalt im Benzin, wobei vorausgesetzt wird, daß der zu spaltende Kohlenwasserstoff keine längeren paraffinischen Seitenketten enthält. Besonders groß

ist der Gehalt des Krackbensins an ungesättigten Verbindungen, wenn man ein reines Olefin krackt. Naphthene sind nur dann im Krackbensin ansutreffen, wenn der zu spaltende Kohlenwasserstoff bereits naphthenischen Charakter besitst. Eine nennenswerte Neubildung an Naphthenen tritt nicht ein.

Zur Koksabscheidung ist zu sagen, daß mit zunehmender Spaltbarkeit auch die Koksbildung ansteigt. Etwas höhere Kokswerte geben die Olefine, während die Raphthene eine verhältnismäßig geringe Koksbildung aufweisen. Bei den aromatischen Kohlenwasserstoffen hängt sie stark von der Konstitution ab. So ergibt das Diphenylmethan ca. 10 % Koks (bez. auf Einspr.) auf dem Kontakt. withrend z. B. das iso-Amylbenzol und Xylol nur etwa 2 % bilden. Da die Aromaten sehr leicht zu Polymerisationsreaktionen neigen, entstehen besonders bei bicyclischen Verbindungen 🕮 wie am Beispiel des K-Methylnaphthalins ersichtlich ist - aus mehreren Benzolringen bestehende Ringsysteme, die infolge ihrer hohen Siedepunkte bei Kracktemperatur in flüssiger Phase vorliegen und vom Kontakt absorbiert werden. Sie werden dann bei der Regeneration als Koks bestimmt

Der hohe Anteil der Krackprodukte an verzweigten Kohlenwasserstoffen läßt die starke isomerisierende Wirkung des Kontaktes erkennen. Unter den verzweigten paraffinischen Kohlenwasserstoffen nehmen die monomethylverzweigten Verbindungen einen bevorzugten Platz ein. Besonders bemerkenswert ist die hohe iso-Butanbildung. Der Anteil des i-Butans am Gesamtbutan beträgt nach den vorliegenden Versuchsergebnissen ca. 80 %. Zu etwa dem gleichen Ergebnis kommt J. R. Bates!) bei der Untersuchung über die Zusammensetzung katalytischer Krackbenzine bei einer Reaktionstemperatur von 427°C. Er findet für den i-Butangehalt 85 %. Die von Rossiniaus der Freien Energie berechneten Werte ergeben, daß im Gleichgewicht bei 427°C nur 38 % i-Butan vorhanden sind. Setzt man voraus, daß die von Rossini angegebenen Werte stimmen. dann könnte man die starke Abweichung vom theoretischen Gleichgewicht wohl so erklären, daß der Spaltung eine Isomerisierung vorausgeht, sodaß hauptsächlich i-Butan abgespalten wird. Das Verhältnis i-Pentan zu Gesamtpentan beträgt aufgrund der vorliegenden Versuchsdaten durchschnittlich 0,9. Diese Zahl deckt sich mit den Angaben von J. R. Bates; der theoretische Wert liegt nach Rossini bei 0.7. Auch die Tatsache, daß von den gesamten Hexanen das 2-Methylpentan in bevorzugtem Maße gebildet wird, stimmt mit den Ergebnissen der oben genannten Autoren überein. Das 2,2-Dimethylbutan ist nur selten in nennenswerten Mengen im Krackbenzin zu finden. Theoretischen Gleichgewichtsberechnungen zufolge müßte der Anteil an der gesamten Hexanfraktion 20 Mol% betragen. In den katalytischen Krackbenzinen überwiegen die verzweigten Verbindungen, im thermischen Krackbenzin nehmen die geradkettigen einen bevorzugten Platz ein.

I) Zusammenfassung

Folgende Kohlenwasserstoffe wurden hergestellt und über dem Kontakt 3248 eines katalytischen Spaltung unterworfen:

- 17 -

n-Dekan n-Heptadekan i-Dodekan

n-Degen n-Ceten

Xylol Durol 1so-Amylbenzol Diphenyl.

Diphenylmethan -Methylnaphthalin Tetralin

iso-Amyleyolohexan Dicyclohexyl Dicyclohexylmethan

Dekalin

Die Krackprodukte der einzelnen Kohlenwasserstoffe wurden weitgehend analysiert, sodaß nahezu sämtliche bei der Spaltung gebildeten Kohlenwasserstoffe möglichst einzeln und quantitativ erfaßt wurden. Aus den sahlreichen Einzeldaten (Tabellen, Kurven) wurde jeweils ein Bild von dem Reaktionsmechanismus gegeben. Die Spaltergebnisse der gewählten Ausgangsstoffe wurden sinngemäß miteinander verglichen. Auf diese Weise konnten neue Erkenntnisse über den Verlauf der Aufspaltung beim Prozeß des katalytischen Krackens sowie insbesondere über den Einfluß der Ausgangsprodukte gewonnen werden.

Herrn Dir. Dr. Bütefisch Dir. Dr. Herold

HBS 3 x AWP 2 x

Herrn Dr. Kaufmann

Dr. Welz Dr. Hartmann

Dr. Weise

¹⁾ Composition of Catalytically Cracked Casolines J. R. Bates, F. W. Rose Jr. Ind. Eng. Chem. Vol. 34, Nr. 2

²⁾ Rossini, Am. Chem. Soc. 62, 2250 (1940) Rossini, Research Natl.Bur. Standards, 27, 529 (1941)

Tabelle 1

	-	E	rackp	rodukte in Gew. (bes. auf Einepr.)) ,		
Siedeber	eich			Kohlenwasserstoff	Ole- fine	Aro- maten	Par- affine
13,2	H2	0,1		Vasserstoff			0,1
••	01	0,1		Methan			0,1
a and Empire and particular con-	C ₂	0,3		Ithan und Ithylen	O. 1	Alantari manakali az 11 sutti Albente	0,2
	G3	4,3	1,0	Propan Propylen	1,0		3,3
aga an garagan da kata ay	C4	8,4	5,	n-Buten 1-Buten Butylene	0,8	and the second s	7,6
	C 5	5,3	4,2	n-Penten 1-Pentan Pentene	0,6		4,7
	C 6	4,0	0,9 0,1 0,7	n-Hexan (Spuren Methylcyclopentan 2-Methylpentan 3-Methylpentan Dimethylbutane Hexene (vorwiegend Methylpentene) Benzol	0.7	0,1	3,2
	G 7	1,2	0,6 <0,1 0,5	0,6 Heptane 0,1 Heptene 0,5 Toluol	<0,1	0,5	0,6
alza e	G8	1,0		Oktane + ca. 10 % Oktene. Xylole, Athylbenzol (vorwiegend Xylole)		. 0,9	0,8
	G9	0,6	0,1	Nonane Nonene Alkylierte Benzole < 173°	0,1	0,3	0,2
	610	1,0		Methylnonane Decene	⟨0,1		0,9
173 - 174•	610	67,5		a-Dekan			67,5
74 - 280		3,9		vorwiegend Paraffine		1,4	2,5
> 280°		0,6		Aromaten + Paraffine		0,3	0,3
		1,7		Koka			
		100,0			3,5	3.5	91,3

Tabelle 2 n-Heptadekan

jiedobereiek			Kohlenwasserstoff	Ole- fine	Aro- maten	Par- affin
W # 25	CO, 1		Vasserstoff			0,1
61	0,3		Mothan			0,3
G2	0,5		Ithan + 20 \$ Ithylen	0,1		0,4
on o yel stress area from 03 4	5.4	2,9	Propen Remains a supplies the second of the second Propyles	2,5	valikvonemen in energise	amirinan 2 kg 9
8	14,2	8,9 3,4	a-Juten 1-Buten Butylene	3.4	aleman areas ang	10,8
A G	10,5	7 5.5	i-Postan Pentono	3.1		6,9
6.5	6,,	2,6 0,8 0,8	Heren (wenig Methylcycleyenten) 2-Methylpenten 3-Methylpenten bimethylbutame Rexene	1,5		5,0
	3.3	0,8 1,4 0,5 0,9	Monomethylhexane i-Heptane Heptene (vorwiegend Monomethylhexene) Toluol (wenig Bensol)	0,9	0,5	2,1
Y Gs	2,6	0,4	Oktone (vorwiegend versweigt) Oktone (vorwiegend versweigt) Cylole, wanig Ithylbensol	. 0 , 4	1,1	1,1
	2,6	008	Yonane (vorwiegend versweigt) Nonene (* * * * * * * * * * * * * * * * * * *	2,0	1.9	0,5
G10/G11	0,9	00 g	Clefine (0,4		0,5
5 - 3009	9.7		vorwiegend Paraffine	6,0	2,6	6.9
0 = 310° 64°	33,0		Heptadekan			33,0
> 310*	4,2		Polymerisationsprodukte			
	6,4		Loks			
	100,0			13,2	. 5,9	70,3

Tabelle 3

	-				i		
•	<u>. 1</u>	3	Kracky	produkte in Gewof (Einspr 100)	,	,	
Siedeb	ereich			Kohlenwasserstoff	Ole- fine	Aro- maten	Par- affix
22,6	112	(0,1		Wasserstoff		·	€ 0,1
. 5	64	40,1		Methan			< 0,1
**	G2	0,5		Athan + Spuren Athylen			0,5
förmig	03	4,6	2,	Propylen	2,6		2,0
	64	17.3		10-Rusan	4,2		13,1
	05	6,9	0,4 5,1 1,4	n-Pentan 1-Pentan Pentene	1,4		5,
26.1	e 6	4,5	0,1 2,3 1,1 1,0	A-Mesan 2-Methylpentan 3-Methylpentan Hexena Bensol in Spuren	1,0	Spurez	.3.
185	07	2,7	1,5 0,6 0,8	Mono-Mathylherane (ca. 10 % Dimethyl pentama Heptene (vorwiegend versweigt) Toluol	0,6	0,8	
TA Y	C8	3,0	9,49	Oktone (" ") Lylole, wenig Ithylbensol	0,4	1,1	1,
	09/010	2,3	0,6	Honard/Edware vorwiegend Honene/Deceme versweigt Trimethylbemsole, Lthyltolucle, wenig Propylbemsol	0,1	1,6	0,9
172 -	1859	6,7		vorwiegerd Paraffine	. 0,1	1,6	5,0
185 =	1960	38,5		1so-Dodekan	7.		30 ,
196 -	2300	5,8		vorwiegend Paraffine	⟨0,1	1,5	40
230 =	330•	2,4		Aromatem + Paraffine	€0,1	1,2	1,
		4,6		Koks		_	
		100,0			-10,6	7,8	77,0

Redelle 4

Siedeb	ereich			Kohlenwasserstoff	fine	Area matem	affin
: ****	H ₂	0,1		Wasserstoff			0,1
203	C1	0,3		Methan			0,3
* *	CS	0,6		Athan + Ithylen .	.0,1		0,5
gesförmig	03	6,5	2,1 4,4	Propen Propylen	404		2,1
88	C4	20,6	1,6 9,1 9,9	n-Butan i-Butan Butylene	9,9		10,7
1	C5	19,2	1,3 9,0	n-Pentan i-Pentan Pentene	8,9		10,3
199	86	15.4	1,1 4,0 2,1 1,2 6,8 0,2	n-Hexan (Spuren Methylcyclopentan) 2-Methylpentan 3-Methylpentan Dimethylbutane Hexene Bensol	6,8	0,2	8,4
× 166• 8		4.4	0,1 2,0 1,9	n-Reptan iso-Reptane (ca. 70 % Monomethyl- hexane) Heptene (vorwiegend Monomethyl- hexene) Toluol	1,9	0,4	2,1
Benzin	Ca	2,6	0,8 0,5 1,3	Ortane (vorwiegend versweigt) Oktone (**) Vylole (es. 5 % Ithylbensol)	0,5	9,3	0,9
	09/10	6,5	4, 1 1, 4 1, 0	Honane/Dekane Honane/Desene Propylbensole, Ithyltolucle, Trimethylbensole	9,4	900	4,3
166	- 175•	3,1		vorwiegend Paraffine	0,1	0,8	2,2
175	- 200•	9,5		Paraffine mehrfach alkylierte Bensole	0,3	3.4	5,8
200	- 330°	5,9		vorwiegend Aromaten	0,1	30	2,2
		5,3		Koks			
		100,0			34.4	10,7	49,6

Tabelle 5

	***************************************	T-10-1-1-1-1-1-1-1-1-1-1-1-1-1-1-1-1-1-1		1	ckprodukte in Gew.% (Einspr 100)			
Sied	ebere	ich		<u> </u>	Kohlenwasserstoff	Ole- fine		Par-
0,6	1	H ₂	<0,1		Wasserstoff			< 0,1
1 28		09	0,7		Methan			0,7
oje		C2	1,1	0,7		0,4		0,7
gaaförmig	•	03	6,9	1,7	Propan	5,2		9,7
න න ක	•	C4	19,2	2,5 5,9	n-Butan i-Butan	10,8		8,4
		05	15,4	10,8 1,3 7,2	n-Pentan			, 0 94
		'	1294	6,9		6,9		8,5
		C6 ·	12,1	4,2 2,0	2-Methylpentan 3-Methylpentan	4,4		7,7
51,4	-			0,4	Dime thylbutane Hexene	7,7		191
1850 8		67	7,2	1,2 3,1 2,3 0,6	n-Heptan 2(3)-Methylhexane Heptene (vorwiegend Monomethylhexene Toluol	2,3	.0,6	4,3
Benzin < 185º	•	C8	6,5	2,7 1,2 2,6	Oktane (vorwiegend verzweigt) Oktene (" ") Xylole, wenig Äthylbenzol	1,2	2,6	2,7
		C 9	5,4	2,3 0,6 2,5	Nonane (vorwiegend verzweigt) Nonene (" ") Propylbenzole, Trimethylbenzole, Äthyltoluole	0,6	2,5	2,3
¥	. :	G 10	2,5	2,3 0,2	Dekame (vorwiegend verzweigt) Deceme	0,2		2,3
165 =	1850		2,3		Aromaten, Paraffine	0,1	1,7	0,5
185 -	2700		9,5		Aromaten, Paraffine	0,2	4,0	5,3
270 =	2880		4,9		vorwiegend Paraffine	·	0,9	4,0
. >	288*	-	1,8		Paraffine + Aromaten	0,2	0,9	0,7
			4,4		Koks			•
	- · · ·		100,0			32,5	13,2	49,9

Tabelle 6

iso-Amylbenzol

Siedebere	ich			Kohlenwasserstoff	Ole-fine	Aro maten	Par
•	H ₂	0,1		Wassaratoff			0,1
2°0	Cq	9,3		Methan			0,3
80	Ç2	0,4	, X.	Athan + wenig Athylen	<0,1		0,3
gasförmig	03	1,8	0,6	Propag Propygen	0,6		1,2
88	64	5,0	0.7	n-Butan i-Butan Butylene	9,7		4.3
	C 5	21,7	5.3	n-Pentan i-Pentan Pentan	5,3		16,4
6663	°6	32,9	0,6 0,4 0,1 0,3 31,5	2(3)-Methylpentane Dimethylbutane n-Hexan Hexane Benzol	0,3	31,5	1,1
1910	C7	3,4	0,8	Haptane vorwiegend verzweigt	0,2	2,4	0,8
Benzin <	C8	4,0	.0,6	Oktane (vorwiegend verzweigt)		3,4	0,6
Å	C9/40	7,9	0,3 7,6	Noname + Dekame (mehrfach alkylierte Bensole von (145 - 1910 (Olefime im Spurem		7,6	0,3
191 - 200		8,3		iso-Amylbenzole		8,3	
200 - 240		4,5		vorwiegend Aromaten		4,6	
2 40 - 260°		2,5		ca. 80 \$ 8-Methylaaphthalin		2,5	
260 - 3609		3,6		z. T. sehrfach alkylierte Naphthali	10	3,6	
> 360 °		1,2		Aromaten (kondensierte Ringsysteme)		1,3	
		2,2		Koks			
		100,0			7,8	65,8	25,4

o-Mothy luaph thalin

	Krackprodukte in Gow. Z (Einspritzung - 100)												
H2 C1. 4C5	< 240° (Aromaten)	Mothyl- naphthaline	Höhersie- denda Poly- meriaations- produkte+	Koks									
0,6	3 _v 3	76,4	15,0	4.7									

⁺⁾Die Fraktion enthält Dimethylnaphthaline und B,B'-Dinaphthyl

Tabelle 8

Diphonylmethan

					spritzung 🕶			,
< 80° (C1 - C6) Benzol	Toluol	Xylole, Athyl- benzol	140 = 200° vorwiegend Arometen	200 - 250° (B-Methyl- naphthalin)	Diphenyl- methan	>2709 (Anthra- cen)	Koka
1,6	51,0	19,7	3,7	4,8	5,1	2,2	1,3	10,6

Tabelle 9

Durol

		Krackproduk	te in Gew	% (Eine)	or. = 100)		
H2 C4 - C4	Toluch + Xylole (vorwiegd. Xylole)	Trimethyl- benzole ca. 90 \$ Pseudocumol	Durol + i-Durol	Preb= nitol	Penta- methyl- benzol	Hexa- methyl- benzol	Koks
ca. 0,1	3,0	21,8	50,2	3,6	12,8	5,4	3,1

Tabelle 10

Xylol

	Krac	ekyrodul	cte in	Gew. (Einsp	r. = 100)	
H2 C4 - C5	Benzol	Toluol	Zylole	Trinethyl- beazole	> 1750	Koks
1,8	1,3	8,5	69,95	14,3	2,5	2,1

前部等作用

Tabello 11

Tetralin

	•		•	Kraok	produkte in Gew % (Einspr 100)				
्रा	edeber	e i sh	, , , , , , , , , , , , , , , , , , ,		Kohlenwasserstoff	Ole- fine	Aro	Par- affine	Naph- thene
	1	Н2	(0,1		Wasserstoff			0,1	
•		C1/ C2	0,5		Methan + Athan			0,5	
		03	1,0	0,9	Propan Propylen	0,1		0,9	
		C4	2,9	1,1	n-Butan i-Butan	0,3		2,6	
	^	C 5	0,6	0,4	Pentane (vorwiegend verzweigt) Pentene	0,1		0,4	0,1
		C6	8,2	0,4	(Methylpentane (Dimethylbutane u. Hexene in Spure Methylcyclopentan Cyclohexan	Spuren		0,4	1,8
		c ₇	2,6	0,3 0,4	Heptane, sehr wenig Heptene	Spuren	1,9	0,3	0,4
		C 8	3,2		Oktane + Spuren Oktene (alkylierte 5- u. 6-Ring-Naphthene ((100 - 144°)	Spuren	2,7	0,2	0,3
	The state of the s	C 9	0,6	0.2	(Naphthene (144 - 160°) u. Spuren (Olefine + Paraffine	1	0,4	Spuren	0,2
	160 -	180°	2,2		Aromaten + Naphthene Paraffine u. Olefine in Spuren	Spuren	1,5	Spuren	0,7
	180 -	1900	17,9		Alkylierte Benzole (Diäthylben- zole, Dimethyläthylbenzole)		17,9	c.	
	190 -	200°	1,6		vermutlich Tetramethylbenzol	į.	1,6		
	200 -	2106	18,3		vorwiegend Tetralin (durch Naphthalin verunreinigt)		18,3		
	2 in Chapters of N. C.		26,7		Naphthalin		26,7		
	· CMC-MARK	2100	12,3		Naphthalin, Naphthalinhomologe, höhersiedende Aromaten		12,3	- :	
	September 1995		1,3	,	Koks				
	SHOWN TO THE REAL PROPERTY OF THE PERSON OF		100,0			ca.0,5	89,3	5,4	3,5

nsc-Amyloyalohexan

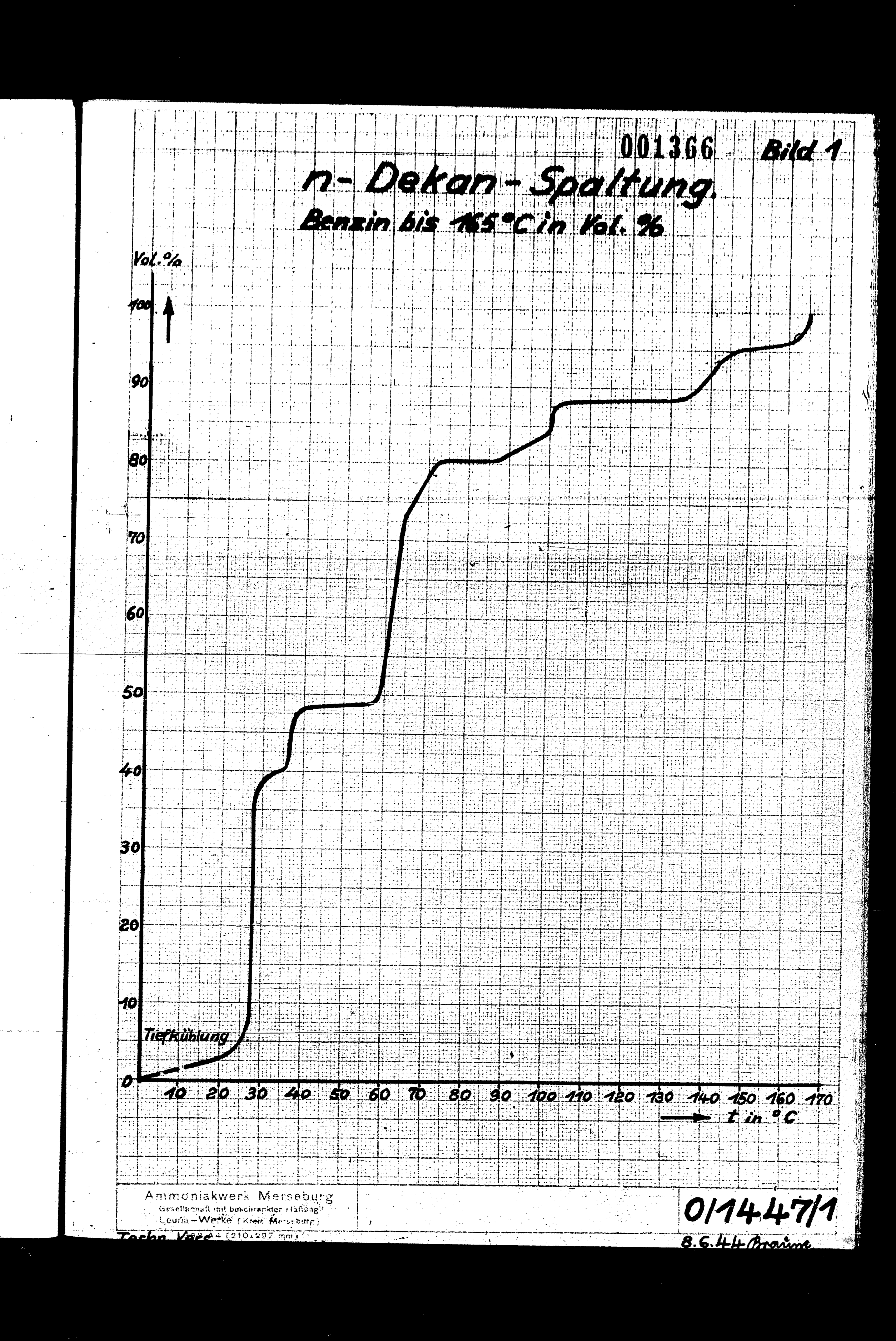
				K	Trackprodukte in Gew. % (Elispr 10	·			;
;	edeberei	lch			Kohlemwassors %of #	•	Aro- matem	Par-	Naph- thens
.•		H2	<0,1	- Mi	Wasserstoff			0,1	
		C1	0,2		Methan		•	0,2	
	•	02	0,5	0,2 0,3	Athylen Athylen	0,3		O ⁵ &	
	; ;	03	3,6	2,8	Propan	1,0		2,5	
	•	C4	13,4	904	n-Butan 1-Butan	0,8	e e	12,6	
11		C5	9,6	144	n-Bentan 1-Pentan Pentan	0,7		9,1	
	entre de la constante de la co			1,6	3-Methylpentan				
		C6	8,0	0,5 0,4 4,0	Dimethylbutane Remeas (vorwiegend verzweigt) Methylcyclopentan	0,4	0,5	2,8	4,3
<u>+</u>				0,3 0,5 0,8	Heptane				
		C7	11,5	0,5 5,8 3,0	(Gemisch von Dimethylcyclopentan;	0,5	£ , 4	0,8	8,8
	•	C8	6,7	1.4 0.6 0.7 1.7 3.7	Oktabe Oktabe Oktabe Oktabe Oktabe (alkylierte 5 - 4 6-Ring-Naphthene (110 = 140°)	0,7	307	0,6	7,7
		C 9	2,6	051	Nonene	0,1	. 2,3		0,2
	170 =	1950	8,0	0,1 5,5 2,4		0,1	2,4		5,5
	195 -	1980	17,3		iso-Amyleyelohexan				17,3
45.	198 =	2200	11,8		vorwiegend Naphthene		2,6		9,2
The control of the co	220 =	300°	3,3		vorwiegend Aromaten (alkylierts Naphthaline)		2,6		0,7
100 market par		>300°	1,1		Aromaten		1,9		
*Proposition of			2,1		Koks				
			100,0			4,6	16,6	29,0	47.7

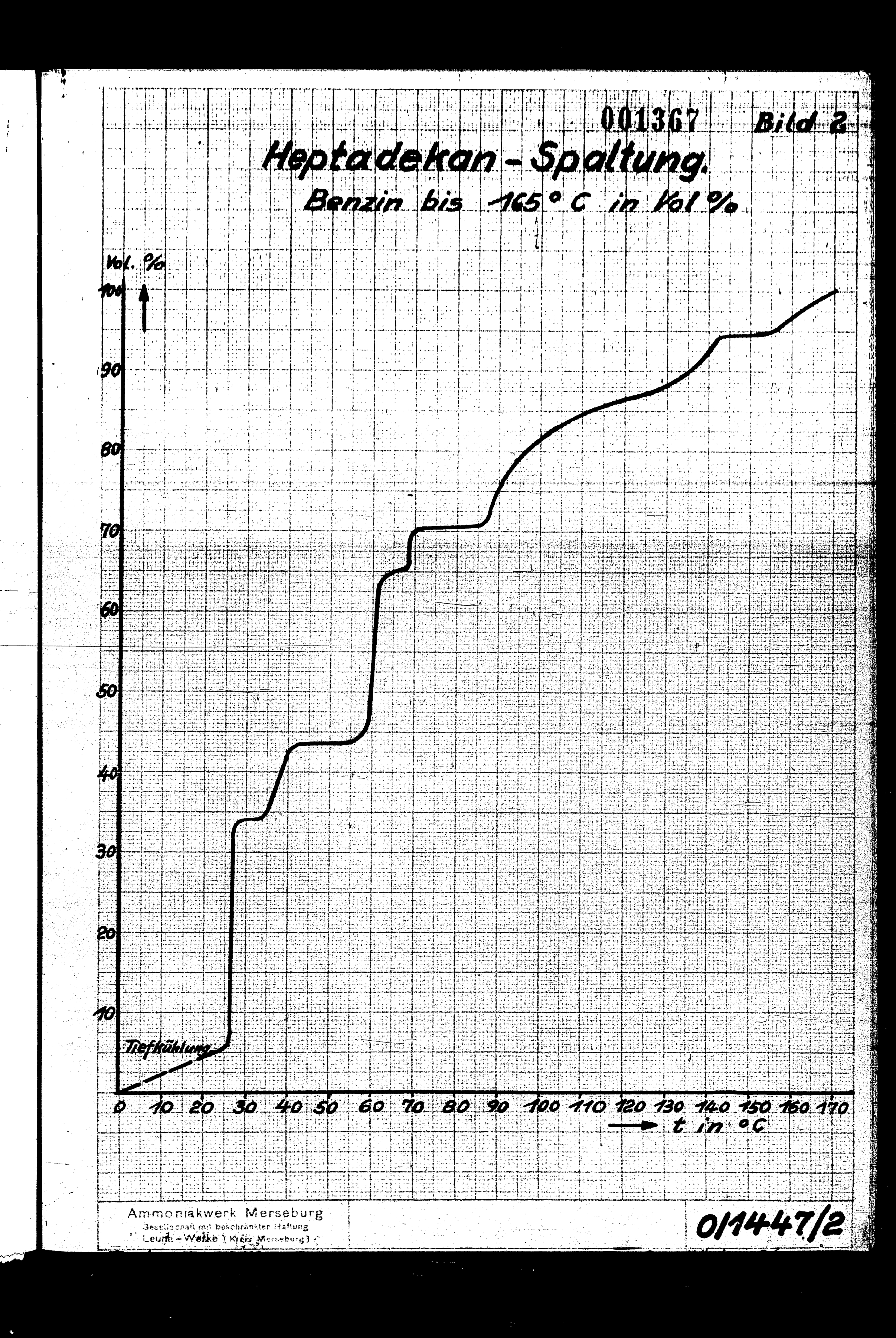
iedebe	reich			Kohlenwasserstoff	Í	Aro maten	Par- affine	Naph thene
	H2	Q ₂ 1		Wasserstoff	1		Oşi	
14,6	Cı	0,2		Methan		No.	0,2	,
•••	C ₂	0,5		Athan, Athylen in Spuren	۲°, ۵۰		0,4	
rnis	СЗ	3,4	2,7	Propan Propylen	0,7		2.7	
gasförmig	C4	10,4	1,9 8,0 0,5	n-Butan i-Butan Butylene	0,5		9,9	
A	c ₅	6,7	0,3 5,3 0,1	n-Pentan i-Pentan Pentene Cyclopentan	0,1		5,6	1,0
			0,7 2,2 0,7	n-Hexan Methylpentane (vorwiegd, 2-M.) Dimethylbutane				
	C6	16,9	0,2 11,4 0,7 1,0	Hexene Methylcyclopentan Cyclohexan Benzol	0,2	1,0	3,6	12,1
57,7	C7	10,9	0,8 0,4 5,1 2,5	Dimethylcyclopentane (Gemisch von 1,2-Dimethylcyclo- (pentan + Äthylcyclopentan + (Methylcyclobexan Toluol	0,4	2,1	0,8	7,6
n < 185° ;	C8	12,9	0,7 0,3 5,3 6,6		0,3	6,6	0,7	5,3
Benzin	C 9/10	10,3	0,4 1,3 0,4 6,6	Clefine + Paraffine (1 : 1) Naphthene (140 - 165°)	0,2	8,2	0,2	1,7
85 - 2	230•	10,4	1	vorwiegend Aromaten	0,2	8,0		2,2
30 = 3	2400	6,4	·	Aromaten + Naphthene		3,2	•	3,2
40 2	2600	3,0	1.2	vorwiegend Aromaten		2,3		0,7
60 -	330°	6,1		vorwiegend Aromaten	0,2	4,6		1,3
>	330°	1,0	Marine Barrer J. Jones House	Aromaten	:	1,0		
		0,8		Koks.			·	
	, , , , , , , , , , , , , , , , , , ,	100,0	-,		2,9	37,0	24,2	35,1

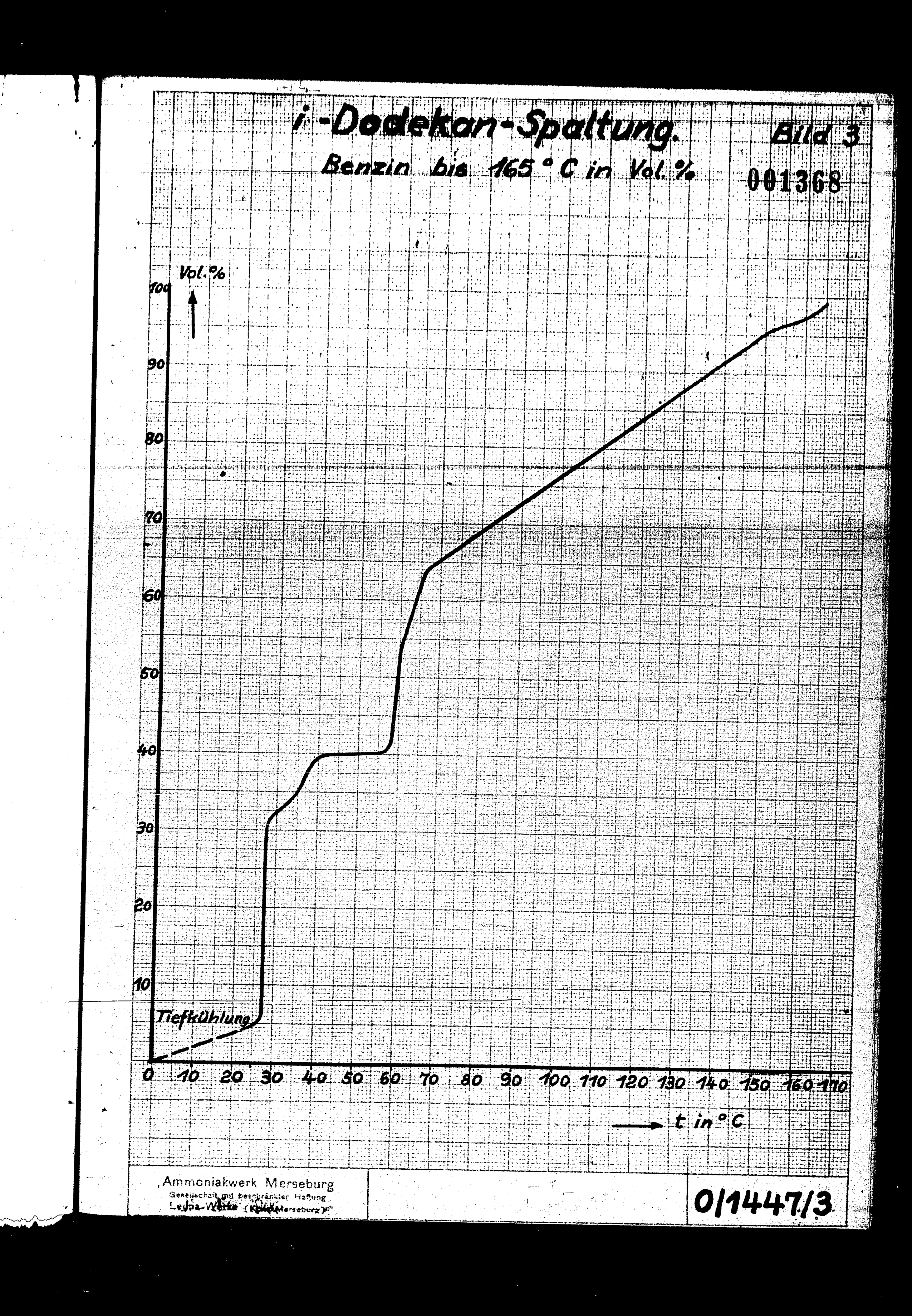
### Acceptance Franchister											
Right-onescent Right-onescent Clay Section Affiliate Clay Section Affiliate Clay	,					Krack	produkte in Gew. % (Edr. pr. = 100))			
Note			1	edebereich				01e		Par- affine	Naph-
02 0.5 0.6 Mittan 0.6 0.3			_. ,	H ₂			Wasserstoff				
0				4 C1	0,1		Methan			0,1	
1				C ₂	0,9	•	1	0.6		0,,3	
0.4 9.2 0.5 3.5 Marcha 0.6 9.6 9.6				년 		2,9	Propan		 		
C5 G,2 D,4 D,4 D,4		And the second s	t	9		1390		7,0		297	
C5 6,2 C,3 Parkens C,2 S,1 C,8		· · ·		& C4	9,2	6,9	jButan Butylene	0,6		8,6	
0.8 Cyriopentan 2.2 Painthy implican 2.3 Dimethy implican 2.3 Dimethy implication 2.4 Dimethy implicant 2.5 Dimethy implicant			•	C5	6,2			0.3		5.1	0.8
2,0 2-delay pustana 0,6 14 0,6 14 0,6 14 0,6 14 0,7 14 0,7 14 0,7 14 14 14 14 14 14 14 1	en de la composition de la composition Composition de la composition de la co	energy to the control of the control				0,8	Cyclopentan				1.1
Column	e de la companya del companya de la companya del companya de la co					2,2	2-Methylpentan				
11,1 Nextone 0,1 0,2 3,6 11,9 11,1 0,8						0 0					
Open					16,0	0,1	Hexene	0,1	0,2	3,8	11,9
16.9 16.9					***						
16,9 7.9 16,9 7.9 16,7 7.9 7.9 16,7 7.9						0,2	Benzol.				
16,9						, · · · · · · · · · · · · · · · · · · ·	Heptane (vorwiegd, 1-fach verzy	<i>y</i> 。)		:	
(Gentlach von 1.2 Dimethyloy				0.0	16.0	7 0	Dimethyloyolopentane				
Can Mothylogolchexan Column Col			•	67	16,9		(Gemisch von 1,2 Dimethyley	0,3	1,4	1,1	14,1
1.4 Tolus				G		6,2					L.
C9/10 11.4 4.7 (Athyllocity Van Jonathylocity Va				000		1 . 4					· · · · · · · · · · · · · · · · · · ·
Companies Comp				•0		1					
Color State Converted Color State		****		0		0,5					
(c)copentans u. Dimethylcyclo- (herane) Strylbenzol Aylole (ca. 80 % m + p) 2.0		/ 4.		© C8	10,1	5,3	(thens (vorwiegd Trimethylcy-	0,3	4,3	0,2	5,3
C9/10 11.4 3.7				V			(clopentans u. Dimethyloyclo-	1			,
3.5 Xylole (ca. 80 % m + p)				121							
C9/10				В е <u>г</u>		3,5	Xylole (ca. 80 % m + p)	,			
C9/10 11,4 4,7 (Gemisch von Frepylbenzel, (0,1 5,9 Spuren 5,4 (Athyltolucl u. Trimethylbenzel) (0,1 5,9 Spuren 5,4 Naputhena) 170 185% Aromaten Spuren 3.1 5,0 1,7 Aromaten und Raghthenen Spuren 3.1 5,0 1,7 nen und Raghthenen 2,6 4,8 50 - 275° 2,2 vonwiegend Aromaten 1,8 0,4 > 275° 4,0 Aromaten 4,0 Aromaten 4,0 100,0 100,0 3,1 23,3 27,2 44,4											·
3,7 3,8 3,8 3,9 3,9 3,4 3,1 3,2 3,4 3,2 3,2 3,4 3,2 3,2 3,4 3,2 3,2 3,4 3,2 3,2 3,2 3,2 3,2 3,2 3,2 3,2 3,2 3,2 3,2 3,2 3,2 3,2 3,4 3,2 3,2 3,4 3,2 3,4 3,2 3,4 3,4 3,2 3,4		_ · · · · ·		22.	6.0.0	1	(Gemisch von Propylbenzol.				
1,2 Aromaten) 10 (8) 85 - 235° 9,8 Gemisch von Aromaten, Faraffi spuren 3,1 5,0 1,7 35 - 250° 7,94 Naphthenen 2,6 4,8 50 - 275° 2,2 Vonwiegend Aromaten 1,8 0,4 > 275° 4,0 Aromaten 4,0 2,0 koks 1 100,0 3,1 23,3 27,2 44,4				69/10	11,4	49!	(Athyltolucl u. Trimethylbenzol	(0,1	5,9	Spuren	5,4
1985 - 235° 9,8 Gemisch von Aromaten, Faraffi Spuren 3.1 5,0 1,7											
100,0 1,04 Naphthene Aromaten 2,6 4,8		~ 4	• 1	85 - 2350	Q P		Gemisch von Aromaten, Paraffi-	Spring n	2 1	F 0	4 7
250 - 275° 2.2 vorwlegend Aromaten 1.8 0.4 > 275° 4.0 Aromaten 4.0 2.0 Koks 1 100.0 3,1 23,3 27,2 44,4	•						nea und Naphthenen	Spuren	2,1	٥٩٥	19/
100,0 1,8 0,4				2500	7,4		Naphthene + Acomatem		2,6		4,8
2,0 Koks 1 100,0 3,1 23,3 27,2 44,4		·		50 - 275°	2,2		vonwiegend Aromaten		1,8		0,4
100,0				> 275°	4,0		Aromates		4,0		
100,0		••		,	2,0		KOKS			ricorden Ericitetini ingen	
					100,0		1 · ·	3.1	23.3	27.2	44.4
					, , ,			,		-	(; PT ,

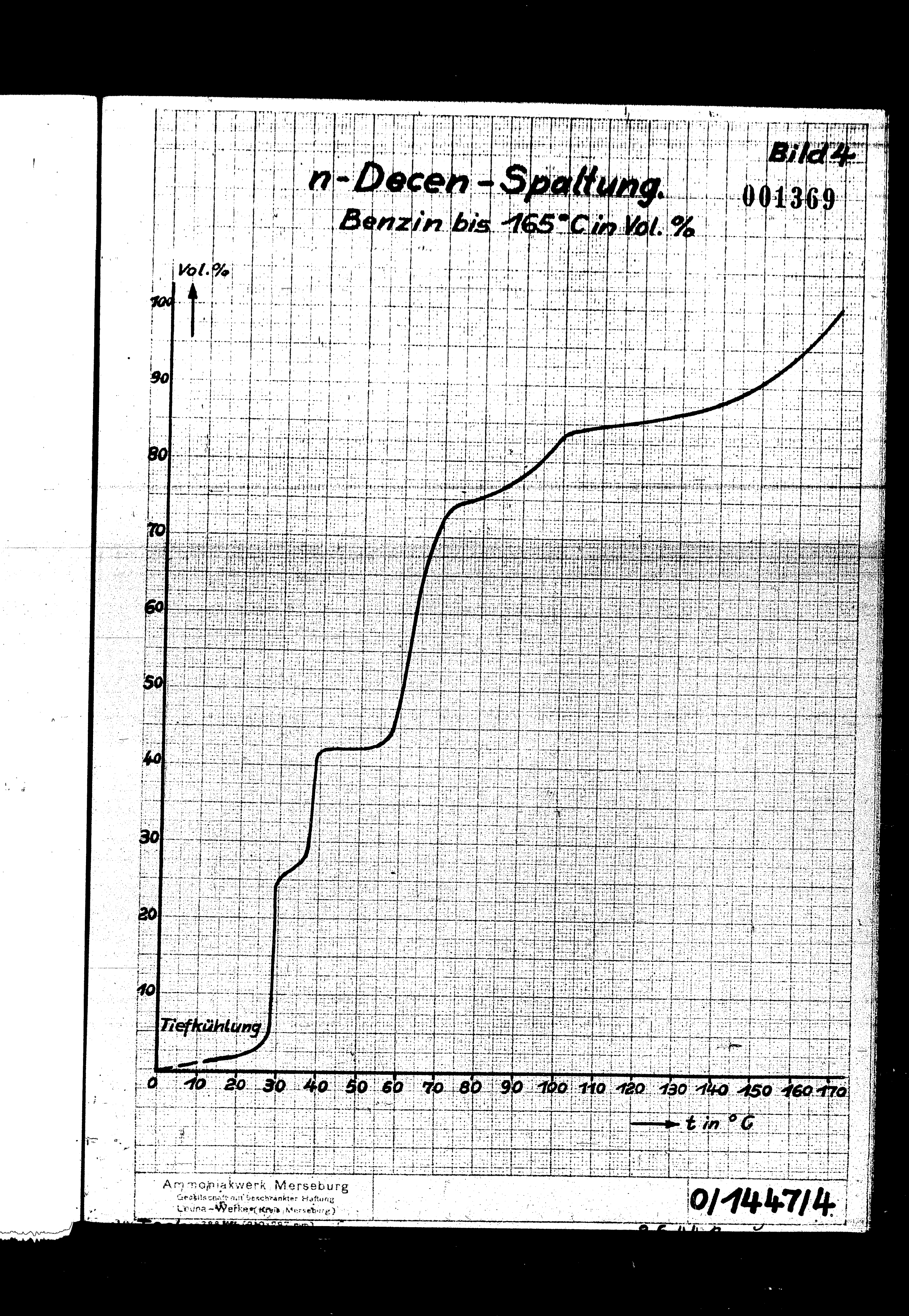
<u>Dokalin</u>

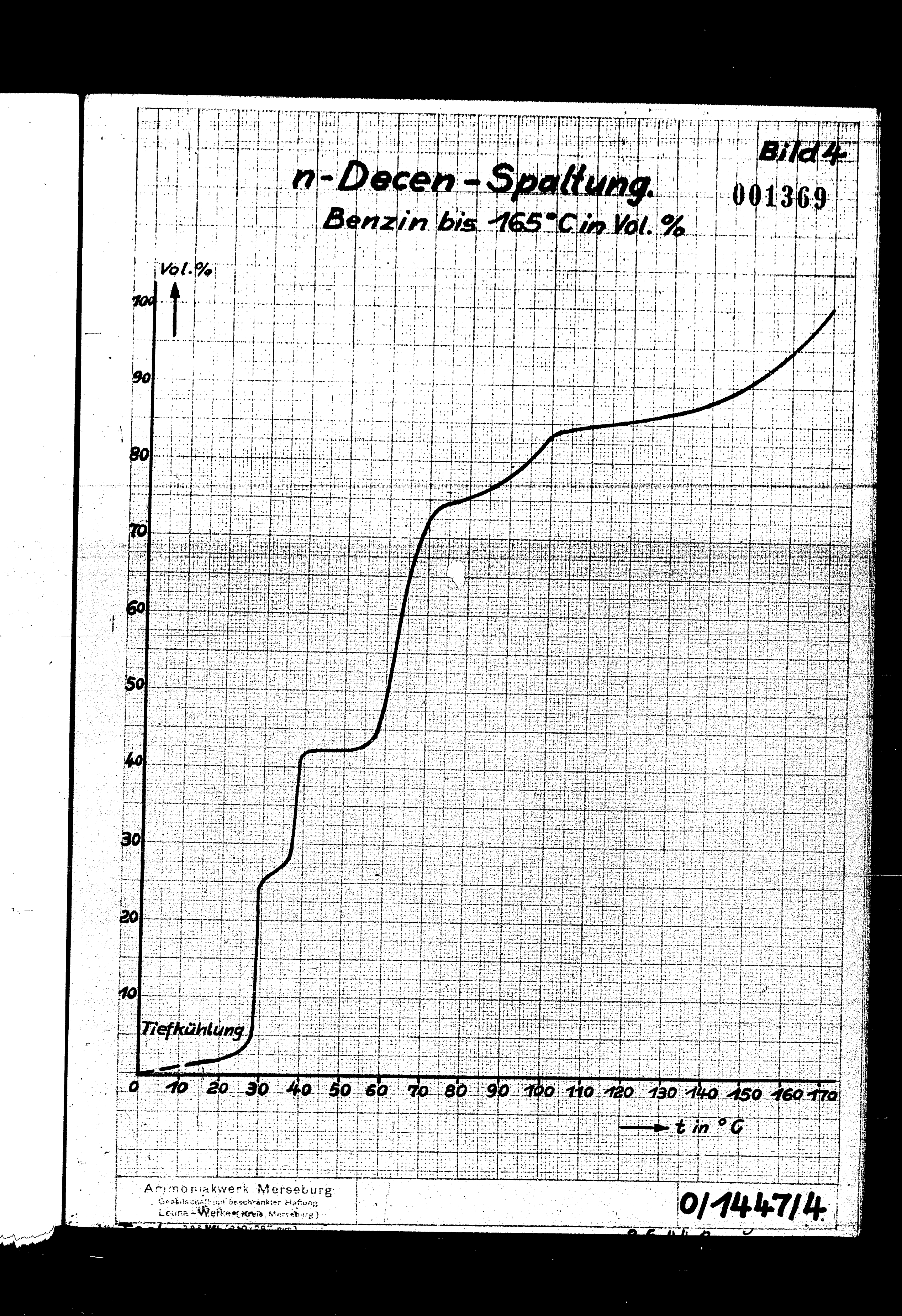
ede	ebere:	ich			Kohlenwasserstoff	Paraffine Olefine	Aro maten	Naph thene
	mig	H ₂ , C ₁ ,	1,0		Wasserstoff, Methan, Äthan, Äthylen	1,0		
	för 6,5	C3	2,5		Propan, Propylen	2,5		
1	gasförmig : 16,5	C4	13,0	2,0 11,0		13,0		
	A .	C 5	6,1		Pentane + Pentene	6,1		, j
Tala		C 6	11,7	2,2 8,4 0,6 0,5	Hexane (vorwiegd. 2-Methylpentan Methylcyclopentan Cyclohexan Benzol	2,2	0,5	9,0
	185° : 40,7	C 7	6,9	0,4 2,7	Dimethylcyclopentane (Gemisch von Dimethylcyclopentan (Methylcyclohexan, Äthylcyclo-	0,4	2,6	3,9
	-			2,6	(pentan Toluol			
	- Benzin	C ₈ /9	10,3	4,9 3,0 2,4	Naphthene (110 - 160°) (Xylole (ca. 90 % m + p), wenig (Athylbenzol Aromaten (145 - 165°)		5,4	4,9
÷	1		0,6	0,6		0,6	· · · · · · · · · · · · · · · · · · ·	
1	65 =	185°	5,1		vorwiegend Naphthene		1,9	3,2
1	85 -	1900	24,3	-	Dekalin			24,3
1	90 -	2300	13,3		Aromaten		13,3	
			.143		Naphthalin		1,3	
· · · · · · · · · · · · · · · · · · ·	>	230°	2,5		Aromaten		2,5	
			1,4		Koks			b .
		3	100,0			25,8	27,5	45,3

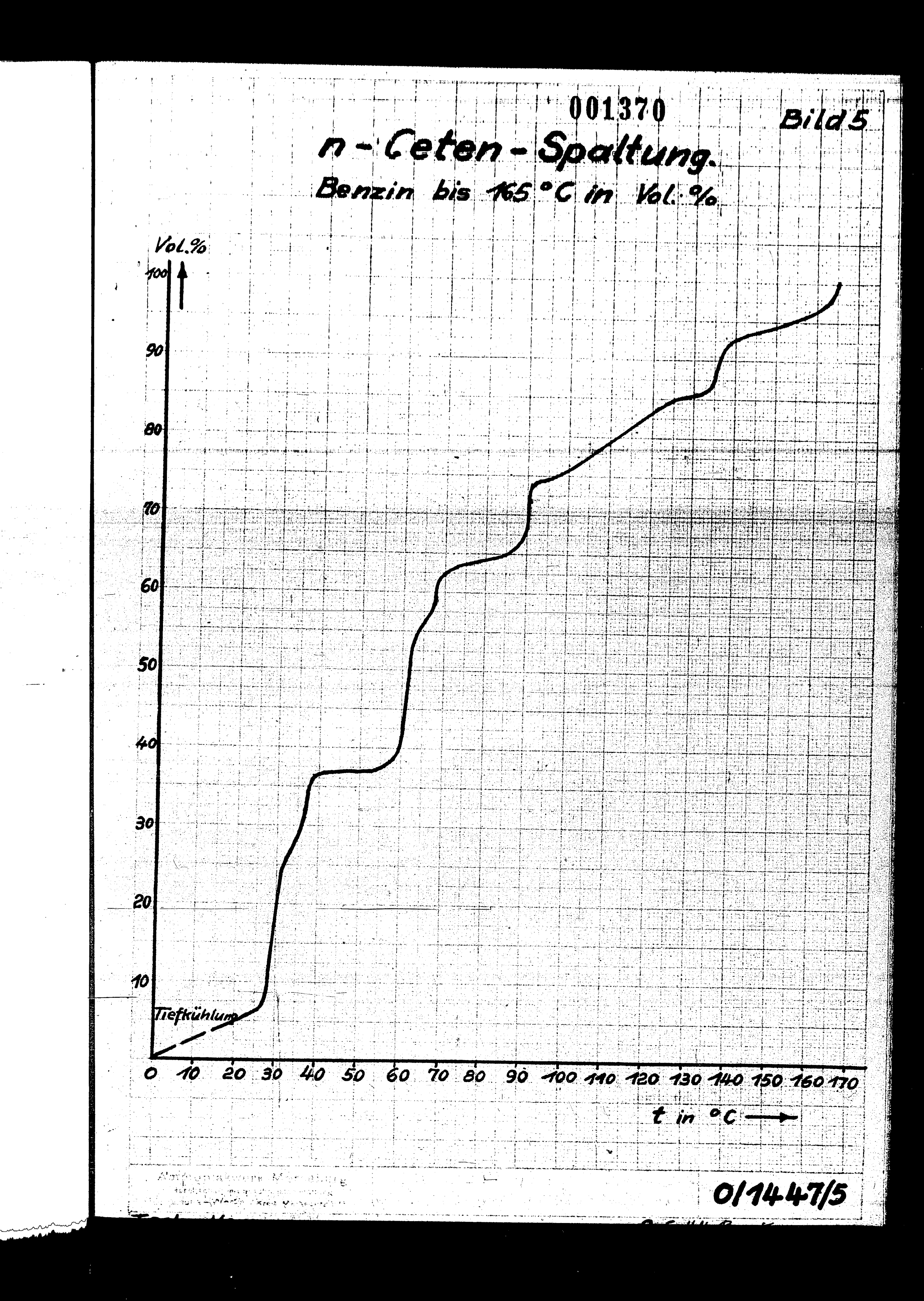






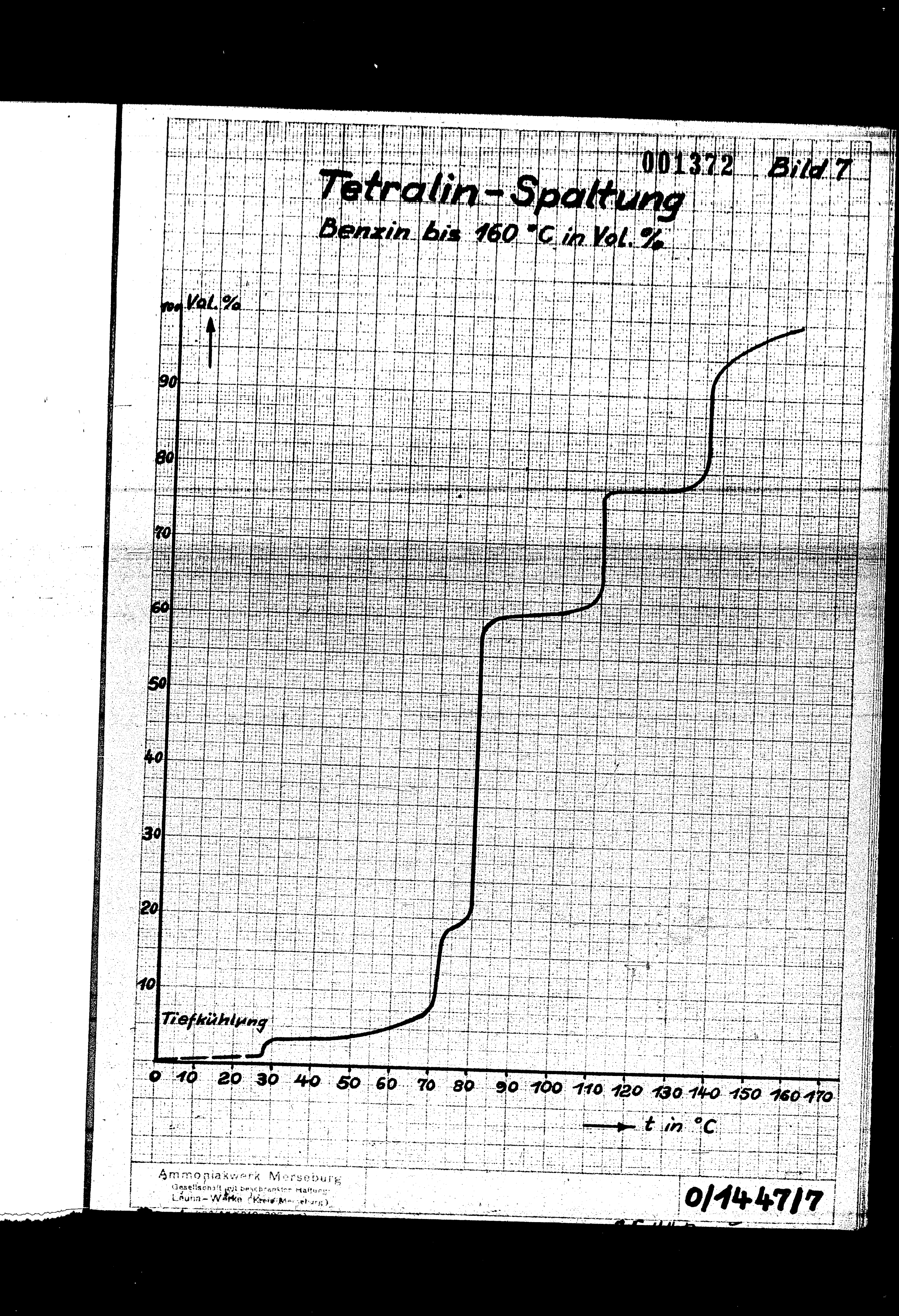




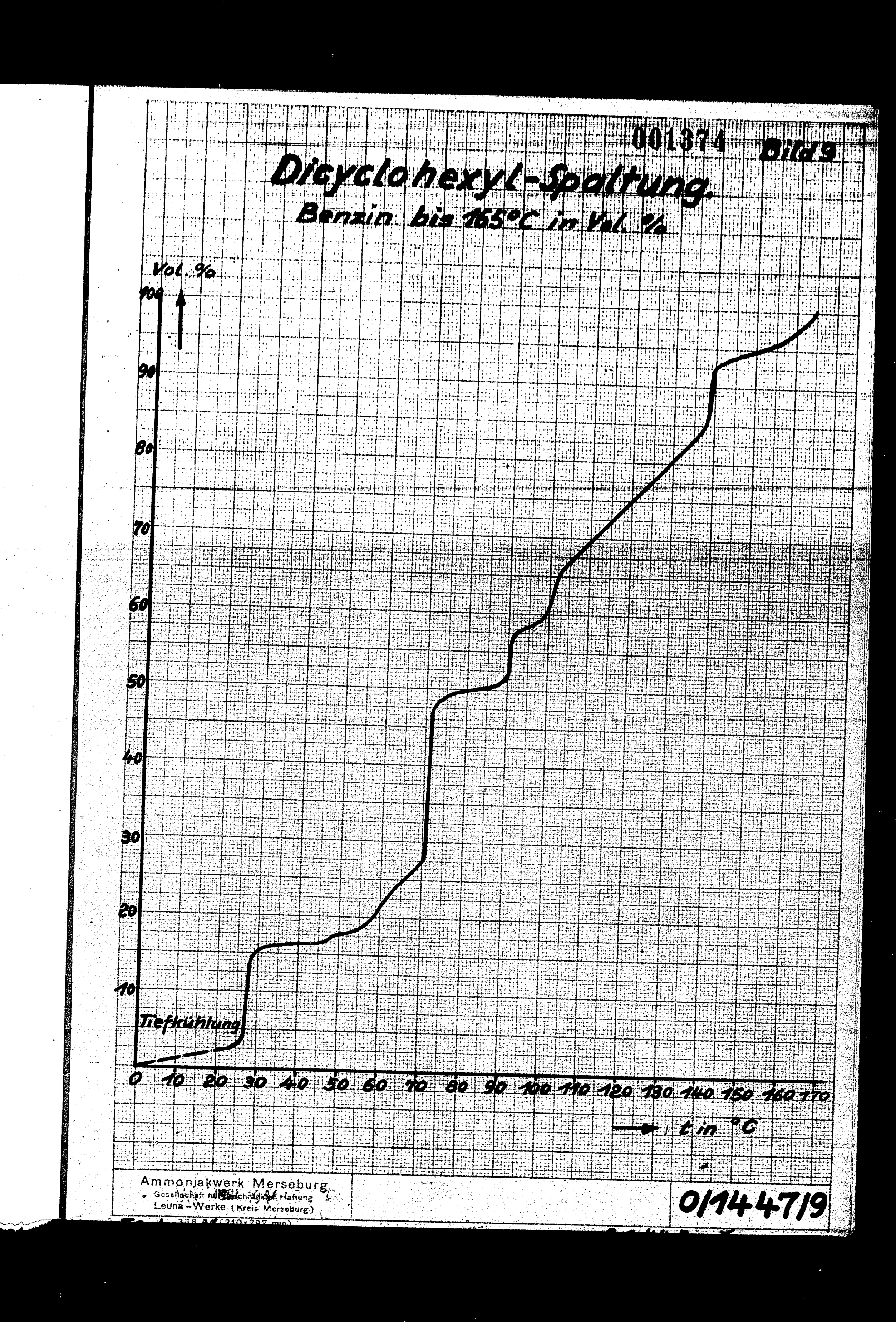


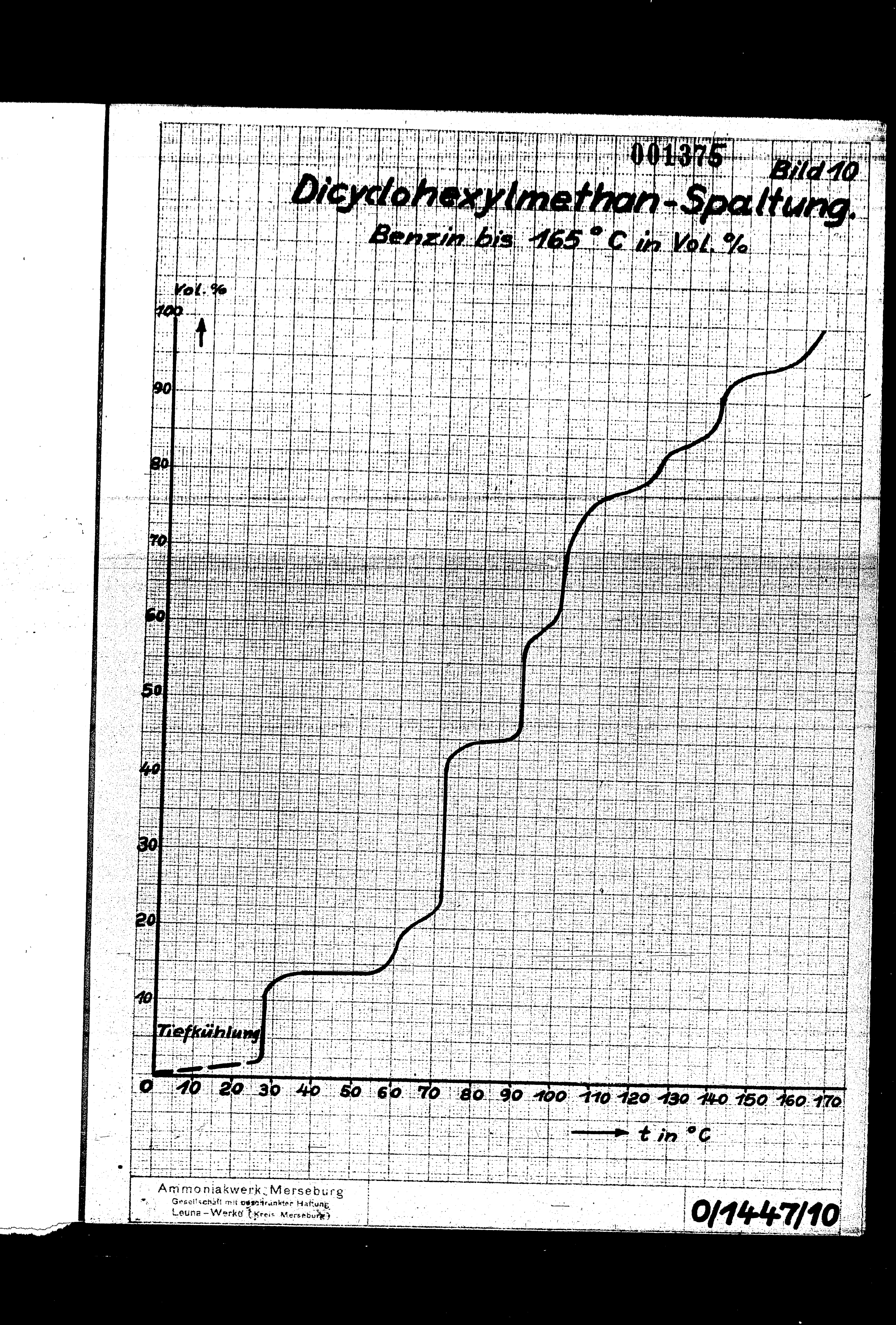
ISO - AMVIDENZOI - SCOILING Tiefkühlung 70 80 90 100 110 120 130 140 150 160 170 - t in °G 0/1447/6 Ammoniakwerk Merseburg

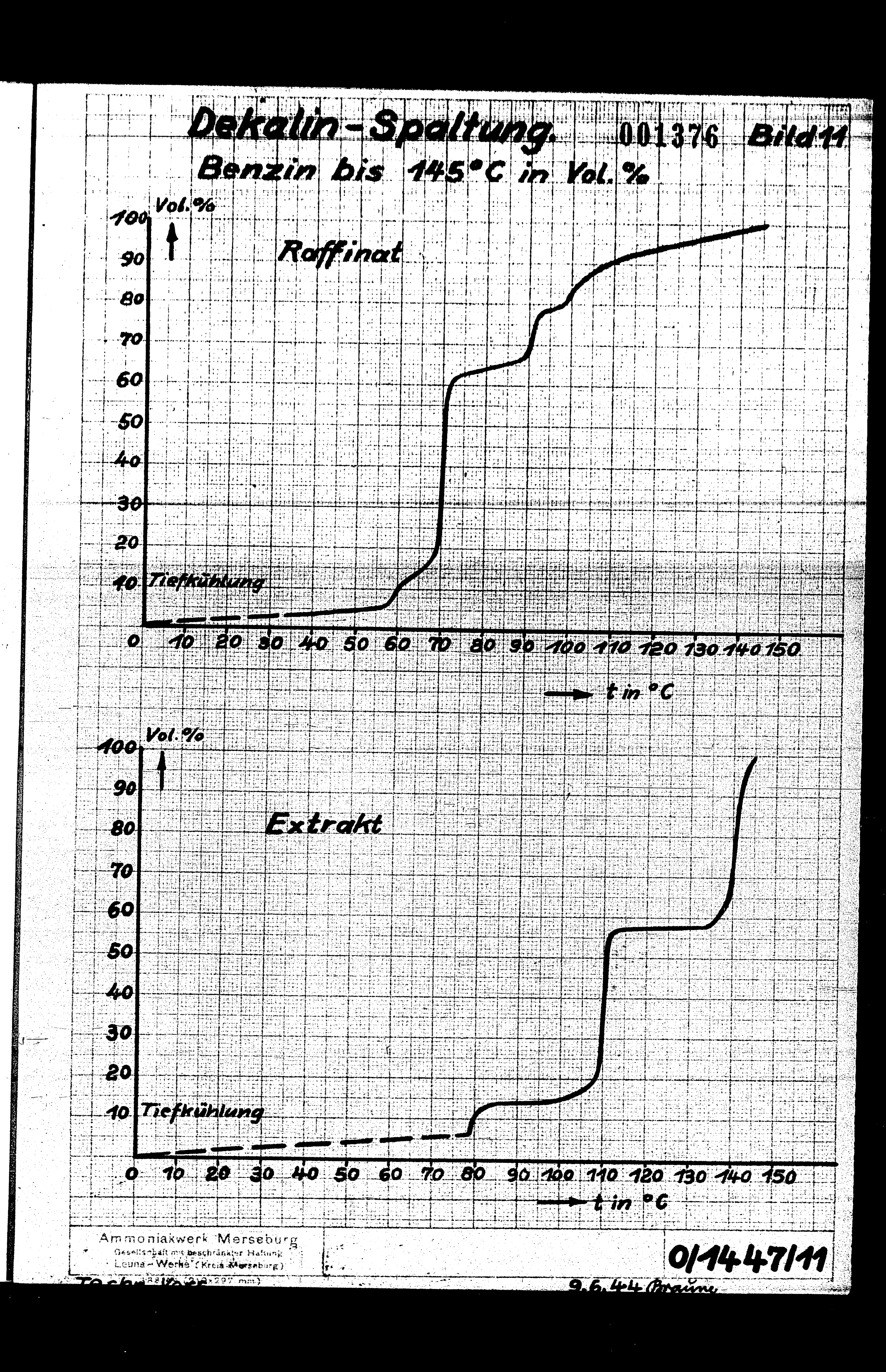
Gesellschaft put peschränkter Haftung
Leuna-Werke (Kreis Merseburg)



Ammoniakwerk Merseburg Genetischaft mit beschränkter Haftung Leuna-Wille (Keels Merseburg)	0/14-47/8
	0 130 140 150 150 170
	So S







3979-30/4.02-10Z April 1940 Dr. Ko./Ba

Quantitative Boutimmung mindrigsiedender Phonole in Phonololen durch Pointraktionierung.

Die einmalige frektionierende Destillation von Phenolgemischen in laborüblichen Kolongen führt nicht sur einwandfreien Treunung von Erbolsäure und den Kresolen. Die Überwachung des Trenneffektes - etwa durch die Bestimmung der Ersturungspunkte vieler Destillat- ausschmitte - wird die schon im Verlauf der Siedekurve festgestelle te "Verwaschung" bestätigen.

Darch diese Untersuchung sollte festgestellt werden, ob und inwie-weit mit einer feinfraktionierkolonne laboratoriumsmässig die nied-rigsiedenden Phanols voneinander getrennt und damit quantitativ bestimmt werden können.

Apparatur:

Glockenbodenkolonne nach J.H.Bruun und Mitarbeiter 1) mit 60 Glokkenböden auf etwa 2,5 m Länge, unterteilt in 2 Schüssen mit Schlift verbindung. Material: Querz; Anfertigung: Glasbläserei Me.

Regulierung des Rücklaufverhältnisses am Dephlegmator durch sinngemässe Einstellung zweier 2-Weghähne für Rücklauf und Destillatabnahme. Die Kolonne wurde in wärmeisolierte Blechkästen eingebaut,
die durch Glasfenster offenes Blickfeld nach vorn hatten. Durch
regelbare elektrische Widerstandsheizung (Drahtspiralen an den
Innenwänden der Blechkästen) in 2 Stromkreisen konnten die Wärmeverluste durch Abstrahlung gedeckt und der Temperaturverlauf zwischen Sumpf und Dephlegmator richtig eingestellt werden. Die Schwierigkeit der Dichtung der Schliff-Flächen, die dauernd Temperaturen
um 200° ausgesetzt sind, wurde befriedigend gelöst durch die Eenutzung von Picein oder Ficein-Graphitgemisch als Schmisrmittel.

Arbeitsweise:

Alle Destillationen wurden diskontinuierlich durchgeführt. Da die arbeitende Kolonne etwa 100-150 cm Flüssigkeit benötigt, verlangt die Destillation bei Aufrechterhaltung eines genügenden Sumbfstandes mindestens 500 cm, zweckmässig 1000 cm oder mehr Beschickung. In Fällen, wo nur weniger Flüssigkeit zur Verfügung steht, die möglichst vollständig destilliert werden spll, muss mit Hilfsflüssigkeiten gearbeitet werden, deren Siedekurven sich nicht mit denen der zu destillierenden Flüssigkeiten überschneiden.

Modelldestillationen:

a) mit leichtersiedenden Flüssigkeiten.

Binäre Flüssigkeitsgemische: Destilletabnehme in 10 cm Fraktionen und Untersuchung der einzelnen Fraktionen (spez.Gew.u. n70)

Versuch 1: Aceton-Benzol 50:50 Vol. %; 1000 cm; (Abb. 1)

Destillat 0,5 cm/min.; Rücklaufverhältnis ca. 20:1

Versich 2: n-Meptem-Toluol 33,3:66,7 Vol. %; 1200 od (Abb.2)
Destillat 0,5 od/min.; Ricklaufverhältnis ca.20:1

Versuch 3: Ecasol-Athylanchlorid 41.7:53,3 Vol. %; 1200 of (Abb.3)

Versuch 4: Bencol-Athylenchlorid 66:34 Vol. %; 1000 cm (Abb.4)

Destillat 1,0 cm/min.; Rücklaufverhältnis ca.10-15:1

Die Betrachbang der Siedekurven (Abb.1-4) wie die Überwachung der upez.Gewichte und nich der Binzelfrektionen zeigen, dass die Trenaung bizürer Plüssigkeitegosische, deren Komponenten Siede-punktennterschiede von mehr als 10°C aufweisen ohne weiteres, bei nur 3°C Siedepunktennterschied jedech nur achr unvollkonmen gelingt. Die Destillationsgeschwindigkeit ist von grösser Be-denbung.

b) mit Gemischen reinster Phenole.

Aus den Erkenntnissen der Modelldestillationen 1-4 heraus wurde nur mit Destilletionsgeschwindigkeiten von 0,5 om/min. oder weniger gearbeitet. Für die Überwachung des Frenneffektes konnte die Bestimmung der Brsterrungspunkte als wertvolles Hilfsmittel herangezogen werden.

Ausgangsetoffe:
Die einzelnen Phenole wurden durch mehrmelige Kristelliseton und
Destillation so lange gereinigt; bis eine weitere Erhöhung der
Erstarrungstemperatur (im geschlossenen Gefäss durchgeführt)
nicht mehr eintrat. Die auf diese Weise erhaltenen Ausgangsstoffe der Modelldestillationen enthielten sicher weniger als 1-2 %
Verunreinigungen.

Carbolsäure "zur Anelyse" Siedepunkt 181,0°C, Ersterr.P.40,2°C o-Kresol "100 %" nachgereinigt " 190,0°C, " 30,4°C p-Kresol "100 %" " 200,0°G, " 37,6°C m-Kresol "100 %" " 200,5°C, " 10,8°C

Um für die quantitative Beurteilung des Trenneffektes Carbolsäure und die Kresole restlos abdestillieren zu können, wurde in
allen Fällen eine einwandfrei ausgeschnittene Phenolfraktion des
Siedebereichs 230-260° als Hilfsflüssigkeit zugegeben (meist 400500 g). Der Frenneffekt der Destillation sollte überwacht werden
durch Bestimmung der Erstarrungspunkte vieler Einzelfraktionen
(je 10 cm). Soweit noch nicht bekannt, wurden die Erstarrungskurven der binären Systeme

o-Kresol-p-Kresol) Abbildg.15 o-Kresol-m-Kresol Abbildg.17

mit den obengenannten analysenreinen Produkten ermittelt. Die Erstarrungskurve von p-m-Fresolmischungen zeigt im Bereiche eines n-Kresolgehaltes von etwa 20-40 Gew. ein Schmelzpunktsmaximum, was auf die Existenz einer Verbindung hindeutet. Bei gleichzeitiger Berücksichtigung eines an sich kaum vorhandenen Unterschiet des im Siedepunkt 2 können durch Feinfraktionierung und Überwechung

2) leut Literatur: p-Kresol = 201,8, 202, 200,5°C m-Kresol = 202,8, 202, 201,0°C

der Ersterrungspunkte bestenfelle Aussagen über Anwesenheit und Mange von p+m-Kresol, nicht aber über die Mengen der Einzelindivi-duen erwartet werden. Zur Bestimmung des m-Kresols wurde die bekannte Mitriermethode 3 herangezogen, die eine gravimetrische Bestimmung des m-Kresols in Gegenwart der anderen Kresole in Form der schwerlöslichen Trimitroverbindung erlaübt.

Kontrollanalysen zeigeh die Brauchbarkeit der Nitriermethode.

Tabelle 1.

	- Signature - Sign	angewandt "			gefunden
Gew.%	Phenol	o-Kresol	p-Kresol	m-Kresol	m-Kresol.
	10,0	20,0	80,0 50,2 50,0	20,0 19,8 50,0	19,1 20,8 49,2
	10,2	20,0	49,8 69,7	20,0 30,3	20,9

Von den laut Siedetemperatur als p- und m-Kresolfraktion anzusprechenden Destillaten wurden daher jeweils Durchschnittsproben der m-Kresolbestimmung durch Nitrierung zugeführt; der nach Abzug des so ermittelten m-Kresols verbleibende Rest wurde als p-Kresol betrachtet.

Die Siedekurven (Abbildungen 5-11) sind klar genug, um quantitativ ausgewertet zu werden. Im Siedebereich der Carbolsäure und des o-Kresols kann zwischen Siedetemperatur und Erstarrungspunkt ein eindeutiger Gang dahingehend festgestellt werden, dass das bei richtiger und konstanter Übergangstemperatur destillierende Phenol auch den richtigen Erstarrungspunkt aufweist. In entsprechender Weise bringen die Erstarrungspunkte im Gebiet der Carbolsäure-o-Kresolzwischenfraktion zum Ausdruck, wie die leichtersiedende Carbolsäure allmählich durch das schwerersiedende o-Kresol verdrängt wird (Durchlaufen eines Erstarrungspunktsminimum).

Dieser Vorgang wiederholt sich im Gebiet des p- und m-Kresolübergangs aus den weiter oben geschilderten Gründen nicht mehr; nach beendetem Kresolübergang sinkt die Erstarrungstemperatur ab, um nicht wieder ahzusteigen.

Da bei den verhältnismässig geringen Siedeunterschieden der Phenole das Auftreten von Zwischenfraktionen nicht zu vermeiden ist, ist es vorteilhaft, möglichst grosse Phenolmengen zu destillieren; dadurch wird die für die quantitative Auswertung nötige Schnittlegung erleichtert. Sie wird mit genügender Genauigkeit – unter Berücksichtigung der Erstarrungspunkte – normalerweise in der Mitte zwischen den Siedetemperaturen der fraglichen Komponenten erfolgen. In Fällen, wo die Siedekurve allein keinen bündigen Schluss auf die Reinheit des Dastillates zulässt, können die Erstarrungspunkte als wertvolles Hilfsmittel herangezogen werden. Da die ersten Destillatanteile noch Wasser enthalten, bleiben diese bei der Auswertung ausser Acht.

Die auf die de Weier derchgeführte kuswertung der Modelldestilletienen Chrie au den in den Tab. 2 und 5 niedergelegten Ergabetenen. Telbelle 2 enthält die Ergebnisse in g. Tabelle 3 in Gewichtsprozenten vom angewandten Gesamtphenol einschliesslich hochsiedender Komponente ausgedrückt.

Die Ergebnisse lassen eins böfriedigende Übereinstimmung mit den theoretischen Werten erkennen. Unter den beschriebenen Versuchsbedingungen lassen sich die einzelnen Phenolo in Gewichts-% von Gesautphenoleinsatz (sinschl.hochsiedendem Phenol) einzedrückt wit einer Genauigkeit von alwe 12 Gewick (absolut) bestimmen. Det einzelsen zulmengen von 50 g oder veriger ist die Siedskerve in e-Wra oleiste bereich varwuschen.

tit om en tropical en grande production of the second

der Feinfraktionierung von bekannten Phenolgemi Ergebnisse

.

.

.

(nach Gewicht

		Phenol		0-K	o-Kresol		T-d	p-Kresol	. N. J. (2)4		m-Kresol		* ·
Versuch Mr.		80	Gew.%	50		Gew.%			Gew. %	80	A STATE OF THE STA	Gew. &	Benerkungen
Albert Printer Bellighed Byellingthe State Belling by Belling by Albert Belling by Belli	angew.gefu	gefund.	nd d. Theorie	angew.	angew.gefund.d.		angew.	angew-gefund d	d.Theorie	angew.	angew gefund d.Theori	Theorie	
5 (Abbildg.5)	324	303,1	93.6	210	23.2	883		i ga ga pada jiya wa ka	and a Annaba and Anna	. 1			Destill.Verl.ca.
6 (Abbildg.6)	250	217,0	92,3	*					sar ceo	250	213,4	87.7	Destill. Verl. 105
7 (Abbildg.7)	200	208,4	104,2	150	159,0	106,2			B. Caral Mar	150	149,0	99.3	
8 (Abbildg.8)	150	169,4	112,6	150	154.9	103,0	150		95,2	150	•	95,2	keins m-Kresolbe
•			ele approprie						285	,1 pts	285,1 p+m-Kresol		Strang. 4. 21 trierg
9 (Abbildg.9)	500	200,8	100,4	150	150,1	100.0	900	114,9	6,411 (4,000 km to	200	183,9	92,0	a-Kresolbestiam d.Eitrierung
10 (Abbildg.10)	100	101,1	101,1	500	197.3	98,7	88	185.5	. 92,8	100	0.88	0,88	dg1.
11 (Abbildg.11)	250	238,9	95,4	20	2	73,6	150	158,0	105,5	150	149,8	6,66	

Versuch Nr.	Pheno	lol	0-Kresel	1036	p-Kresol	301	m-Kresol	101	Phenol 6	Phenol 230-2600
	Gew.% v.Ges	usmtphenol	Gew. % v. Gesamtphenol	samtphenol	Gew. % v. Gesan	esamtphenol	Gew. % v.(Gew. % v. Gesamtphenol		Gew. S v. Ges. Phen
	angew.	gefunden	angew.	depunjes	angew.	gefunden	впеви.	gefunden	*BBGB	getunge
5 (Abbildg.5)	31.0	29,1	20'53			1 (1) (1) (1) (1) (1) (1) (1) (1) (1) (1	1		48,8	
6 (Abbildg.6)	24.2	20.0				Again at direct	24,2	21,2	51,6	
7 (Abbildg.7)	20°0	80,8	9	S S		20.0	15.0	4.9	20,0	
8 (Abbildg.8)	15,0	16,9	15,0	S	2	nak carac	15.0		40.0	• (
9 (Abbildg.9)	0 61	5	?		0	10,9	19,0	17,5	38,2	DO:
10 (Abbildg.10)	10.0	ä	0 02	Š	8	18,6	10,0	Q	40.0	13
11 (Abbildg.11)	520	23,9	o S	.	2	15.8 8.0	15.0	15,0	40,0	8'2
						alempirativesis ee				
					esterio del Alto delec	es e sono de Ariquino			2 (2 dd)	
	· 新聞的教育教育 (1) 1 1 1 1 1 1 1 1 1 1 1 1 1 1 1 1 1 1	· · · · · · · · · · · · · · · · · · ·	文字: 10 mm 1	がある。 できる	1000年間は日本の	stra				

Acalyse unbekannter Phenolgeniliche.

Mach den Erkonstniusen der Modellversuche konnte eine Analyse unbekannter Phenolgemische durch Feinfraktionierung als hinreichend wererlässig üngesehen werden.

Soweit die untersachten Phenole aus Ölen oder Teeren erst durch erschöpfendes Extrahieren mit Natronlauge abgetront werden mussten, wurden die Phenolatlaugen klergedampft und dann mit Mineralsäure sersetat. Durch erschöpfendes Extrahieren der in der wässrigen Schicht verbliebenen Restphenole mit Äther und gemeinsame Weitervorarbeitung mit dem als Öl abgeschiedenen Phenolanteil wurden alle sauren Bestandteile der Analyse zugeführt. Durch diese Art der Phenolabscheidung musste mit einer möglichen Verunreinigung durch mitzbgeschiedene Fettsäuren gerechnet werden. Solche Bestandteile scheint insbesondere der Brüxer Schwelteer zu enthalten.

Die Abbildungen 12-14 laesen mit gleicher Deutlichkeit wie die Modellversuche (Abb.5-11) die den einzelnen Phenolen zuzuordnender Siedebereiche erkennen. Die quantitative Bestimmung der Einzelphenole durch Auswertung der Siedekurve dürfte daher wie bei den Modellversuchen mit nicht mehr als 2 Gew. 3 (absolut) Fehlerabehaftet sein (Tabelle 4).

Zur Destillation der Phenole aus Brüxer Schwelteerdestillat (Abb.15) ist noch folgendes zu sagen:

Der unklare Verlauf der Siedekurve, die mangelhafte Reinheit der Carbolsäurefraktionen und sonstige Befunde (Farbe, Geruch) sprechen für starke Verunreinigungen dieser Phenolöle durch andere saure Verbindungen. Zum Unterschied von den anderen untersuchten Phenolölen zeigt die Siedekurve des Brüxer Phenols einen deutlichen Haltepunkt bei ca. 196° und etwa 202-204°, was auf das Vorhandensein von o-Äthylphenol bzw. 1,3,2-Xylenol (2-oxy, 1,3-Dimethylbenzol) schliessen lässt. Die Bestimmung des p-Kresols kann daher in diesem Falle nur ungenau sein.

Feinfraktionier Brgebnisse

	Brgebnisse	der Feinfrakt	erung ur	bekannte	3.	Frenolgemische		· · · · · · · · · · · · · · · · · · ·	
Tribery and an artificial and an artificial and a second and an artificial and a second and a se	en de en	Tabelle	7 10						
Produktl	erkunft u.Bezeichng.	Ausbeute bezogen auf	Phenol Gew. A	o-Kresol Gew.&	p-Kresol Gew. &	m-Kresol Gew. %	Xylenola (-2300)	क्रिक्र हुन्। इस्त्र हुन्।	i g
Gesamtphenole	herole aus A-Mittel- 58 1462 g	Gesamt-A Mittelöl Gesamt-Phenole	10,59	0,51	1,79	1,32	3,63	5,62	
S-Öl Me in NaOH	103a, nach Umlösen klargedamist 1050 g	Rohprodukt klargedamoftes Prod	7 2 K	5 6 7	i ci	9:5	ထ	47.6	
U-Öl sus	9 Tank Ma 910 c	Wasserhaltiges Phenol 34,4	7 4	4,2	11.5	0, 2! 0, 3!	2 4		n
General American		TOUGHT CATAITACA	D 1	2.3	14.3	13,7	13,0		o
Schwelteerdes	erdestillst 1040 g	Schwelteerdestillat (95-2870)	6 9 8 9	0,36	1,13	0,61	4 4 4 4 4 4 4 4 4 4 4 4 4 4 4 4 4 4 4 4	200	NO.
		0	10.8		1. *		0.66		N
•		· 通知教育、東京教物を見る者、東京教育を表す、社会のないでいからない。 東京教育は今天在一方面の大変ないないというとなっている。	The same of the sa	The state of the s					

Journal of Property 1

- 1) Die 1 borntoriumententige Paikka klibaiorung von geral igten die Die Die 1 beneral 1 beneral 2000 Die 1 borntorium dan die 2000 Die 200
- 3) The A-Archallication and wind the did to be done designed with the contract of the contract
- 1) Do Designate and the Nylonole observation or cickt werden hones, house and die Nylonole observations werden, soweit wicht and undere Phenole dieses Siedebereiches vorwhanden wind (Nilylohenola, or m- Propylphenola, Tropropylphenole, nole n.e.).
- b) Die Zestiemung der Erstarrungspunkte vieler enger Fraktionen ist ein wertvolles Hilfsmittel zur Überwachung des Trenneffektes im Carbolsäure- und o-Kresolsiedebereich.
- 6) Sie versagt im p- und m-Kresolsiedebereich wegen gleichen Siedepunktes und Auftretens eines Schmelzpunkt maximums im System p-m-Kresol.
- 7) Fir Brüxer Phenole des zur Verfügung stehenden Reinheitsgrades Sibt die Fsinfraktionierung teilweise nur-unsichere Werte.

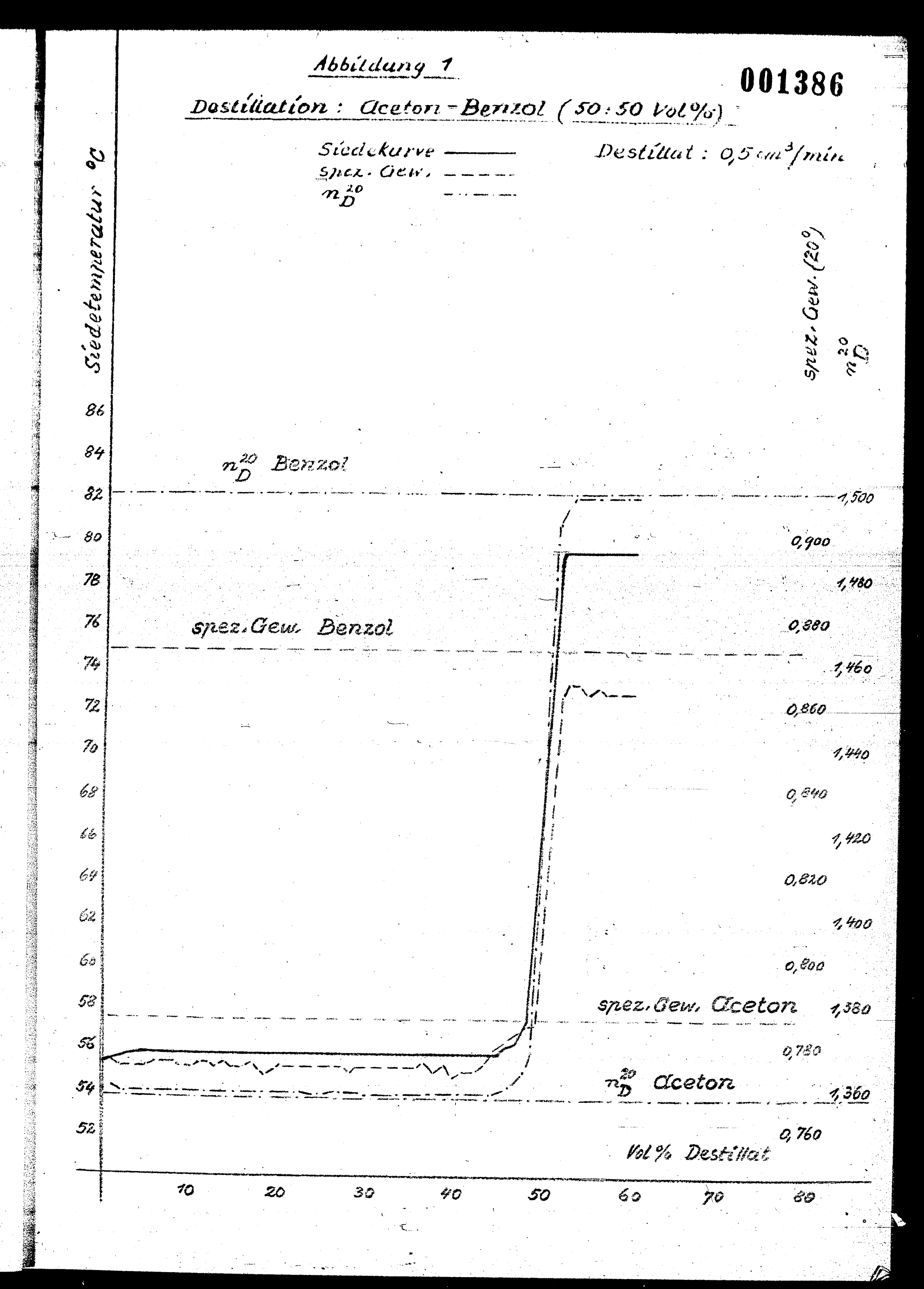
Diese Untersuchung wurde in Rahmen der Versuchsarbeiten der Hydrierung (Lebor de 907) in der Zeit vom Hovember 1939 bis Telbruar 1940 durchgeführt.

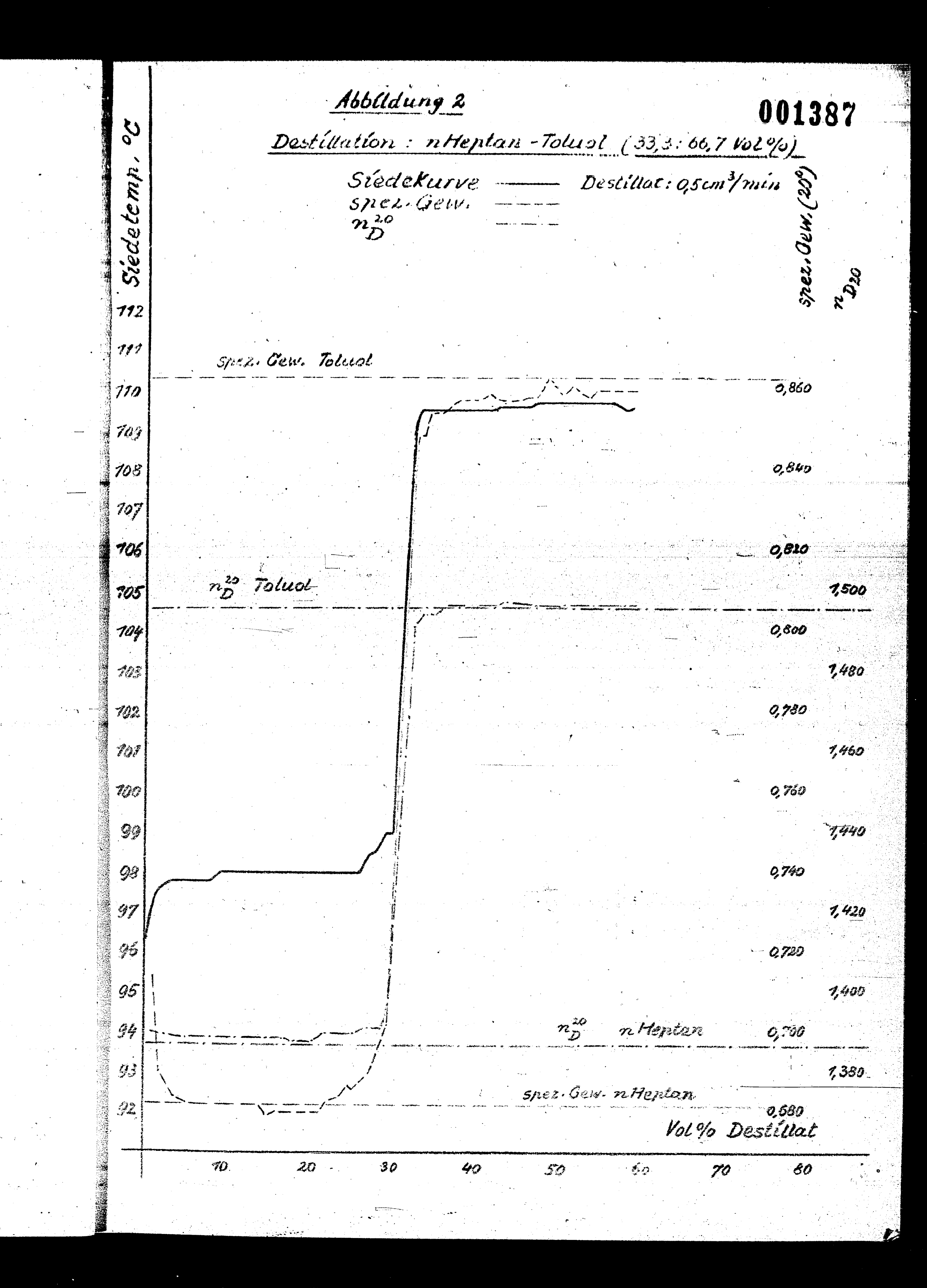
Roll

Z Herrn Dr. Schunck "Dr. Merold

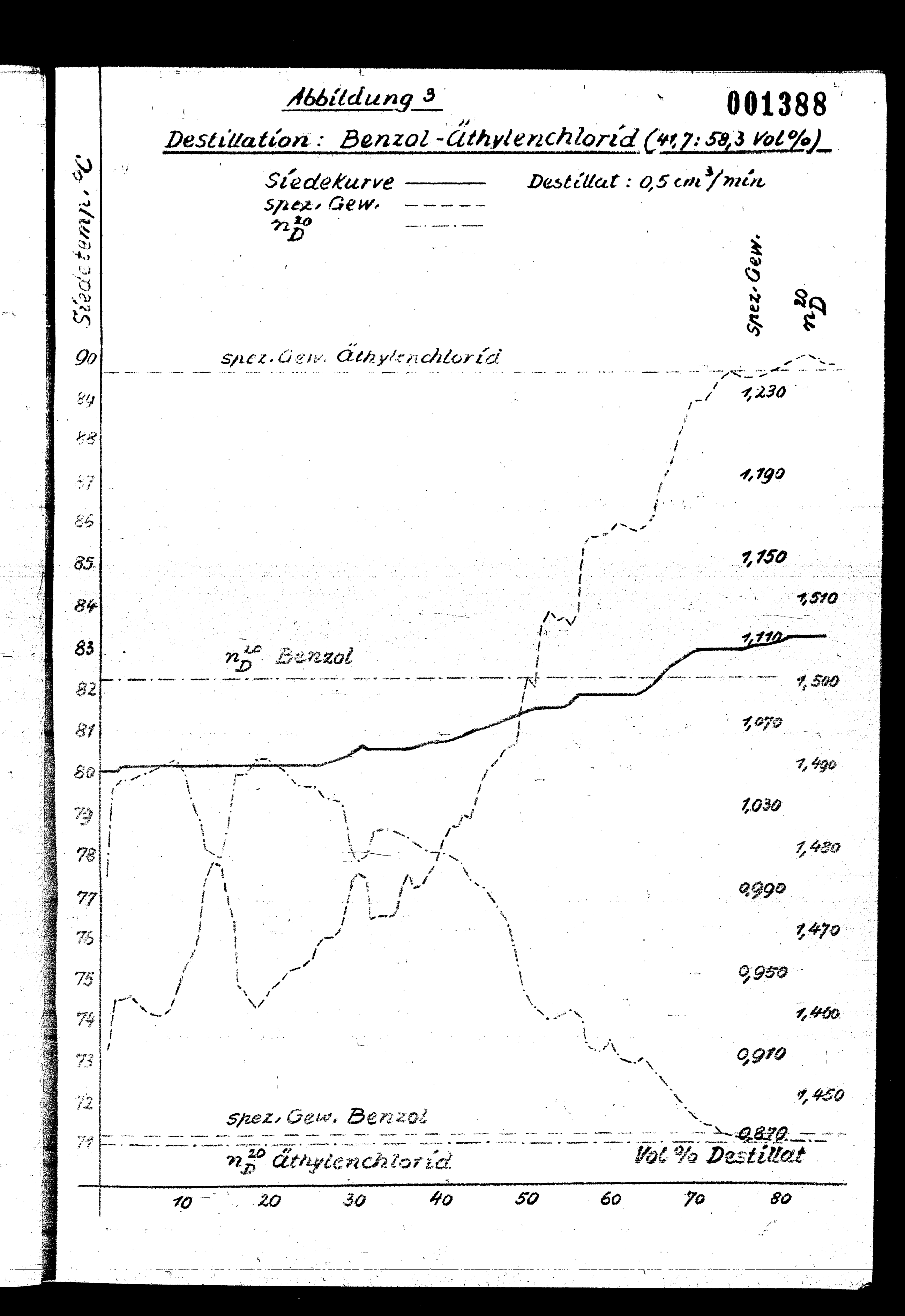
" Dr. Bermann/Dr. Pohl Berichtesammlung 5x

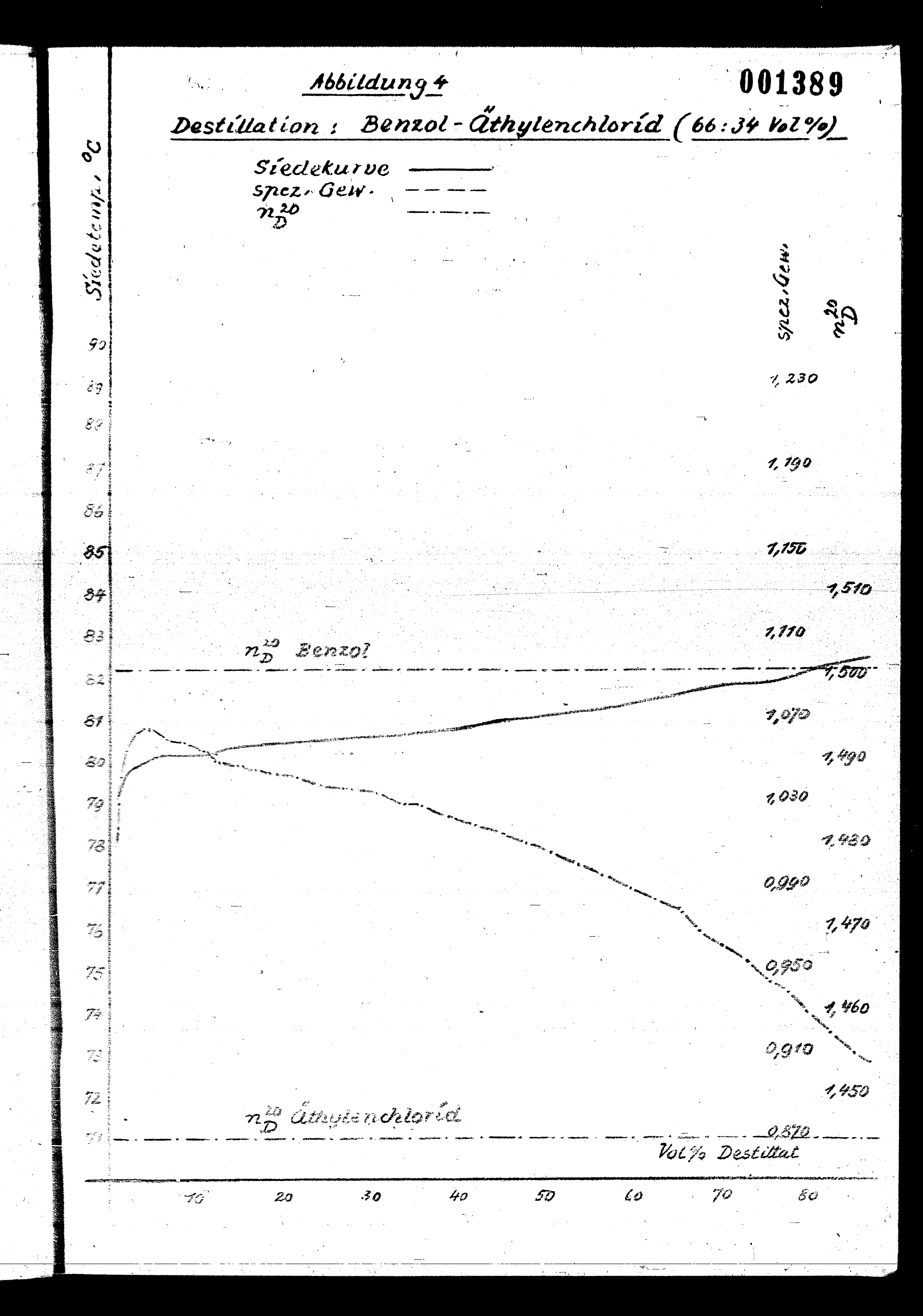
AWP

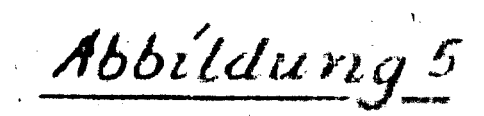












Destillation: Carbolsaure (324g) + o-Kresol (210g)

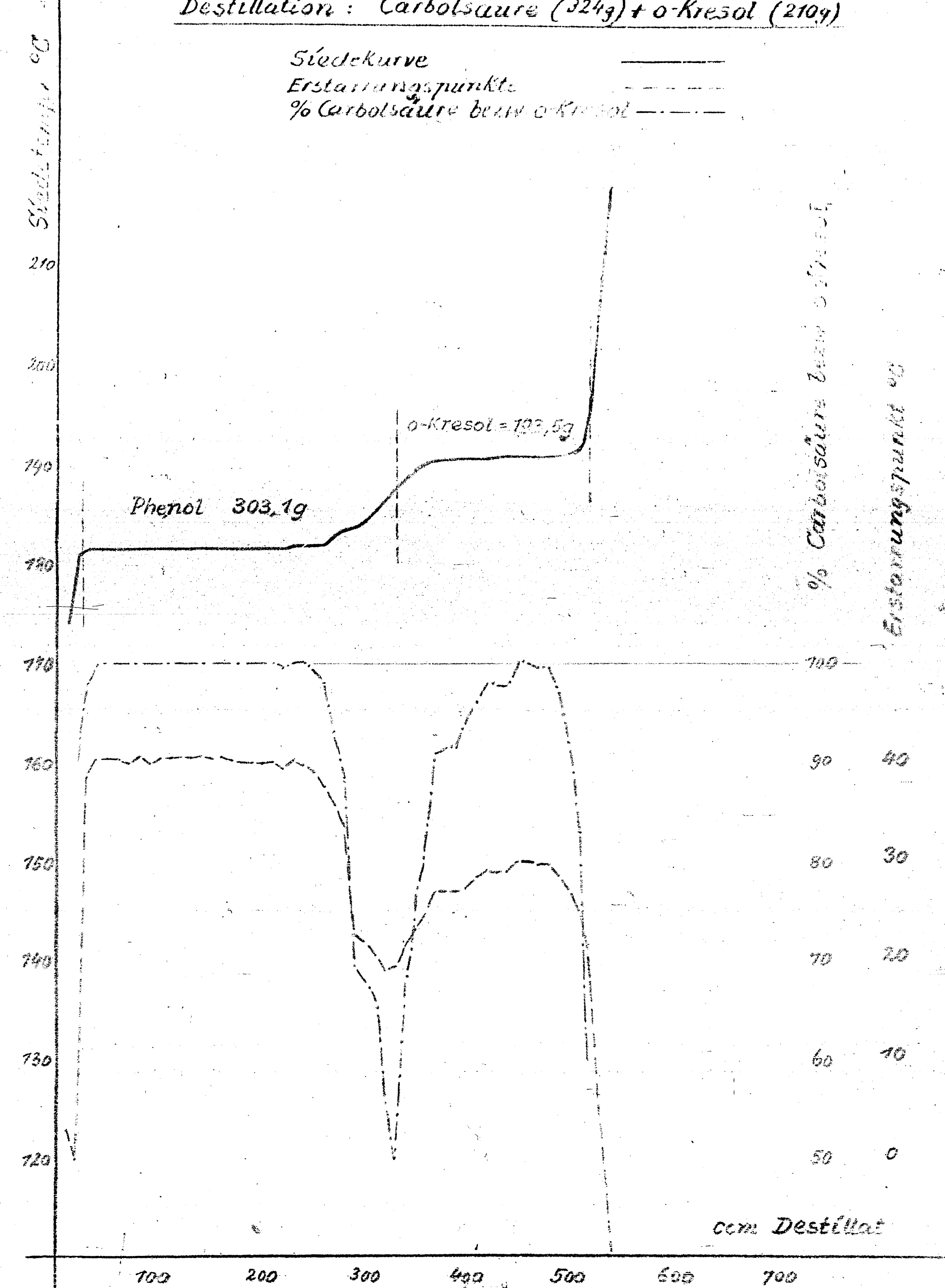
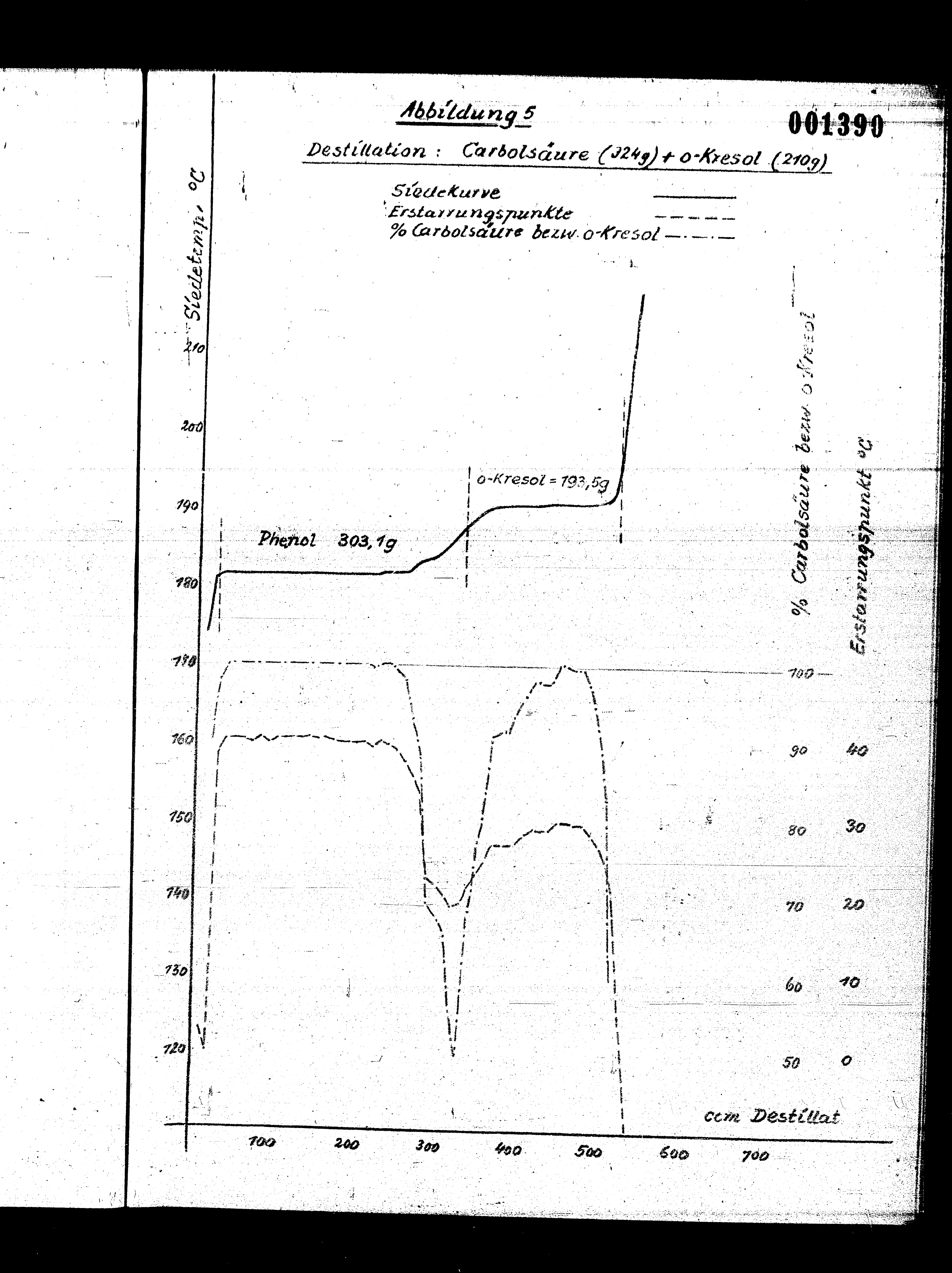
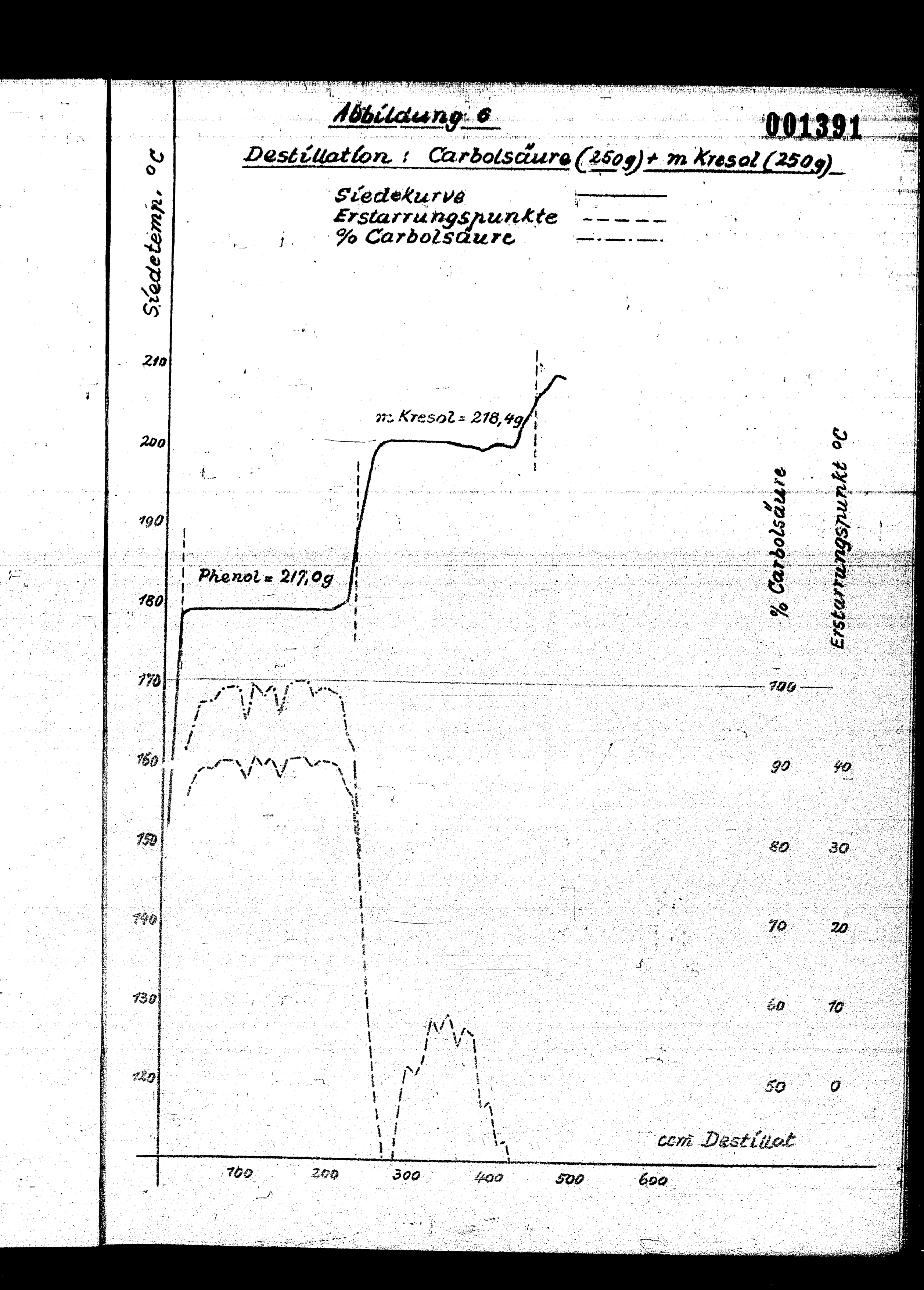
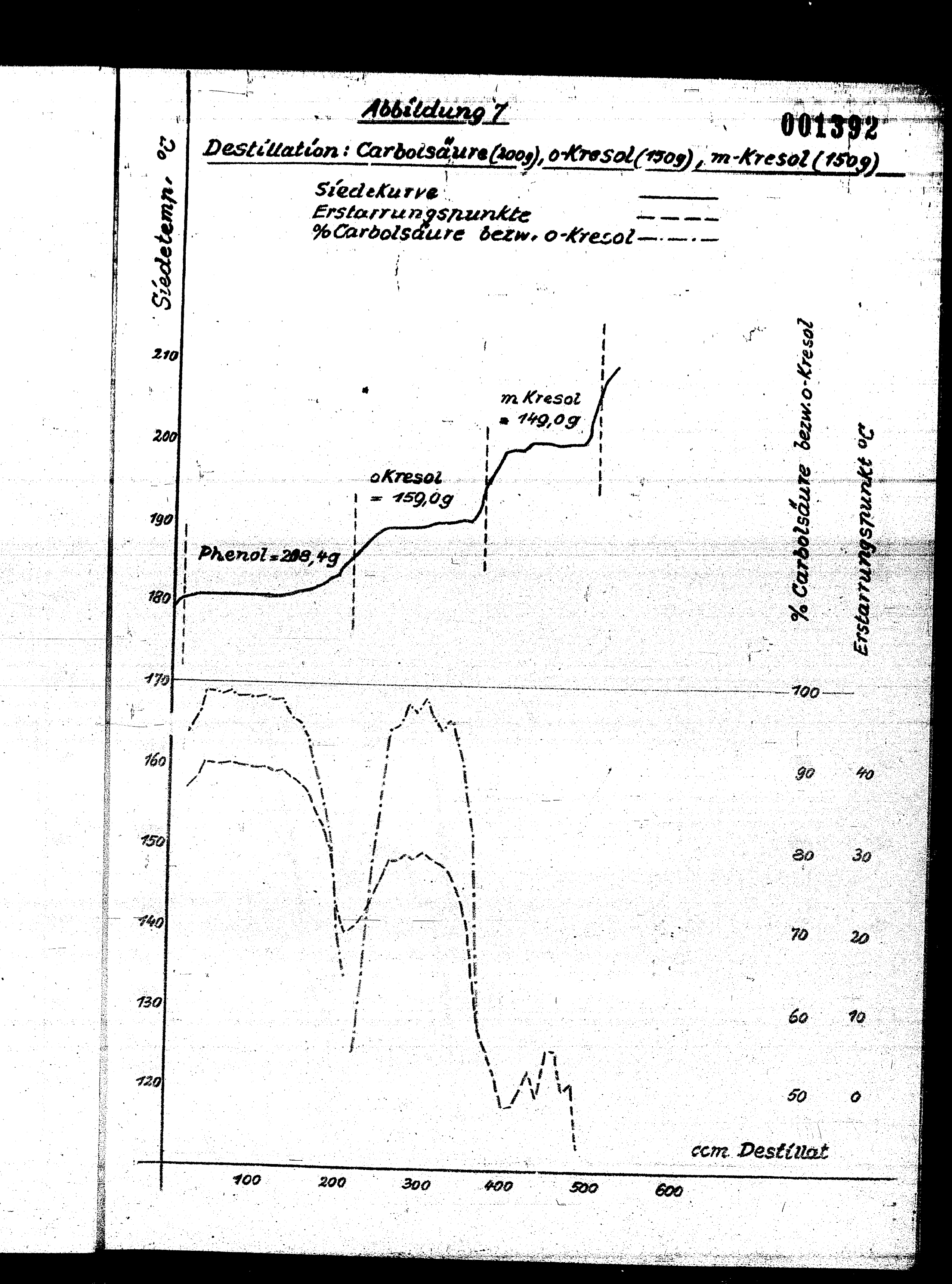
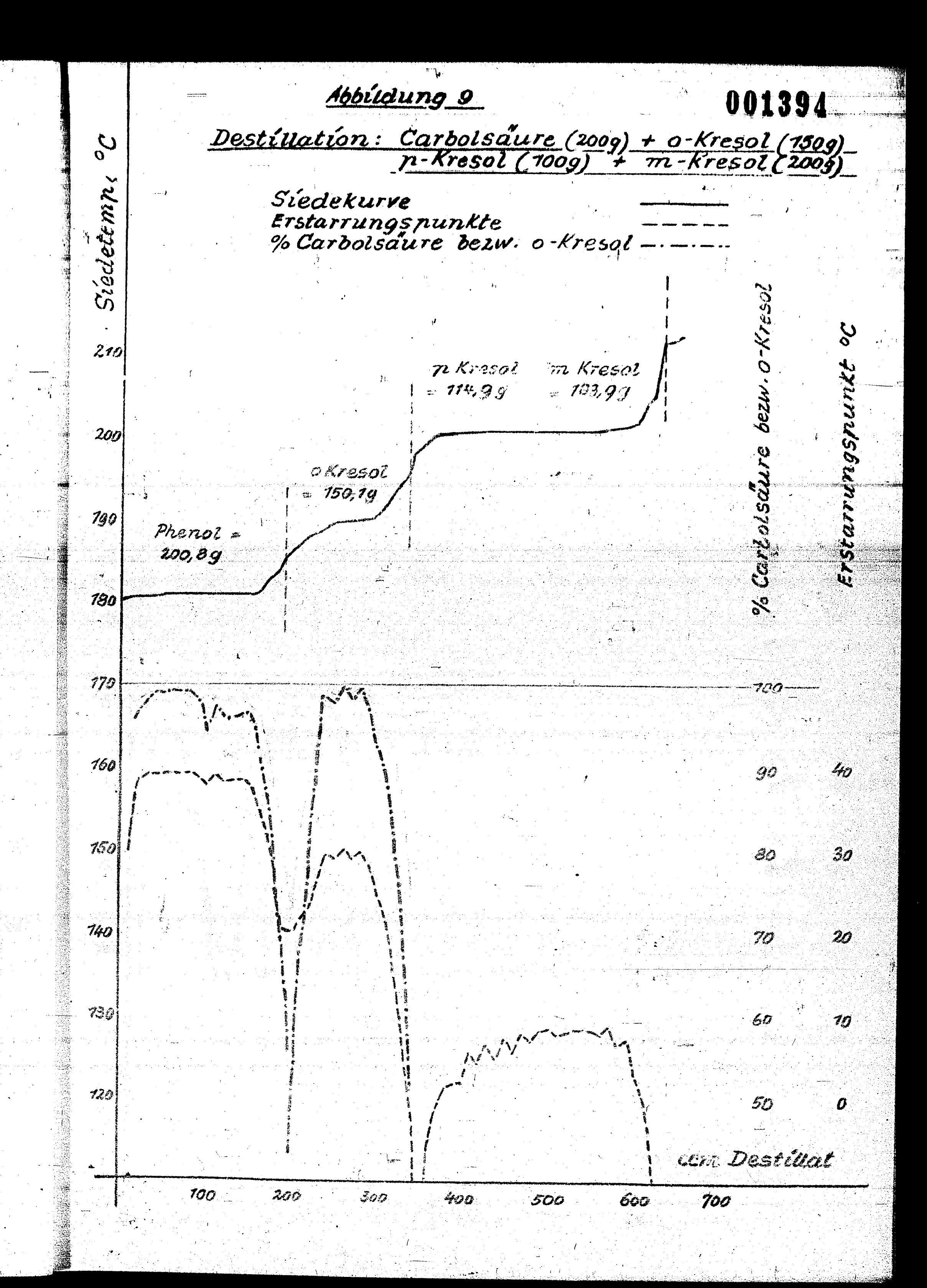


Abbildung 5 001390 Destillation: Carbolsaure (3249) + 0-Kresol (2109) Siedekurve Erstarrungspunkte % Carbolsäure bezw.o-Kresolo-Kresol = 193,5g 190 Phenol 303,19 com Destillat

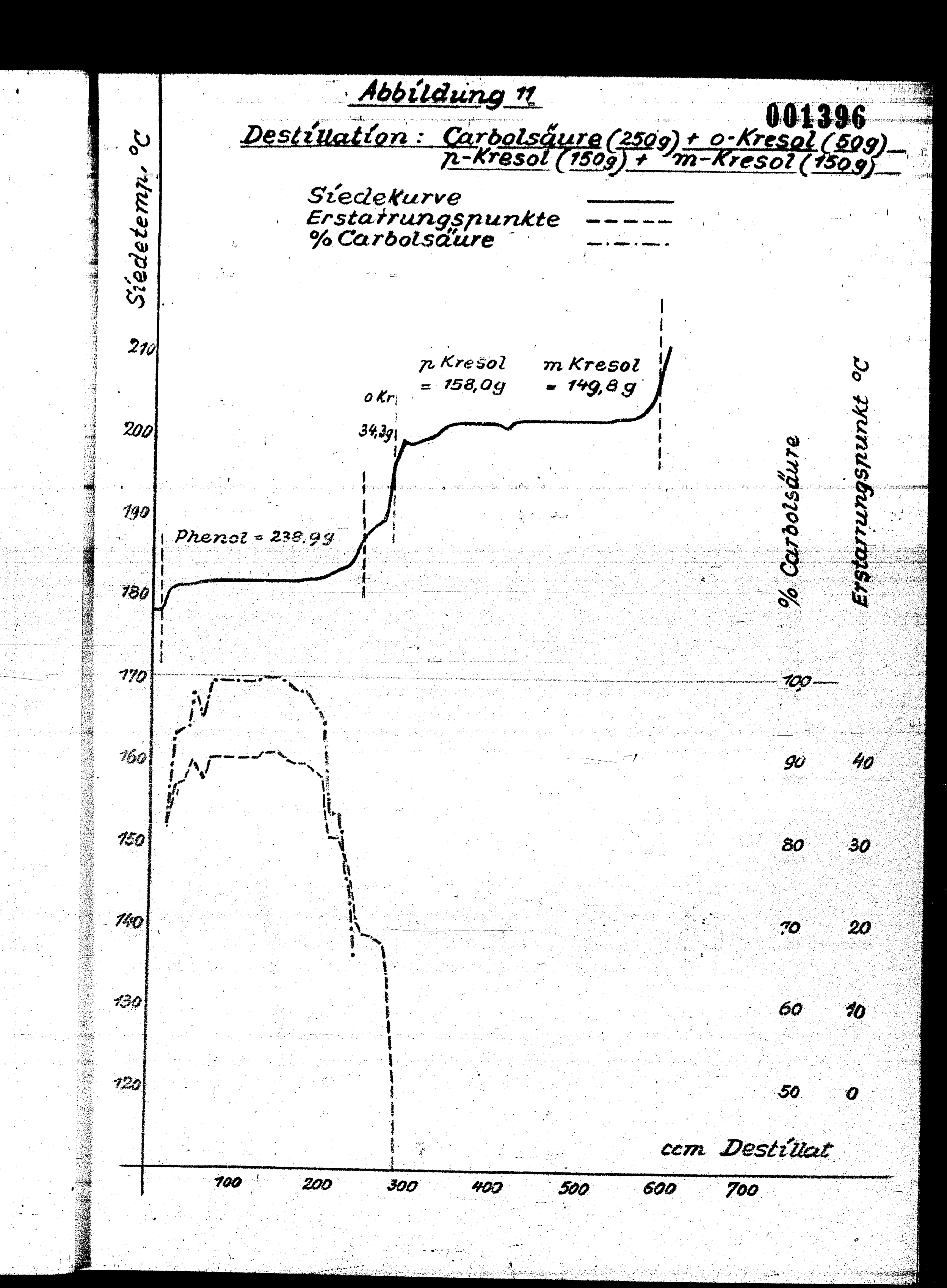


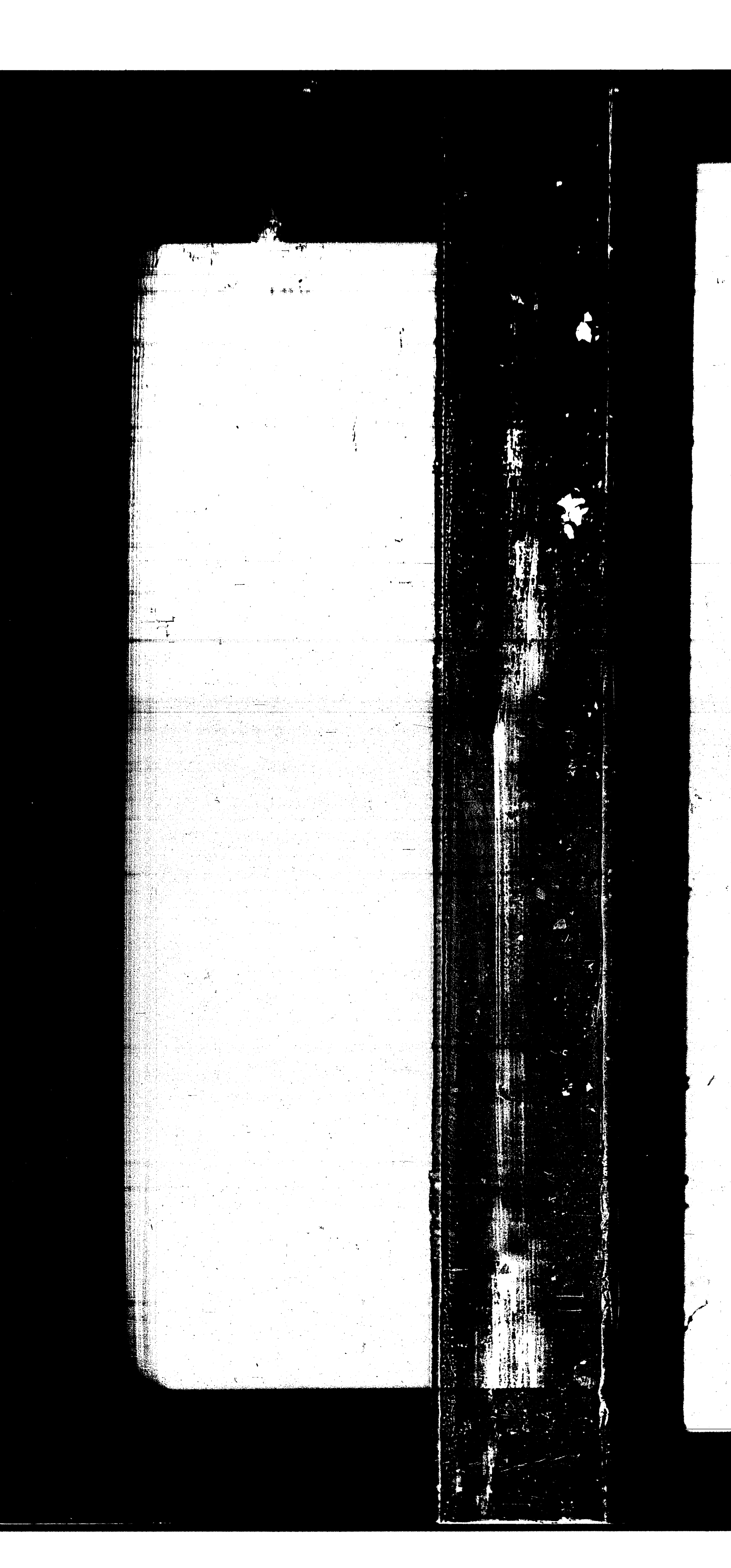


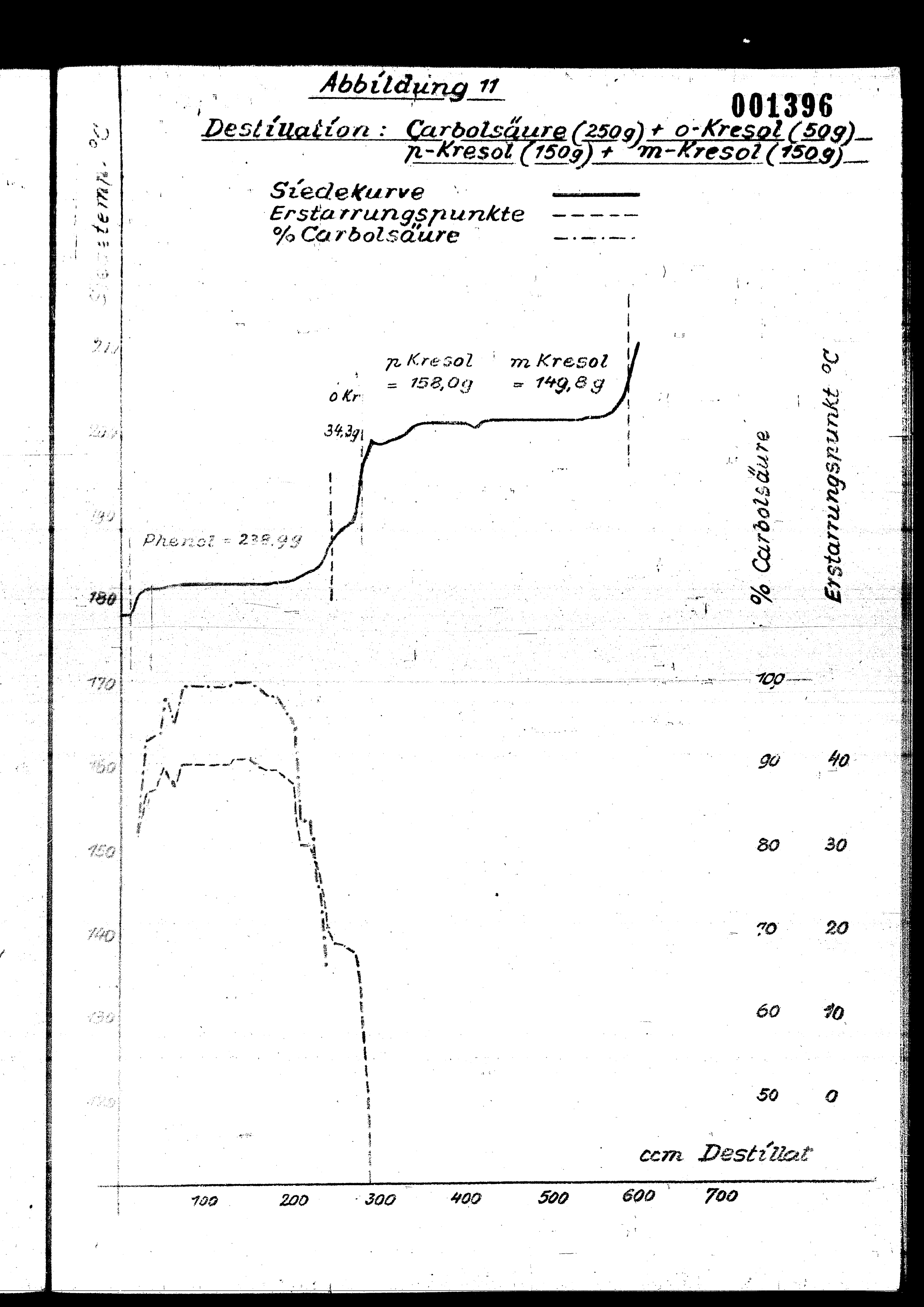


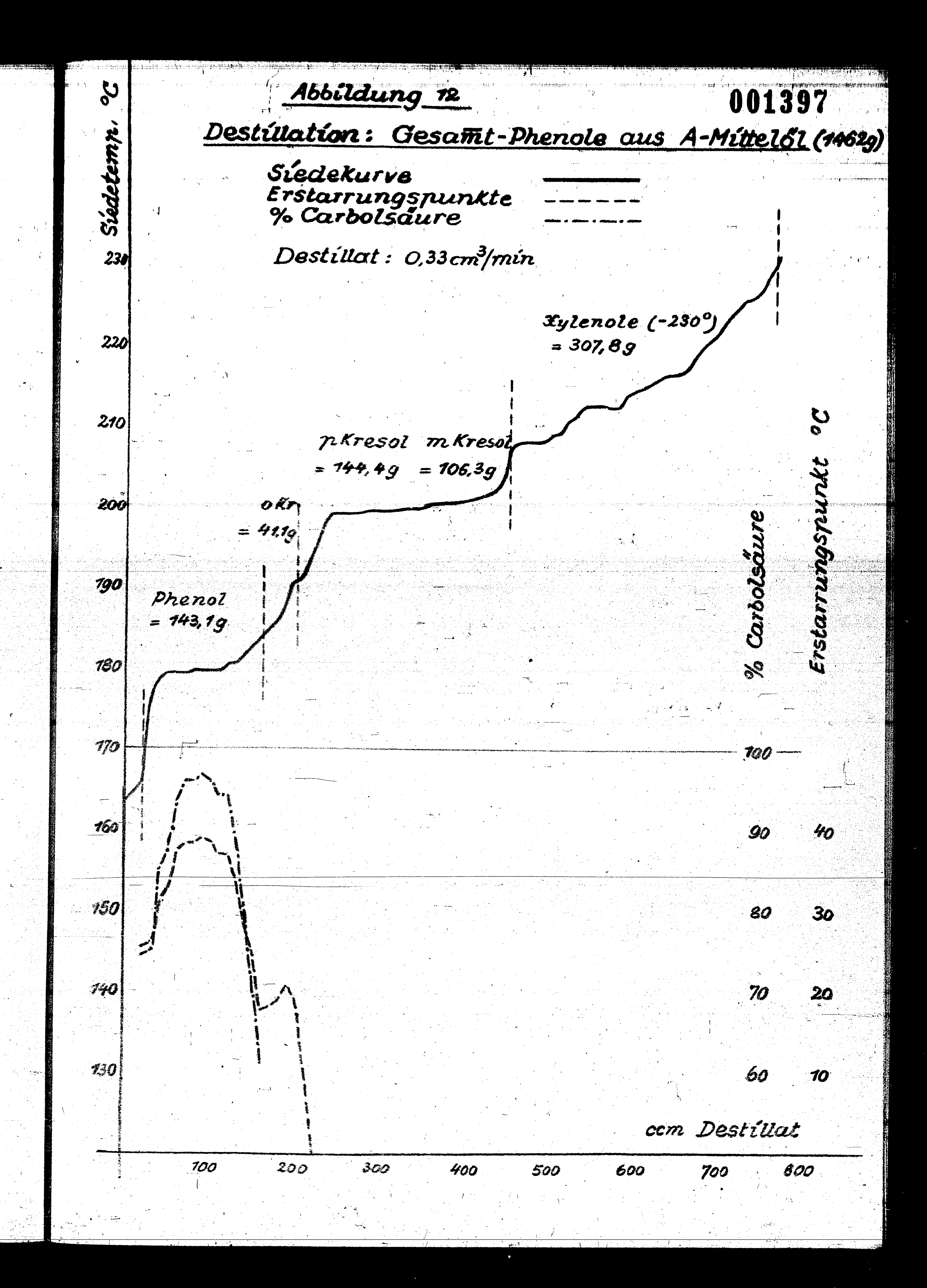


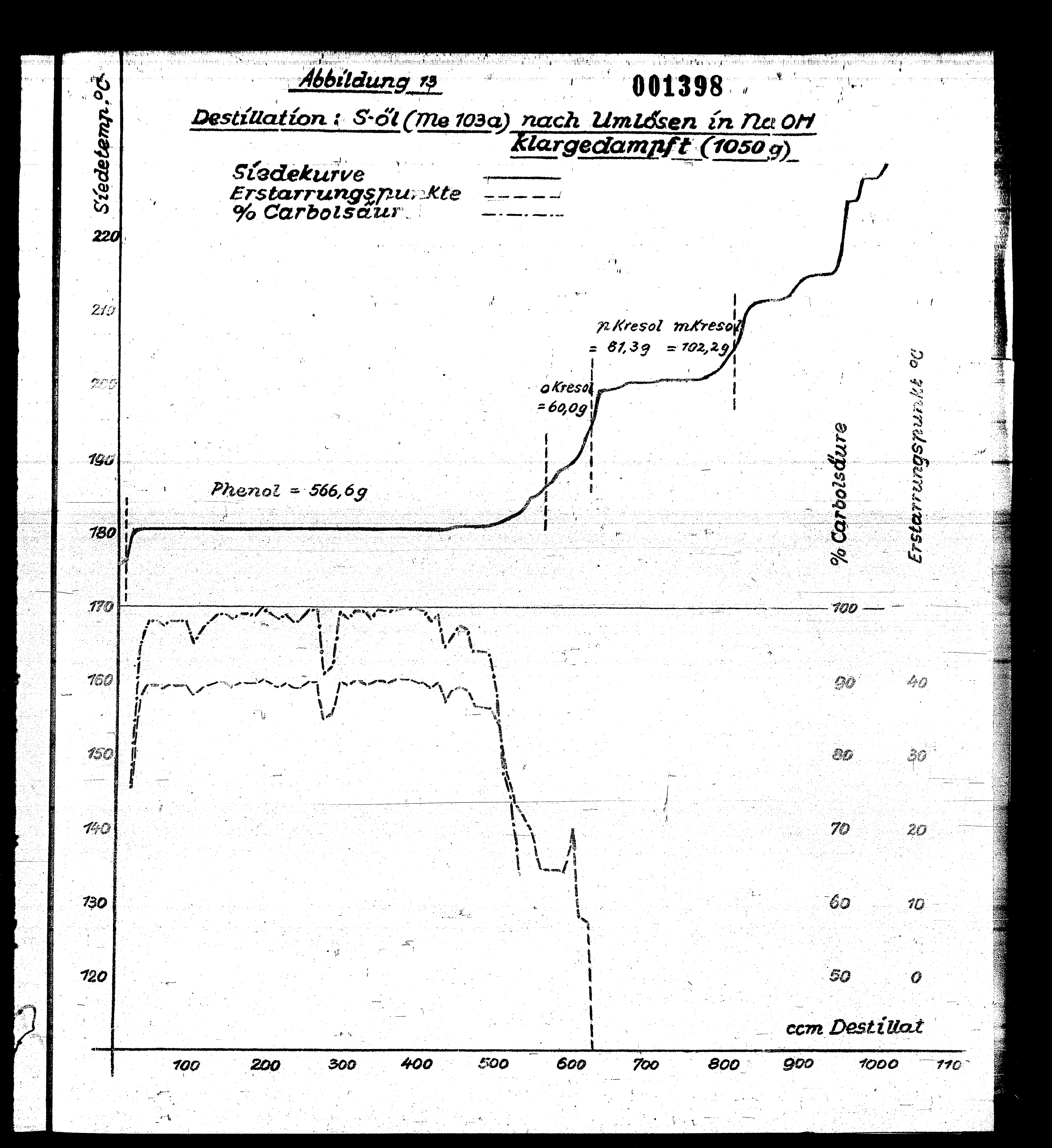
com Destillat

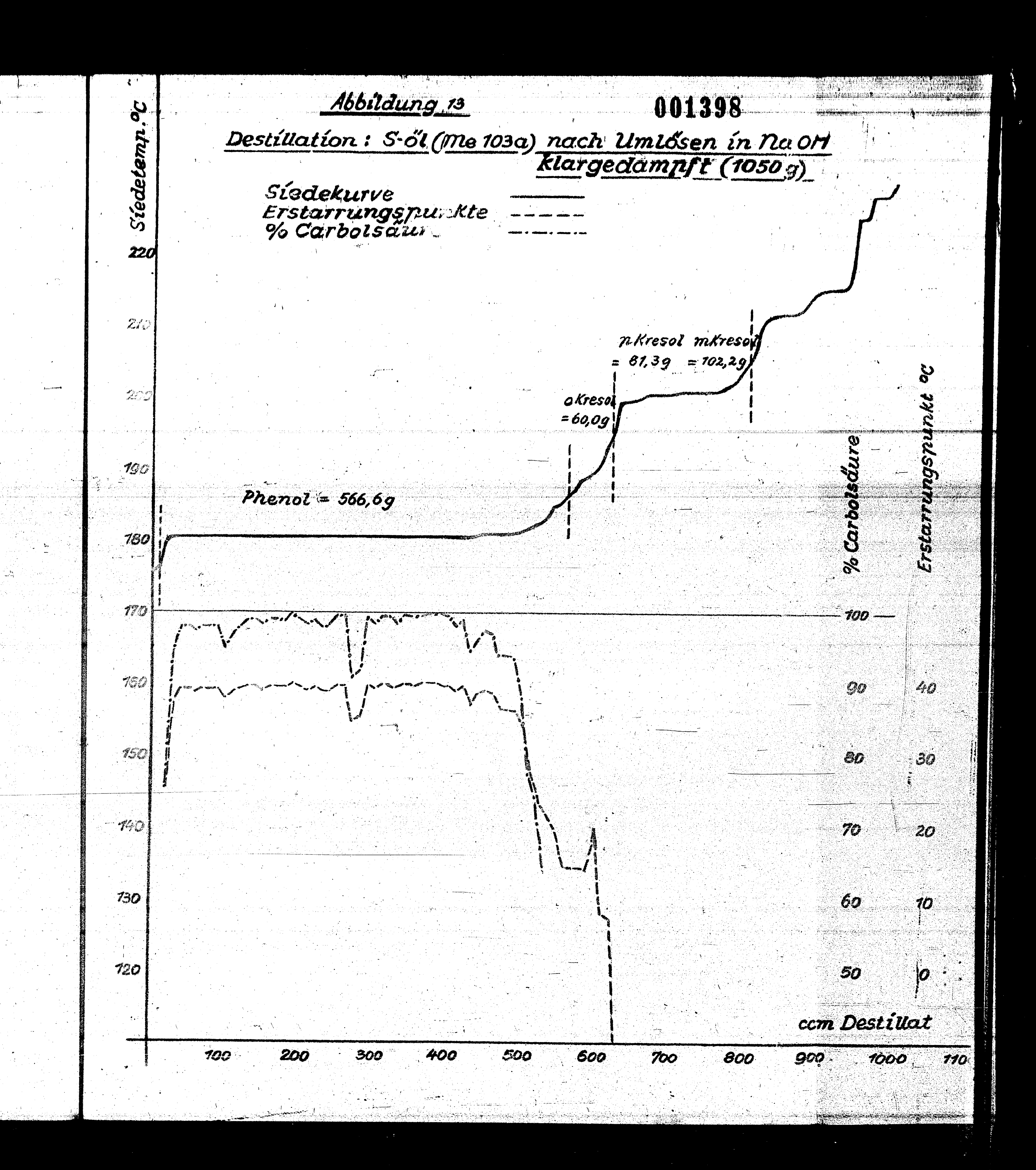


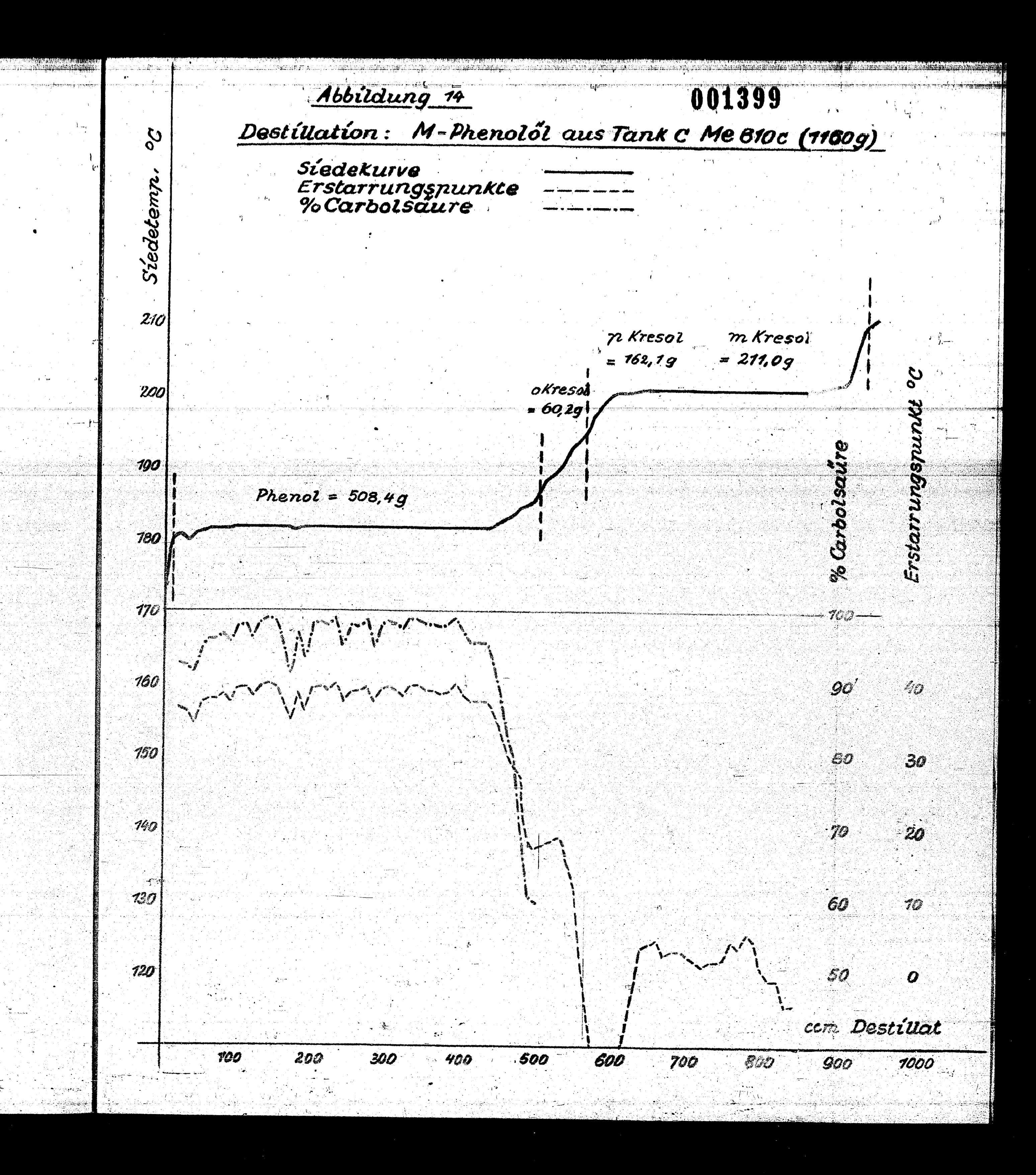


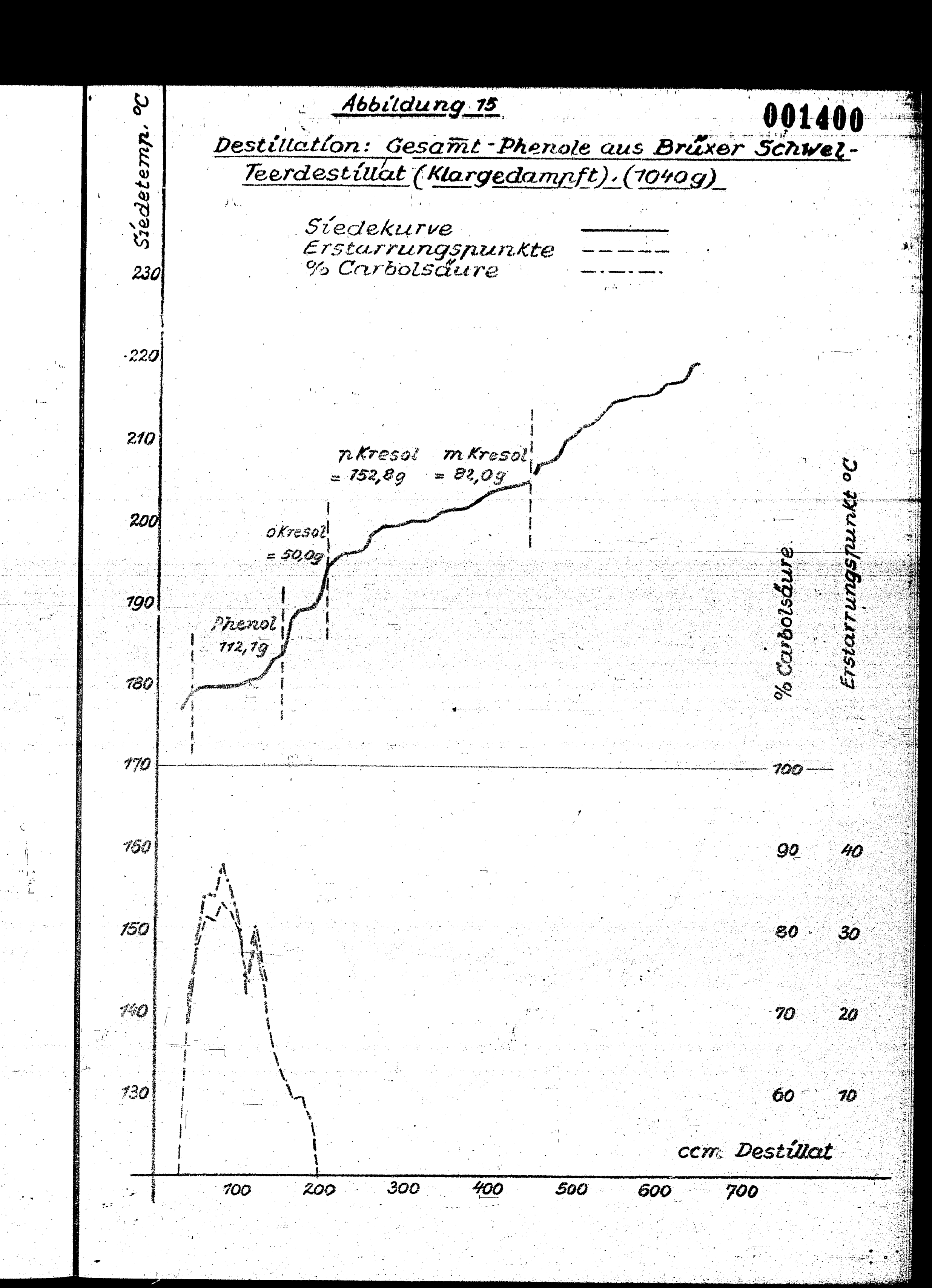












3971-30/4.02-103

Betr.: Anreicherung des Phenolstarkwassers mit Phenol.

Die sogenannten Phenolstarkwässer der Hydrierung (Wässer mit mehr als 0,35 g Phenol pro Liter) werden in Me 820 gesammelt und gehen mit einem Phenolgehalt von 3 - 6 g/Ltr. zur Trikresylphosphat - Entphenolung nach Me 105 a. Bei einer solchen Konzentration arbeitet jedoch die Trikresylphosphat - Entphenolung nicht rentabel; eine befriedigende Rentabilität würde dann eintreten, wenn das zu verarbeitende Wasser eine höhere Konzentration, etwa 8 g/Ltr, besitzen würde.

Es ist deshalb vorgeschlagen worden, das Phenolwasser innerhalb des Betriebes der Hydrierung mit Phenol anzureichern, und swar liegen folgende Vorschläge vor:

Vorschlag 1:

Anstelle von Kondensat ist Phenolwasser in die Hochdruckkammern der Hydrierung einzuspritzen, damit durch dieses "Kreislauffahren" eine Konzentrationserhöhung der Phenole im Phenolwasser eintritt.

Vorschlag 2:

Das in Me 820 gesammelte Phenolstarkwasser wird bei gewöhnlichem Druck und gewöhnlicher Temperatur mit phenolhaltigem Öl, beispielsweise A - Mittelöl, vermischt und absitzen gelassen, wobei es aus dem Öl Phenole zusätzlich herauslöst.

Vorschlag 3:

Das im Versuchslaboratorium Dr. Herold ausgearbeitete und demnächst in einer Großversuchsanlage in der Hydrierung durchzuführende Heißwasser verfahren zur Extraktion von Phenol aus A - Mittelöl wird dahingehend abgeändert, dass anstelle von Kreislaufwasser das anzureichernde Phenolwasser im geraden Durchgang gefahren wird.

Zur Prüfung des Vorschlages 3 hat Herr Dr. Vogt Untersuchungen vorgenommen, über welche an dieser Stelle nicht berichtet werden kann. Dagegen wurden von dem Unterzeichneten Versuche und Berechnungen angestellt, um die Vorschläge 1 und 2 zu prüfen. Es wurden dabei Betriebsdaten, Produktproben und Analysenergebnisse aus dem Betrieb der Hydrierung während des Monates September 1938 benutzt. Einzelheiten über diese Prüfung sind in den Anlagen 1 und 2 enthalten; das Ergebnis der Prüfung läßt sich in folgenden Punkten zusammenfassen:

1) Ergebnis der Prüfung von Vorschlag 1:

Ohne Gefährdung des Betriebes kann lediglich das Einspritzkendensat der Sumpfphasekammern durch gewisse, bei der Verarbeitung der Gasphaseprodukte anfallende Phenolwässer ganz oder besser nur teilweise ersetzt werden. Alle anderen Phenolwässer sind wegen ihrer Zusammensetzung
ungeeignet.-Für die Gasphasekammern bleibt Kondensat als Einspritzwasser
unentbehrlich.

Durch die Phenolwassereinspritzung ist günstigstenfalls eine Anreicherung des Phenolgehaltes im Mischwasser Me 820 um 0,4 g/Ltr zu erwarten, wobei gleichzeitig die Menge des Mischwassers um etwa 7% zurückgehen
würde. Die Mehrausbeute an Phenol bei der Trikresylphosphat - Entphenolung
würde etwa 0,4 t pro Tag betragen.

Die Durchführung der Phenolwassereinspritzung wäre mit erheblichen Kosten und mit einer weiteren Komplizierung des Ofenkammerbetriebes werbunden.

2) Ergebnis der Prüfung von Vorschlag 2:

Laboratoriumsversuche ergaben, dass das Mischwasser Me 820 aus A - Mittelöl soviele Phenole zu extrahieren vermag, dass seine Konzentration um etwa 2 g Phenol pro Liter steigt. Versuche, ob dieses angereicherte Wasser sich mit Trikresylphosphat ohne Schwierigkeiten entphenolieren lässt, stehen noch aus. Die durch die Anreicherung zu erwartende Mehrausbeute der Trikresylphosphatanlage beläuft sich auf etwa 2 t Phenol pro Tag. Für die technische Durchführung des Anreicherungsprozesses würden voraussichtlich keine übermässig hohen Kosten aufzuwenden sein.

Da aber andererseits durch das hierbei gewonnene Phenol die außerhalb des Reichsvertrages frei verkäufliche Benzinmenge (zu spitzenmässigen Gestehungskosten) gekürzt wird, kann die zusätzliche Phenolgewinnung nur dann wirtschaftlich sein, wenn sie zum mindesten dieselben Gewinne erbringt, die der I.G. durch das verringerte Benzingeschäft entgehen.

Blatt 2a

3) Phenolanreicherung des Mischwassers Me 820 und andere Projekte der Phenolgewinnung.

Es ist nun noch die Frage zu prüfen, ob und wie sich die Phenolanreicherung des Mischwassers Me 820 durchführen läßt, wenn die z.Zt. schwebenden Projekte der Phenolgewinnung mach anderen Verfahren verwirklicht werden sollten.

Bei den alkalischen Verfahren (Natronlauge bzw. Natriumsulfidverfahren) wird voraussichtlich das Kaltabstreiferprodukt der Kohleöfen weitgehend entphenoliert werden. Das aus Kalt- und HeißabstreiferGemisch (Gesamtabstreiferprodukt) durch Destillation hergestellte Mittelöl wird dann im Wesentlichen nur noch die Phenole des Heißabstreifers,
d.h. etwa 20% des jetzigen Phenolgehaltes, enthalten. Versuche darüber, ob
sich mit einem solchen phenolarmen Mittelöl noch eine Anreicherung des
Phenolwassers erzielen lassen wird, liegen nicht vor, doch ist mit großer
Wahrscheinlichkeit zu vermuten, dass das nicht der Fall sein wird.

Das Heißwasserverfahren wird das A - Mittelöl als zu entphenclierendes Öl benutzen, würde also der Phenolanreicherung des Mischwassers
nachgeschaltet sein. Das bedeutet, dass dann dem Heißwasserverfahren ein
etwas phenolärmeres Ausgangsprodukt zur Verfügung steht, als wenn die
Phenolwasser - Anreicherung nicht durchgeführt wird. Wie aus Tabelle 1
auf Seite 10 der Anlage 2 hervorgeht, beträgt die Verminderung des Phenol4
gehaltes nur einige Zehntel Prozent, doch ist zu berücksichtigen, dass
dies gerade die wertvollen Phenole betrifft, von denen im A -Mittelöl nur
etwa 3 - 4 % vorhanden sind. Das Heißwasserverfahren kann also durch die
vorgeschaltete Phenolwasser - Anreicherung eine unter Umständen merkliche
Einbuße erleiden.

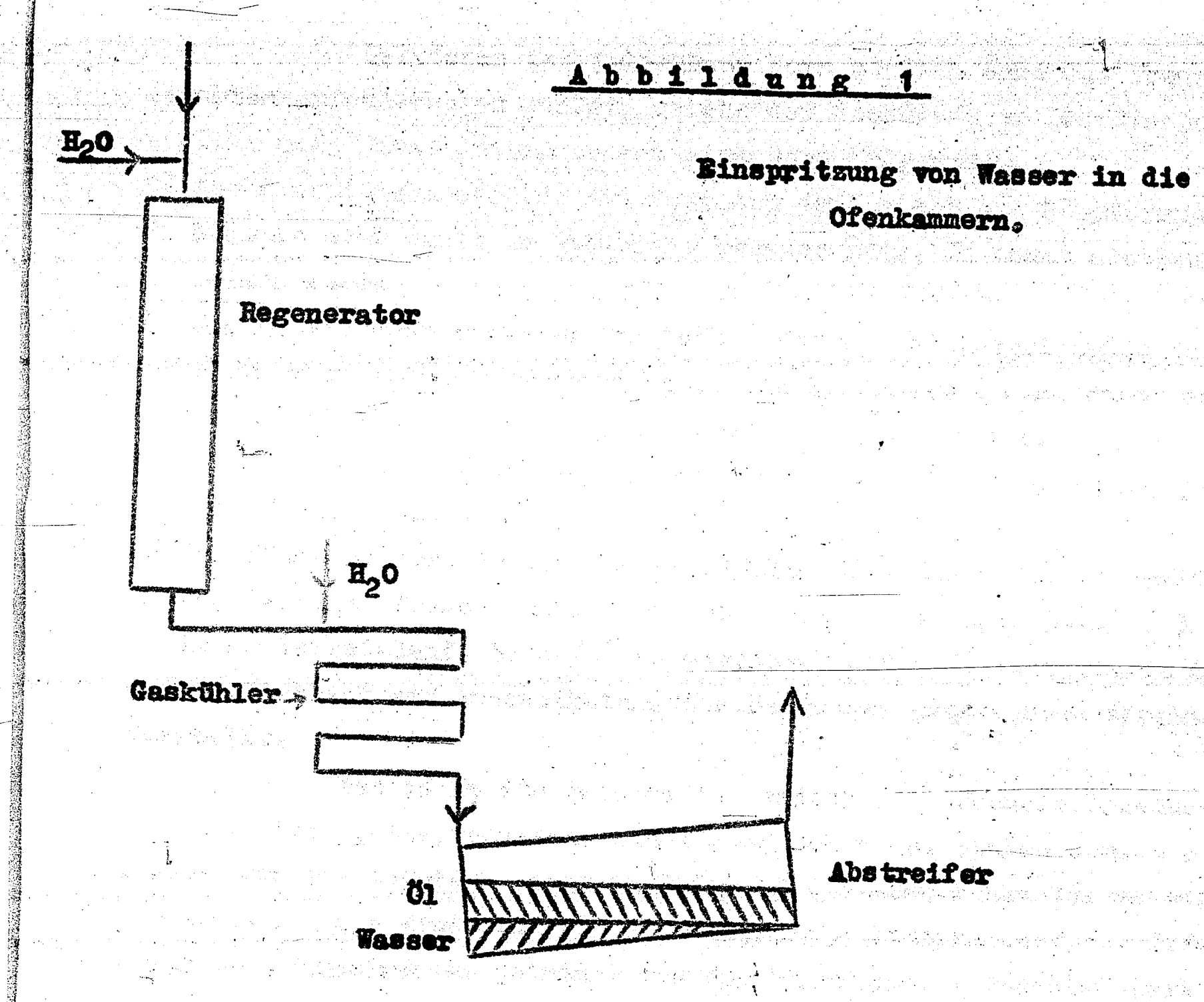
Blatt 3

nlage 1:

Einzelheiten über die Prüfung von Vorschlag 1:

Zur Trikresylphosphat - Entphenolung gehen von Me 820 aus täglich looo - lloo m³ Phenol - Starkwasser - Gemisch mit 3 - 6 g/Ltr. Phenolgehalt. Den folgenden Berechnungen wurde ein Wert von 5,8 g/ltr zu Grunde gelegt (Mittelwert September 1938).

Was die Kondensateinspritzung betrifft, so lagen im September 38 die Verhältnisse an den Hochdruckkammern der Hydrierung folgendermaßen:



Blatt 4.

A) Kon	dens	a to insprit sung	Sumpfphase.		
	5	Kohlekammern	je 9,6 m ³ /Tag	; i.Gaskühler	48 m ³ /Tag
	2		"24 "	n, "	48 •
B) Kone	dens	te inspritzung	Gasphase.		
	F 3	6434-Kemmern	je 24 m ³ /Tag	i.d.Gaskühler -	72 m ³ /Tag
	4	7070- "	ⁿ 24 "	11 11	96 "
		sowie	" 24	i.d.Regeneratoren -	96 **

Insgesamt werden in Sumpf- und Gasphase täglich 360 m³ Komdensat als Einspritzwasser verhraucht. Demgegenüber sei bemerkt, dass der tägliche Anfall an Phenolstarkwasser s.Zt. 1000 - 1100 m³ beträgt. Es könnte also nur ein Teil des Phenolstarkwassers verwendet werden, selbst für den Fall.dass des gesamte Einsprits - Kondensat der Ofenkammern durch Phenolwasser ersetzbar wäre.

Letzteres ist jedochnnur dann möglich, wenn das Phenolwasser bestimmten Anforderungen genügt, welche der Hochdruck en das Einspritzwasser stellen muß. Diese Anforderungen sind etwa folgende!

- 1) Das Einspritzwasser für die Gasphase darf nicht aus Sumpfofenprodukten entstammen oder damit in Berührung gewesen sein, da sonst die Bensinqualität leiden würde.
- 2) Das in die Regeneratoren der 5058 Kammern einzuspritzende Wasser darf nicht mehr Abdampfrückstand haben als Kondensat (d.h. nicht mehr als 1 mg pro Liter, da sonst die Regeneratoren sich verstopfen.
- 5) Sämtliche Einspritzwässer, sowohl der Gas als auch der Sumpfphase, dürfen kein Chlor enthalten.
- 4) Der NH3 Spiegel in den Gaskreisläufen darf durch die Einspritzung etwa NH3-haltiger Phenolwässer nicht über den derzeitigen Stand (5 15 mg/m³ im Kohlekreislauf, 50 mg/m³ im Gasphasekreislauf) steigen, da dieser bereits den im Hinblick auf Ammonbikatonatabscheidungen gerade noch tragbaren Wert darstellt.

Das in Me 820 gesammelte Gemisch alle Phenolstarkwässer stammt z.T. aus Sumpfphaseprodukten, kommt also schon aus diesem Grunde als Einspritzwasser für die Gasphase nicht in Betracht (s.oben Punkt 1). Es wird also notwendig sein, zum mindesten für die Gasphase - Einspritzung, Erfassung der Gasphase - Phenolwässer getrennt von den Sumpfphase - Phenolwässern vorzunehmen.

Im einzelnen fallen, abgesehen von sonstigen in unbedeutender Menge entstehenden Wässern, in der Hydrierung Phenolwässer in folgenden Mengen und mit folgenden Eigenschaften an:

Harris India (maior principal de la descripción de la company de la comp

Figure 1 to the first to the state of the party of the first property to the first to the first of the first of

respondente de la comparta de la com La comparta de la comparta del comparta de la comparta de la comparta de la comparta del comparta de la comparta del la comparta de la comparta de la comparta de la comparta del la comparta del la comparta de la comparta del la comparta del

Confidence in the contract of the contract of

Tabelle

lenge und Zusammensetzung der Phenolwässer der Frariernna (Sentamher 1938)

	Bar	Herkunft	TO THE PARTY THE	Anfa.11 m ² /Teg	8 %	E28	E 73	n 8/1	Phenol 8/1	Addampf- Rückstd. mc/1	
đ	Ke 821	Destillwasser Anlage	3 L-Bi	5	900	70.0		0.0	5.5	4	
3	8	Destillwasser Anlage	Anlage IV Vorhydr.	8	900	2.4		0,0	11,5	\$ 2	
8	S	Destillwasser Anlage V Bi 6434	e V Bi 6434 Ka 11 + 12		5 .		1 000000000000000000000000000000000000	G	C	•	Gesphese-
_ U	8	Abstr.Wasser v.Frod.f.anl.	H	105-122	1,9-4,5	18,8-20,5	72	0.00	2,2-3,3	8	Phenol-
8	8			100-145	4,15,0			060	4,1-4,6	132	YESBOT.
8	91.38 82.38			£ £	0,20	4.54		0	0,07-	4	
2 2 2 2	906 888 883 900	Destowasser TeerabstrDestill. Rohle- " Kohle- " - " Schneckenöfen		25 55 88 55 55 88			erker Kalada uda sakanggalitankan yan sakabbang Kalada	K.0 0 L.0	8,4 \ 7,6 \	nicht unter-	Suaprphase Phenol-
***************************************								1	(60->60		

Blatt 6.

Legt man nun an diese Wässer den auf der vorhergehenden Seite gegebenen kritischen Maßstab an, so ergibt sich folgendes:

1) Einspritswasser für die Regeneratoren der Gasphase.Die Wässer g - k scheiden von vernherein aus ,da sie aus der Sumpfphase stammen.Aber auch die Wässer a - f können nicht verwendet werden,da der Abdampfrückstand weit höher als zulässig ist.

In die Regeneratoren muß also weiter Kondensat eingespritzt werden.

B) Einspritzwasser für die Gaskühler der Gasphase.

Die Wässer g. - k kommen aus dem gleichen Grunde wie unter A) angegeben, nicht in Betracht. Die Wässer d und e werden wahrscheinlich wegen ihres hohen NH3- Gehaltes ausscheiden müssen (siehe Punkt 4 auf
Seite 4). Endgültig könnte diese Frage allerdings erst durch einen diesbezüglichen Großversuch entschieden werden. Unbedenklich erschien sumächst mur die Verwendung der Wässer a, b,c, und f, dech reicht ihre Menge nicht aus. (Anfall 11c m³/Tag, Bedarf 168 m³/Tag).

C) Linspritzwasser für die Sumpfphase.

Auch hierfür scheiden die Wässer g - k aus, und zwar wegen ihres Chlorgehaltes. Die Verwendung der Wässer d und e erscheint wegen ihren hohen NH3 - Gehaltes bedenklich. Die NH3 - armen Wässer a,b,c, und f würden mengenmäßig ausreichen (Anfall 110 m²/Tag, Bedarf 96 m²/Tag).

Ohne Gefährdung des Betriebes wäre es also lediglich möglich, als Einspritzwasser der Sumpfphase die Phenolwässer a, b, c und f zu verwend den Der Gesamtanfall an konzentrierten Phenolwässern würde sich dann also gegenüber dem jetzigen Zustand um diese Henge (96 m³/Tag) d.h.um etwa 9% verringern. Die Frage, ob der restliche Phenolwasseranfall von mengemäßig 91% eine stärkere Phenolkonzentration aufweisen würde, bleibt dann noch zu klären. Am sichersten würde das durch den Versuch geschehen. Doch kann man einige theoretischen Überlegungen anstellen, ob eine solche Anreicherung überhaupt möglich ist.

Die Verhältnisse im Gaskühler und in der Abscheideflasche liegen etwa folgendermaßen:

Das Abstreiserwasser, das sich aus Beaktionswasser und Einspritz-Wasser zusammensetzt, besindet sich hinsichtlich seines Plenolgehaltes mit dem Abstreiserprodukt (Öl) im Gleichgewicht. Dieses Gleichgewicht ist nach dem sogenannten Verteilungssatz abhängig von der Öl - und Wassermenge uhd von der Gesamtmenge des anwesenden Phenols.

Blatt 7.

Spritst man anstelle von Kondensat die gleiche Menge Phenolwasser ein, so undert sich öl - und Wassermenge nicht, degegen wird die Phenolmenge um den Phenolgehalt des eingespritsten Phenolwassers erhäht. Die susutsliche Phenolmenge ist jedoch im Vergleich zu der vorher schon vorhandenen Phenolmenge sehr gering, wie folgende Überschlagsrechnung seigt:

A. Phenolmenge im 01:

Anfall an Kaltabstreifer ca 770 - 860 m³/Tag
mit etwa 8% Phenol = 61 800 - 68 800 kg/Tag

Phenolmenge im Abstreiferwasser:

Anfall an Abstreiferwasser ca 275 m³/Tag mit

6,2 - 6,5 g/L

1 700 - 1 800 kg/Tag

Gesamtsumme Phenol

63 - 70 000 kg/Tag

B Phenolmenge im eingespritzten Phenolwasser.

Menge 96 m³/Tag

Phenolgehalt Mischwasser a + b + c + f = 4,3 g/L

Zusätsliche Phenolmenge :

4lo kg

Die zusätzlich mit dem eingespritzten Phenolwasser dem System zugeführte Phenolmenge beträgt also nur etwa 0,5 - 0,6% der bereits im System vorhandene Phenolmenge dürfte also auf das Gleichgewicht überhaupt keinen merklichen Einfluß haben. Daraus folgt, dass das Abstreiferwasser im Falle der Phenolwassereinspritzung die gleiche Konzentration von 6,2 - 6,5 g/L Phenol haben wird, wie im Falle der Kondensateinspritzung.

Hieraus folgt weiter, dass es nur dann Sinn hat, Phenolwasser einzuspritzen, wenn dessen Konzentration wesentlich geringer ist als die des Abstreiferwassers. Wäre seine Konzentration höher, so würde sogar Phenolaus dem Einspritzwasser herausgelöst werden und ins Öl übergehen. So haben in der Tat Versuche von Herrn Dr. Höhn ergeben, dass es möglich ist, phenolreiche Wässer durch Schütteln mit phenolarmen Ölen weitgehend zu entphenolieren. Technisch wird dieser Effekt bereits seit längerer Zeit (seit April 1937) im Hydrierwerk Scholven ausgenutzt. Dort werden aus dem sehr phenolreichen, als Einspritzwasser für das Hochdrucksystem benutzten, Phenolwasser erhebliche Mengen Phenol vom Öl herausgelöst, wie folgendez, der betr.Patentanmeldung von Scholven entnommenen Zahlen zeigen:

Es werden eingespritzt:

loo m³/Tag Phenolwasser mit 29 g/L Phenol gleich 2,9 t Phenole;
erhalten werden 180 m³ Abstreiferwasser mit 3 g/L Phenol gleich
0,54 t Phenol. D.h. vom öl werden 2,36 t Phenol oder über 80%
der im Einspritzwasser enthaltenen Phenole herausgelöst.

Blatt 8.

Demgemäß liegt der Erfolg dem Scholvener Verfahrens in einer Verminderung der ins Abwasser gelangenden Phenole.

Die in unserem Falle gestellte Aufgabe ist dem jedoch gerade entgegengesetst, und sie wird umso besser gelöst werden, je niedriger die Phenolkonsentration des Einspritswassers ist. Mun ist swar die Konsentration des Mischwassers a + b + c + f mit 4,3 g/L niedriger als die des Abstreiferwassers (6,3 - 6,5 g/L) (Fall A). Günstiger würden jedoch die Verhältnisse liegen, wenn man aus obigem Gemisch das phenolreichere Wasser b (mit 11,5 g/L Phenol) wegließe. Jedoch reicht dann die Restmenge, die sich aus den Wässern a + c + f susammensetzt, nicht mehr aus, um den Bedarf an Einspritswasser zu decken (Anfall 76 m³/Tag, Bedarf 96 m³/Tag). Man müßte dann dem Gemisch noch 20 m³/Tag Kondensat susetsen und hätte dann 96 m³/Tag Einspritswasser mit etwa e,7 g/Ltr Phenolgehalt sur Verfügung (Fall B)

Rein rechnungsmäßig würde sich ein Vergleich zwischen den s.Zt.
-und dem im Fall A oder B anfallenden Mengen an konzentrierten Gesamtmisch-wasser und deren Konsentration etwa folgendermaßen darstellen:

Jetziger Zustand (September 1938):

Anfall \sim loop n^3/Fag Konsentration 5,8 g/L

Fall A:

Anfall:looo = 96 m³ = 904 m³/Tag

Konsentration: 1000 • 5.8 = 96 • 4.3 = 5.95 g /L

Fall B:

Anfall: 1000 - 76 = 924 m³/Tag

Konsentration: 1000 • 5,8 - 76 • 0,7 = 6,2 g/L

Es ließe sich demnach prinzipiell eine Anreicherung der <u>Phenol-konsentration</u> im Gesamtmischwasser von 5,8 auf 5,95 bzw. 6,2 g/L erzielen, wenn das bisher als Einspritzwasser für die Gaskühler der Sumpfphase benutzte Kondensat ganz oder teilweise durch gewisse, besonders hierfür geeignete Phenolwässer ersetst würde, wobei eine Verminderung der <u>Gesamtmenge</u> an Phenol -Hischwasser um etwa 9 bzw. 7 % eintreten würde.

Blatt 9.

Die <u>Durchführung</u> dieser Maßnahmen wäre jedoch mit erheblichen Kosten (getrennte Zuführung der ausgewählten Wässer sum Hochdruck) und mit einer weiteren Komplizierung des Ofenkammerbetriebes (Einspritzung verschiedener Wässer: Kondensat in die Gasphase, Phenolwasser in die Sumpfphase) verbunden.

Blatt lo.

Anlage 2.

Einselheiten über die Prüfung von Vorschlag 2:

Das Destillationswasser der Kohleabstreiferdestillation Me 888 steht hinsichtlich seines Phenolgehaltes mit dem des Destillates (A-Mit-tel81) im Lösungsgleichgewächt. Die Lage dieses Gleichgewichtes war im September 1938 so, dass des Destillationswasser 7,6 g/L Phenole enthielt.

Das in Me 820 gesammelte und von dort sur Entphenolierung gehende Phenolwasser enthält nur 3 - 6 g/L Phenole, besitzt also eine niedrigere
Phenolkonzentration als das eben erwähnte De illabionswasser. Es ist also
anzunehmen, dass das Mischwasser aus dem A - Mittelöl noch Phenole zu extrahieren vermag.

Diese Annahme wurde durch Laborstoriumsversuche geprüft.Da der Anfall an Mischwasser und A - Mittelöl mit je etwa 1 000 m³/Tag größenord-nungsmäßig gleich ist, wurden gleiche Volumenteile davon unter verschiedenen Bedingungen geschüttelt, dann absitzen gelassen und die Zunahme des Phenolgehaltes im Wasser bestimmt. Ergebnisse sind in der folgenden Tabel-le 1 enthalten.

Tabelle 1.

Vers. Nr.	Art des Schüt- telns	Temp.	Phenole A -Mitt vorher	ehalt des elöls % nachher	Was	ehalt des sers nachher	Zunahme der Phenolgeh. im Wasser.
	Schütteltrich- ter von Hand	40°			" 4, 0	6,7	2,7
2		40°	10,8	10,7	5,8	7,2	1,4
3		20°	13,4	13,1	4,1	7,3	3,2
4		200	12,1	11,9	4,2	6,4	2,2
5		20°	10,8	10,7	5,8	7,2	1,4
6	rotierende Schüttelma-		· Comment of the comm				
	schine	200	10,8	10,6	5,8	7,4	1,6

Es trat also bei allen Versuchen eine Anreicherung des Phenolgehaltes ein. Die Schütteltemperatur hatte keinen Einfluß. Auch der Einfluß der Art des Schüttelns war nur gering. Dagegen war der Phenolgehalt des anzureichernden Wassers und des zu extrahierenden Öles von Bedeutung: je niedriger der Phenolgehalt des Wassers und je höher der des Öles, umso größer war auch die Anreicherung.

Im Mittel wird man mit einer Steigerung des Phenolgehaltes um 2 g/L rechnen können. Der Gehalt an H₂S, NH₃ und CO₂ wird nach dem Ergebnis der Laboratoriumsversuche keine merkliche Änderung erfahren.

Blatt11.

Die Frage, ob die Natur der im angereicherten Wasser enthaltenen Phenole eine andere ist wie die im unbehandelten Wasser, wurde dadurch geprlift, dass aus beiden Wassern die darin enthaltenen Phenolöle isoliert
und einer Kolonnendestillation unterworfen wurden. In der Tabelle 2 sind
die Ergebnisse der Kolonnendestillationen zusammengestellt. Ergänsend sind
in der Tabelle die Daten der in einigen anderen Phenolwässern der Hydrierung
enthaltenen Phenolöle eingetragen.

Tabelle 2.

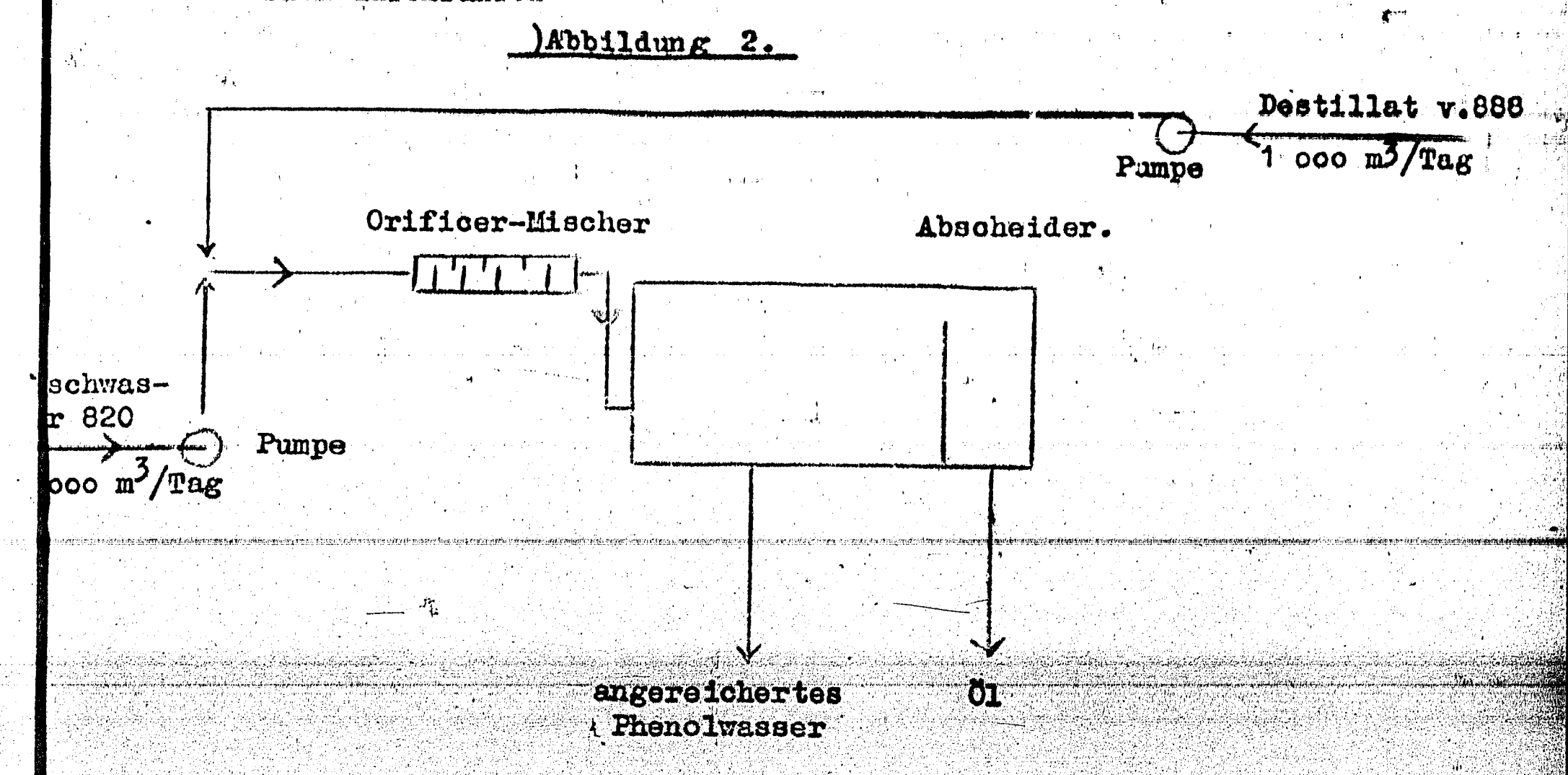
Herkunft des Was-	Kolonnendestillation des daraus isolierten Phenolöls								
5078 Literann, Life annes en hat e n er en hat die water en andere en hat. Han prop	na nakaninahasi	k t 1 o n	rosen), costi samplassam radioniy ammunan	Rickstd,	Phonol				
	180-200°	200-210°	210-2250	über 225°	gehalt Frakt. 180-210				
and the second of the second o	in Vol. % des über 180° siedenden Glanteiles								
Mischwasser Ne 820	52,7	4,3	1,2	41,8	98,8				
Mischwasser Me 820 an- gereichert	53,4	1,1	e.5	45,0	98.6				
Abstr.Wasser Me 809 (Sumpfphase)	55,8	4.3		38.5	99.2				
Destill.Wasser Kohle- abstr.+Teerdestilla- tion Me 888/906 2:1									
tion Me 888/906 2:1 gemischt	36, 0	2,5	1,8	59.7	99.3				
Rückstd.Aufarb.Me 883 Schwelwasser	37,0	7,6			99,2				

Die Unterschiede zwischen dem Phenolöl aus angereichertem uhd nicht angereichertem Mischwasser sind gering und liegen innerhalb der durch die Untersuchungsmethode bedingten Fehlergrenzen. Demnach dürfte die Qualität des in der Trikresylphosphat – Entphenolung aus dem angereicherten Wasser zu gewinnenden Phenolöls nicht wesentlich von derjenigen des z.Zt. erhaltenen verschieden sein. Die Eignung zur Trikresylphosphat – Behandlung hängt jedoch noch von anderen Eigenschaften des Wassers (z.B. Neigung zur Emulsionsbildung u.dergl.) ab. Ein Urteil hierüber kann jedoch erst nach Durchführung eines Großversuches von etwa 6 Wochen Dauer abgegeben werden. Zur Herstellung der für einen solchen Versuch benötigten Mengen an angereichertem Wasser (1 m³/Std.) mußten besondere Einrichtungen getroffen werden.

Be-ist-mun-moch die Prage ou prifes, ch und wie eich die Phonoiaureicherung des Mischwessers No. 820 durchführen 1524, wenn die 2.24. solwe

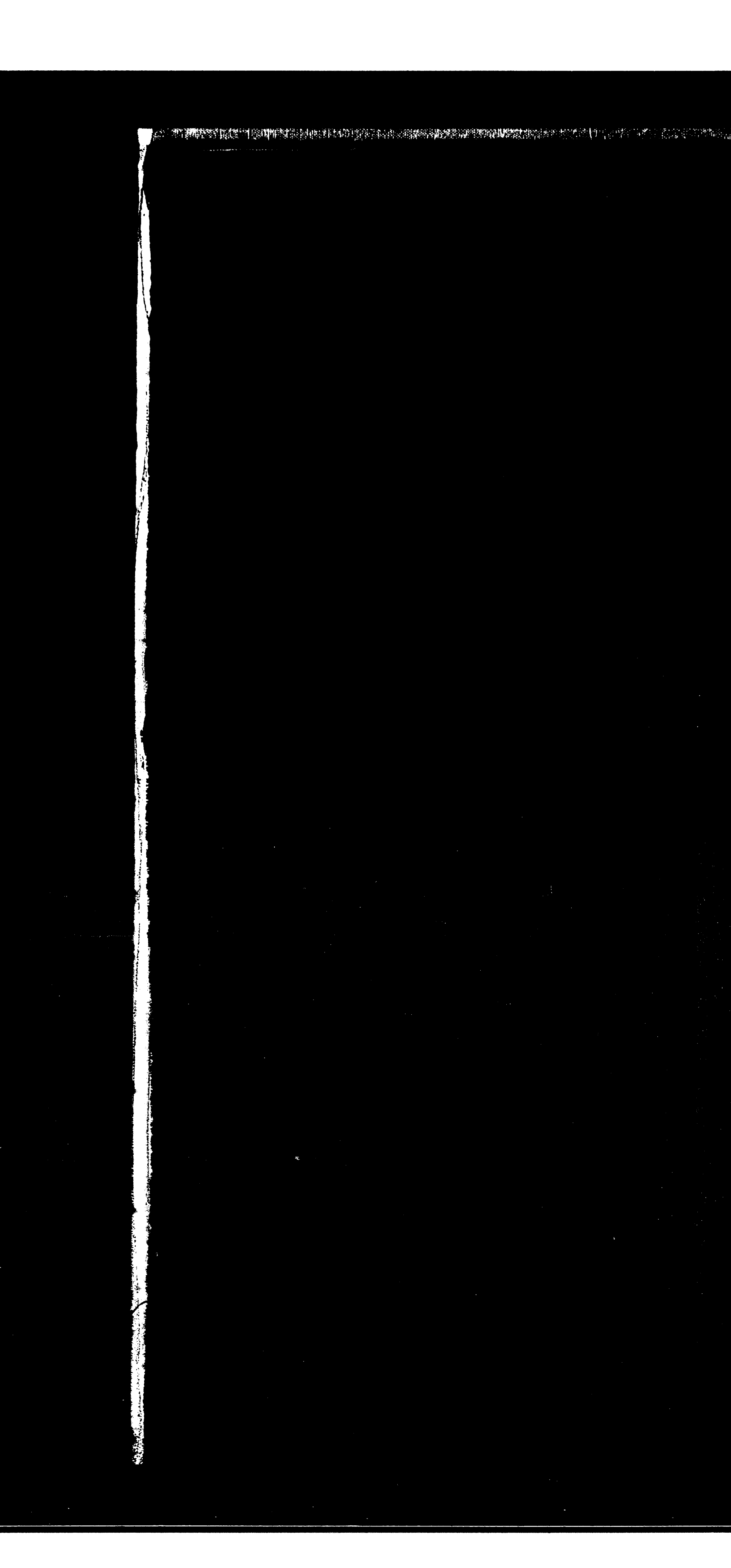
Technisch läßt sich die Phenolanreicherung des Mischwassers

Me 820 mit A - Mittelöl gemäß nachstehender Skizze verhältnismäßig einfach durchführen



Insbesondere würden größere Kosten durch neu zu verlegende Rohrleitungen nicht entstehen, falls die Anreicherung in Me 820 vorgenommen würde. Das Phenolwasser wird an dieser Stelle schon jetzt gesammelt, und die Anfallstelle des A - Mittelöls befindet sich in Me 888 in unmittelbarer Nachbarschaft.

Dir.Dr.v.Staden,
Dr. Schunck,
Dr. Herold,
Dr. Koppe,
Dr. Bähr,
Dr. Becker,
Dr. Bemmann,
Dipl.Ing. Fußhüller,
Dr. Höhn,
Dipl.Ing. Karl,
Dr. Kimmerle,
Dr. Ober,
Dr. Schick,
Dr. Schick,
Dr. Ufer,
Akten Hydr.,
3 Reserve.



3979-30/402-104

Extrakticu

eines Gasöls (rumän. Erdől) mit Phonei

Hugo Pohl

fore Werke, den 30. 25

Inhalt

• The second		Seit
Einleituage		
1	to age to the control of the control	•
	- Zweith der Verswehe - Modellversuche	4
	Aufgahengheling	· · · · · · · · · · · · · · · · · · ·
		•
A T T as a second of sa		_
		?
		eria.
	Apparatures and Arbeitsweise	
a di Santa da Santa d		
	15slichkeit	
	Selektivität	
	Analytische Methoden	12
	있는 보고 모르고 있으면 생각이 되었다. 보고 있는 사람이 되었다. 현수는 생각이 되었다. 보고 보고 말하는 것은 이 모르고 있다. 그런 보고 있다. 	
	사람이 되는 것이 살아가는 것이 되었다. 그런 사람들이 나는 것은 것이 되었다. 사람들은 것이 되었다. 사용하는 것이 많은 것이 되었다. 그런 사람들은 것이 되었다. 그런 것이 되었다. 그런 것이 되었다. 그런 것이 되었다.	
Spezielier	요 <mark>한 교육을 통통하다</mark> 면 중요한다. 전환 경기에 되어 되었다. 그래 되었다는 그래 가는 것이다. 그래	
	Everieries Endül	
	Allgemeine Erwägungen Auswahl des Lösungsmittel	
	aliby-Absitz-Appearatur	15
gradus (1964) (1964) i 🛶 (1964) i santa tanggaran Santa (1964) i santa santa (1964). Tanggaran	S. <u>Kicht kydriertes Endöl</u>	ne dike T ond 18
		. · · · · · · · · · · · · · · · · · · ·
•	1.) Auswahl des Lödungsmittels	19
	Veriationsmöglichkeiten für Fhemol als <u>IM</u>	20
	2.) Esffinstabacheidung durch Ab-	· · ·
	kühlung	21
	3.) Bühr-Absits-Apparatur	2 3i
	4.) Kolomenextrektion	26
en e	- Eerstellung grösseren Baffingt	anana de de
		27
	Herabsetzung des IM/81-Verhält	012 5 -
	Absobligarende Versuche	29
	Technische Arbeitsbedingungen	•
	Lianngsaittelrückgevinnung Bestehende Verlahren	. 30
	on a serve Die Siedelage Resolasiis ver die	
	Verdünnnesvermeh.	

Dechnische Austüberng Enlkulation

និក្ខេត្តក្រុងនេសស្_ន

34

2-104

33

Total en

1 - 26

Einleitung

Die Zerlegung von Kohlenwasserstoff-(KW)-gemischen bezw. deren Fraktionen durch Extraktion mit selektiven Lösungsmitteln (LM) wird in aller Welt intensiv studiert. Es handelt sich hierbei meist entweder um Benzinzerlegung in verschieden klopffeste Anteile oder um Schmierölextraktion.

Zweck der Versuche.

Hiervon sind die hier beschriebenen Extraktionsversuche unterschieden durch ihren Zweck, nämlich brauchbare <u>Einsatzöle für die Mesaponherstellung</u> zu liefern. Der Siedebereich dieser öle liegt im wenig bearbeiteten Gasölgebiet.

In den Arbeiten des Versuchslaboratoriums (Dr. Asinger u. Mitarbeiter) wurde zur Sulfochlorierung zumächst das Kogssin II der Fischersynthese (230-320°) nach Hydrierung (Mepasin) verwendet. Diese chemisch einwandfreie Rohstoffgrundlage erwies sich für die weitere Planung als unzureichend. In den entsprechenden Erdölfraktionen schien ein mengen-und preismäßig genügender Rohstoff gegeben zu sein.

Es ergab sich aber, daß die aus geeignet erscheinenden, also paraffinischen und durch Hydrierung raffinierten Erdölfraktionen erhaltenen Sulfonate zwar genügend kapillaraktiv, aber fast schwarz gefärbt waren. Trotz starker Verdünnung beim Waschen war ein Aufziehen der Farbe auf die Faser in Waschversuchen zu beobachten.

Modellversuche.

Aus Modellversuchen des Versuchslabors (Dr.Eckholt) ging hervor, daß vor allem mehrkernige kondensierte Naphtene zu stark gefärbten Sulfonaten führen. Einkernige Naphtene mit Seitenketten erwiesen sich als unschädlich. Die ursprünglich vertretene Annahme, der tertiäre Kohlenstoff schlechthin sei der Schuldige, bestätigte sich also nicht. Es lag von vornherein nahe, die erwünschten Anteile in den paraffinischen Raffinaten zu suchen, da sie ja dem hervorragend geeigneten Mepasin am Shnlichsten sind.

Aufgabenstellung.

Zur Erzielung nicht oder doch möglichst wenig gefärbter Sulfonate wurden Versuche im folgenden Richtungen vorgesehen:

- 1.) Nur teilweise Umwandlung in Sulfonate, die so wesentlich heller ausfallen. Vor Verwendung des Restöls als Dieselöl sind noch einige dessen Chlorgehalt betreffende Fragen zu untersuchen.
- 2.) Auffindung eines geeigneteren Naturprodukts. (Nicht sehr aussichtsreich.)
- 3.) Vorbehandlung derzeit greifbererer Erdölfraktionen durch Extraktion mit selektiven LM.:
 - a) unter Verwendung von 802. Die Bearbeitung dieser Richtung wurde der Edeleanu-Gesellschaft iibertragen;
 - b) mit anderen selektiven LM. Die Bearbeitung wurde von der Hydrierung übernommen, in Me 907
 Augus: 1940 März 1941 ausgeführt und : Gegenstand dieses Berichts.

Aufgabe.

Aus Erdölfraktionen des Gasölbereichs (230-400°) sollen durch Extraktion mit selektiven LM (außer SO) Anteile gewonnen werden, die nach ihrer Sulfochlorierung und Verseifung ungefärbte, als Waschmittel brauchbare Sulfonate ergeben.

Die einzusetzenden Öle werden durch schonende Hydrierung vor oder nach der Extraktion raffiniert. Es ist also die Extraktion des ursprünglichen sowohl wie des hydrierten Erdöls zu untersuchen.

Allgemeiner Teil

Apparaturen und Arbeitsweise.

Zur Durchführung der Versuche wurden folgende Verfahren und Apparate angewandt:

1.) Big Saujer Millione canadro (1) Anglicelle Society in the other period of the anglice of a finite and a f

్డికి కారణం పైపడికుడ్ కొడ్టారుకుంటే తెలిపారుగుకోందారా మెద్దికారికి కొన్న కారార్ లో కార్డ్ కొడ్డుకుంటే కార్డికి రాజం పోట్లుకే కారణం మంద్రం కొన్నికి మాలోగా కొన్నా పైమునకే ఆస్ట్ మెద్దర్ కొమ్ము కొండుకుంటే కృష్ణ కొండు. రాజం కారణం కారణం కారణం కారణం కారణం కారణం కొండుకుంటే కారణం కొండుకుంటే కారణం కొండుకుంటే కారణం కొండుకుంటే కారణం క

Pu) Lacides Tie Word and procedimine The generation of a

<u>- Granted atentional mathins in I diff deathring Thaten (but he passed</u> - Lodger) sugarandi

Case Poles is 200 -- In the Land of The Land of The Land of La

Anna bei anderen Öl/126 Ferhülinissen als 1:1 warde die Gestabbelastung

Ille Anderglehilter II. die lie Punper (Pledre Echnradpunpen) wurde die untere Schicht der abeitugefüße benutst. Dies führte bisweilen zu Schwankungen der Phanengrenafläche und desit euch des Reffinatüber- laufs. Die Pecthogung der Grenzfläche althele Syphon und folgenden Andauggefüß für die Pumpe, mie apäter bei der Säulenenbrehische bergeschrieben.

Die an sich elegante Methode des Aufpumpens des IM durch Prestaft nach den Mannutprinzips führt au Verspopfungen infolge Abkühlung (St.P.des Phenols 41°, mit 5 % H₂0 18°) und zu unabschätzbaren Wasserverlusten des IM.

Durch stufenweise Zugabe von Wasser war die Herstellung eines Lös-Lichkeitsgefälles vorgesehen

Die Temperatur was nicht regulierbar Alle Versuche wurden bei Roumtemperatur ausgeführt (eben 23°)

De bei einmaligem Durchgang des Öls von beispielsweise 100 % IM nur wenig Extrakt berausgeläst wird, wurde die so erhaltene Antitiet (I):

Raffinat I-schicht) extrahiert usw. In jedem Druchsetz herrscht also Gegenstrom dew Öls bzw. Raffinats und des frischen IM.

Beispiel für 5 Durchdätte mit je 100 % IM:

Beispiel für 5 Durchsätze mit je 100 % LM:

വള	1.Durchsatz	2.Durchsatz	3. Durchsatz	4.Durchsatz	
	Raff	.I	CE.II An in the Section in Large Well-S.	Raff.III	Raff. IVEndraffinat
	A service and the service of the ser		Appendix of the second	IIIIII	— ЦББДД
				,n 	
	100 %	// 100 %	10	o 4.V	100 % 100
Extro schio	ict- frisch.Ext	trekt II fr.	Ertr. III f	r. Expr.IV M	fr. Extr.V - fr IM IA

3.) Kolonnenextraktion

Da für Sulfochlorierungsversuche größere Raffinatmengen benötigt wurden, wurde eine größere Apparatur gebaut. Sie wurde als Kolonnenapparatur ausgeführt, um diese Arbeitsweise mit dem batch-Verfahren vergleichen zu können, vor allem aber, weil hierbei die Einstellung und Einhaltung bestimmger Temperaturen besser möglich ist. Die Ermittlung wirtschaftlichster Extraktionsbedingungen verlangte die Ausdehnung der Versuche auf höhere Temperaturen, da dadurch das LM/Öl-Verhältnis stark gesenkt wird und dadurch die Kosten der LM-Rückgewinnung sich wesentlich verringern.

Die Anordnung der Apparatur ist aus Tafel 2 zu ersehen. Die Säulen sind aus Glas und je 2 m lang und 5,8 cm weit. Bis auf 20 cm oberen und 25 cm unteren Beruhigungsraum sind sie m t gläsernen 8 mm-Raschig-ringen gefüllt. Alle Säulen, Leitungen und Ansauggefäße besitzen Warm-wassermäntel, deren Wasser durch Dampfbrausen temperiert wird. Ein Temperaturgefälle ist nicht beabsichtigt, doch besteht vermutlich ein solches von etwa 3° von oben nach unten in jeder Bäule. Die Säulen untereinander sind temperaturgleich.

Der Syphon für die ablaufende untere Schicht war so eingestellt, daß die Grenzfläche zwischen Raffinat- und Extraktschicht etwa 30-35 cm über dem unteren Ende der Säule lag. Fast die gesamte Füllkörperzone stand also voll öl als kontinuierliche Phase, durch die das IM in sehr guter Verteilung (Tröpfchen von etwa 2 mm p) herabrieselte. Hiebei waren kleinere rückläufige Wirbel zu beobachten.

Die Verteilung des Öls im LM in den untersten 30-35 cm konnte nicht beobschiet werden, da das LM zu dunkel war.

Belastbarkeit.

Die maximale Belastbarkeit Öl + LM einer Säule ist abhängig vom angewandten Öl/LM-Verhältnis.

Die relative Geschwindigkeit der Tropfen in der umgebenden kontimuierlichen Phase bewegt sich für etwa gleiche Tropfengröße in engen Grenzen; denn sie resultiert aus wenig veränderlichen Kompenenten (Auftrieb und Reibungswiderstände.)

(Ungefähre Richtwerte: Paraffinische Öltropfen von etwa 2-3mm ø steigen in 92 %igem Phenol bei 30° mit 7-8 cm/sek hoch; etwa gleichgroße Trop-fen 92 %igem Phenols bei 30° fallen durch dieses öl mit 8-9 cm/sek.)

Blatt 6 _

4. A

Die kontinuierliche untere Schicht LM darf sich durch den noch freien Querschnitt nicht schneller abwärts schieben als die Öltropfen relativ in ihr aufsteigen, da sonst das Öl keine absolute Geschwindigkeit besäße und sich stauen müßte.

Ebenso müßte eine Aufwärtsbewegung der Ölsäule, die schneller ist als die relative Fallgeschwindigkeit der LM-Tropfen in ihr, zur Stauung des LM am Kopf der Säule führen.

Für 1 cm²leeren und durch Seitenwände unbehinderten Querschnitts würden sich bei beispielsweise 7,5 cm/sek relativer Steiggeschwindigheit der Öltropfen im LM folgende Höchstbelatungen errechmen:

rach-	absolute Vertikalge- schwindig-		spruch te %	L M absolute Vertikalge schwindig-	Durch- -gang	Ge- samt- bela- stung	Ver-	
Mitt	keit . cm/sek.	ltr/h	des Quer- schnitt	keit cm/sek.	ltr/h	61 + L M ltr/h	nis Öl/LM	
(.)	7.5 7.5	27 27	0	0	0	27 27) Durchgang) nur öl
80	6	17,3	20	1,5	1,1	18,4	15,7	Drohende
Ŋ	5	12	33	2,5	3	15	4	LM-Stauung
53	4	7,7	47	3,5	5,9	13,6	1,3	obe
5 0	3,75	6,75	50	3.75	6,75	13,5	1	
40	3	4,3	60	4,5	9.7	14	0,44	Drohende Öl-
27	2	1,9	.73	5,5	14,5	16,4	0,13	Stauung
60 67 53 50 40 27 13	•	0,47	87	6,5	20,4	20,87	0,02	unten
C	0	0	100	7,5	27	27	* N	Durchgang
		en entire totale en		7,5	27	27		nur LM

(s.auch Tafel 3

Füllkörper verminderm nicht nur den freien Querschnitt, sondern setzen auch - zugunsten der Verteilung und Verweilzeit - durch Verlängerung der Wege und Erhöhung der Widerstände die Vertikalgeschwindigkeiten gewaltig herab. Bei einem Öl/LM-Verhältnis = 0,17 (d.i. 1:6) wurde das Eintreten der Ölstauung am Fuße der Säule bei einer Gesamtbelastung von (0,08 ltr.Öl + 0,48 ltr.LM) = 0,56 ltr/h je cm² mit 8 mm Raschig-ringen erfüllten Querschnitts beobachtet. Sie betrug also nur etwa 1/30 des für den leeren Querschnitt errechneten Werts.